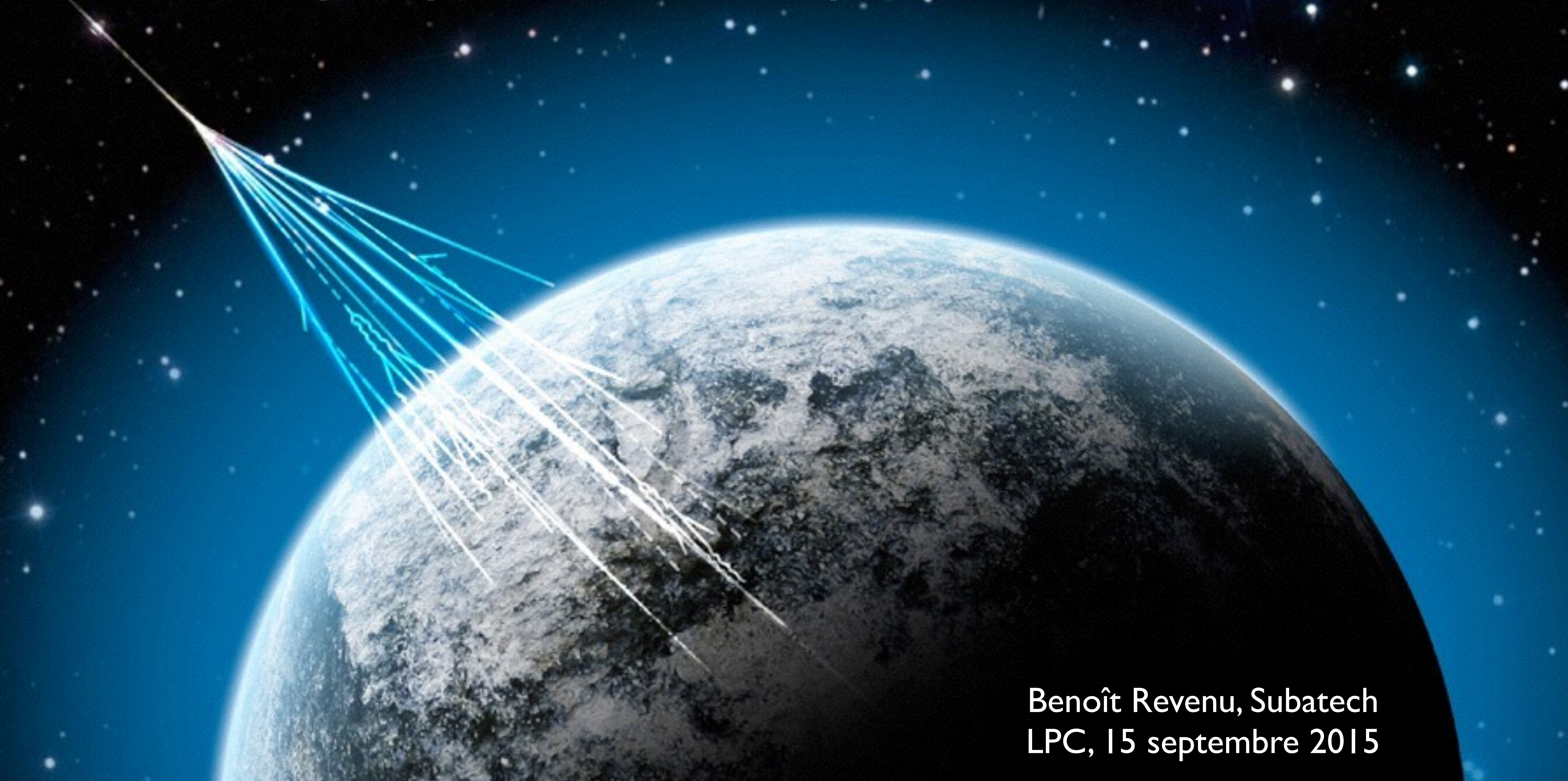
Signal radio des gerbes atmosphériques : statut et nouvelles perspectives avec le phénomène de mort subite



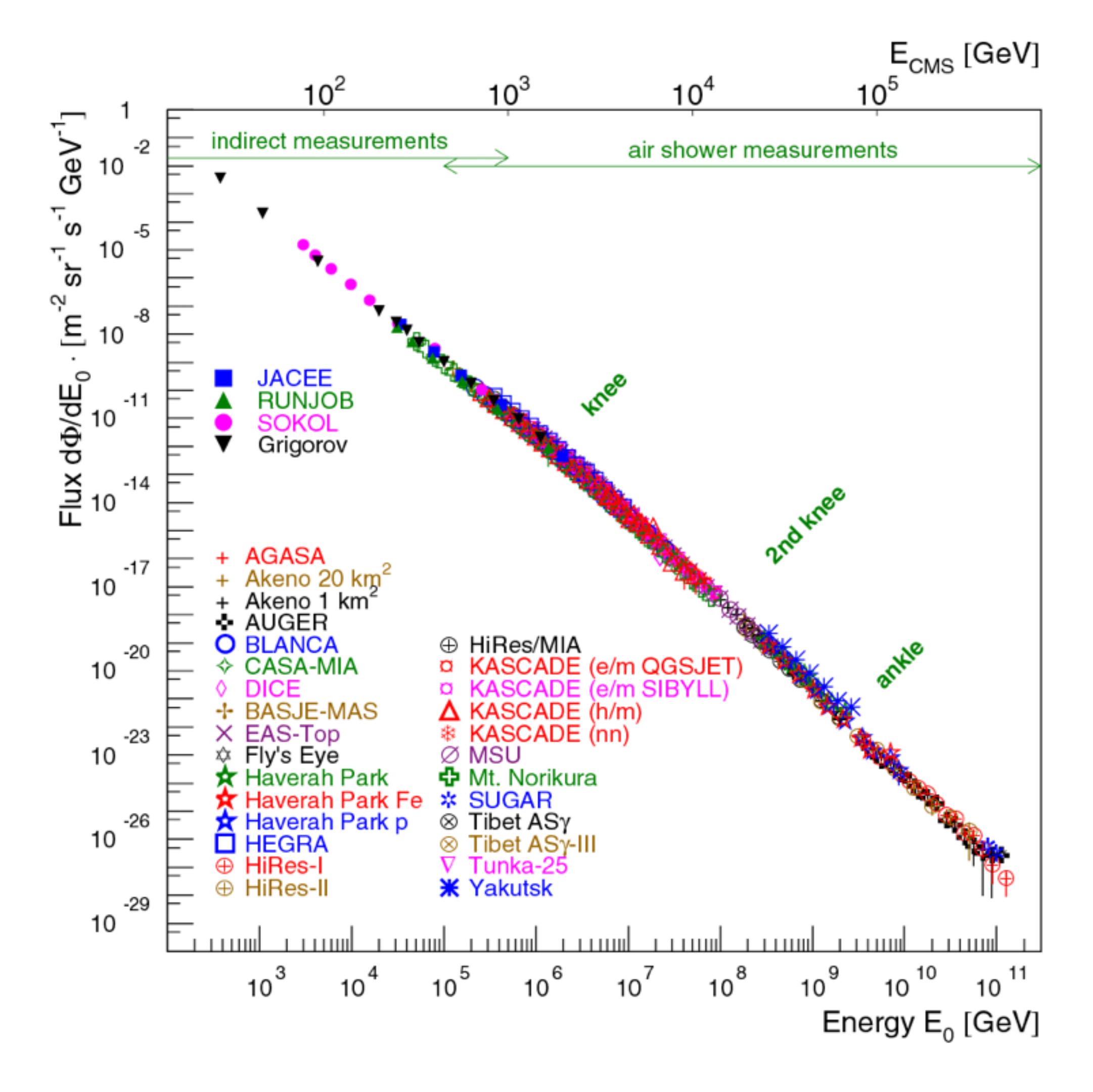
Plan

- I. Physique et astrophysique des rayons cosmiques d'ultra-haute énergie
- 2. Les gerbes atmosphériques
 - a. Contenu de la gerbe
 - b. Mesure par un détecteur de surface
 - c. Mesure par un détecteur de fluorescence
- 3. Le signal radio
 - a. Calcul théorique
 - b. Deux mécanismes
 - c. Jusqu'au GHz
 - d. Jusqu'au kHz : signal de mort subite!
- 4. Détection du signal radio
 - a. Antennes et amplificateurs bas bruit
 - b. Deconvolution du signal
 - c. Trigger externe, trigger interne, bruit de fond
 - d. Calibration des détecteurs
 - e. Réseaux de détection : status expérimental
- 5. Reconstruction des caractéristiques du rayon cosmique primaire
 - a. Direction d'arrivée
 - b. Energie
 - c. Composition
- 6. Résumé et prespectives

Plan

- I. Physique et astrophysique des rayons cosmiques d'ultra-haute énergie
- 2. Les gerbes atmosphériques
 - a. Contenu de la gerbe
 - b. Mesure par un détecteur de surface
 - c. Mesure par un détecteur de fluorescence
- 3. Le signal radio
 - a. Calcul théorique
 - b. Deux mécanismes
 - c. Jusqu'au GHz
 - d. Jusqu'au kHz : signal de mort subite!
- 4. Détection du signal radio
 - a. Antennes et amplificateurs bas bruit
 - b. Deconvolution du signal
 - c. Trigger externe, trigger interne, bruit de fond
 - d. Calibration des détecteurs
 - e. Réseaux de détection : status expérimental
- 5. Reconstruction des caractéristiques du rayon cosmique primaire
 - a. Direction d'arrivée
 - b. Energie
 - c. Composition
- 6. Résumé et prespectives

Le spectre



- origine galactique jusqu'à la cheville
- entre le genou et la cheville : échappement des particules ($R_L > R_{Gal}$), du proton au fer
- à partir de la cheville : origine extra-galactique

si l'origine est bien extra-galactique, alors :

- coupure GZK (interaction avec le CMB)
- sources proches

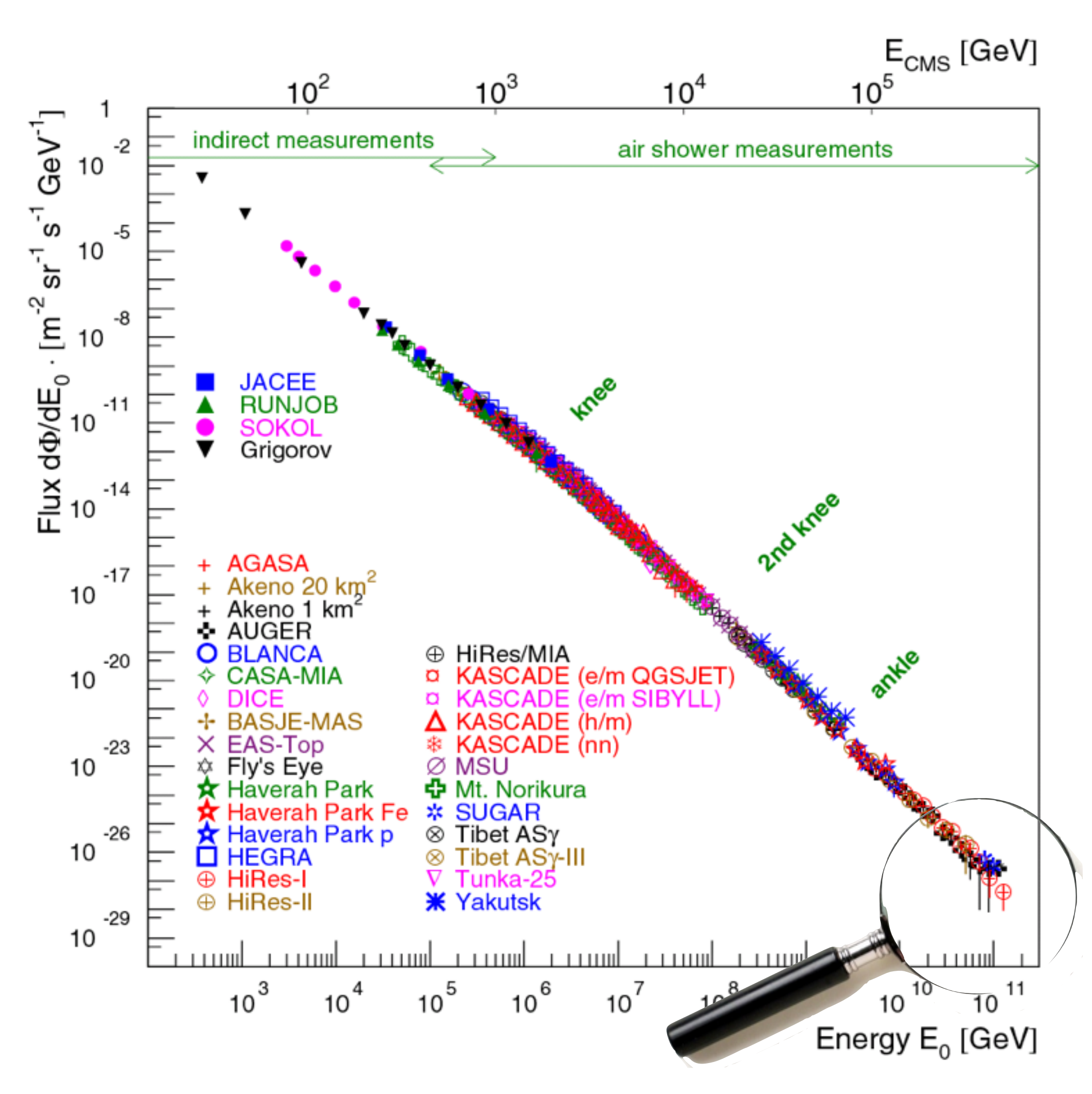


compréhension des phénomènes les plus violents de l'univers

physique des particules 3 ordres de grandeur audessus du LHC

énergie, sources, nature?

Le spectre



- origine galactique jusqu'à la cheville
- entre le genou et la cheville : échappement des particules ($R_L > R_{Gal}$), du proton au fer
- à partir de la cheville : origine extra-galactique

si l'origine est bien extra-galactique, alors :

- coupure GZK (interaction avec le CMB)
- sources proches

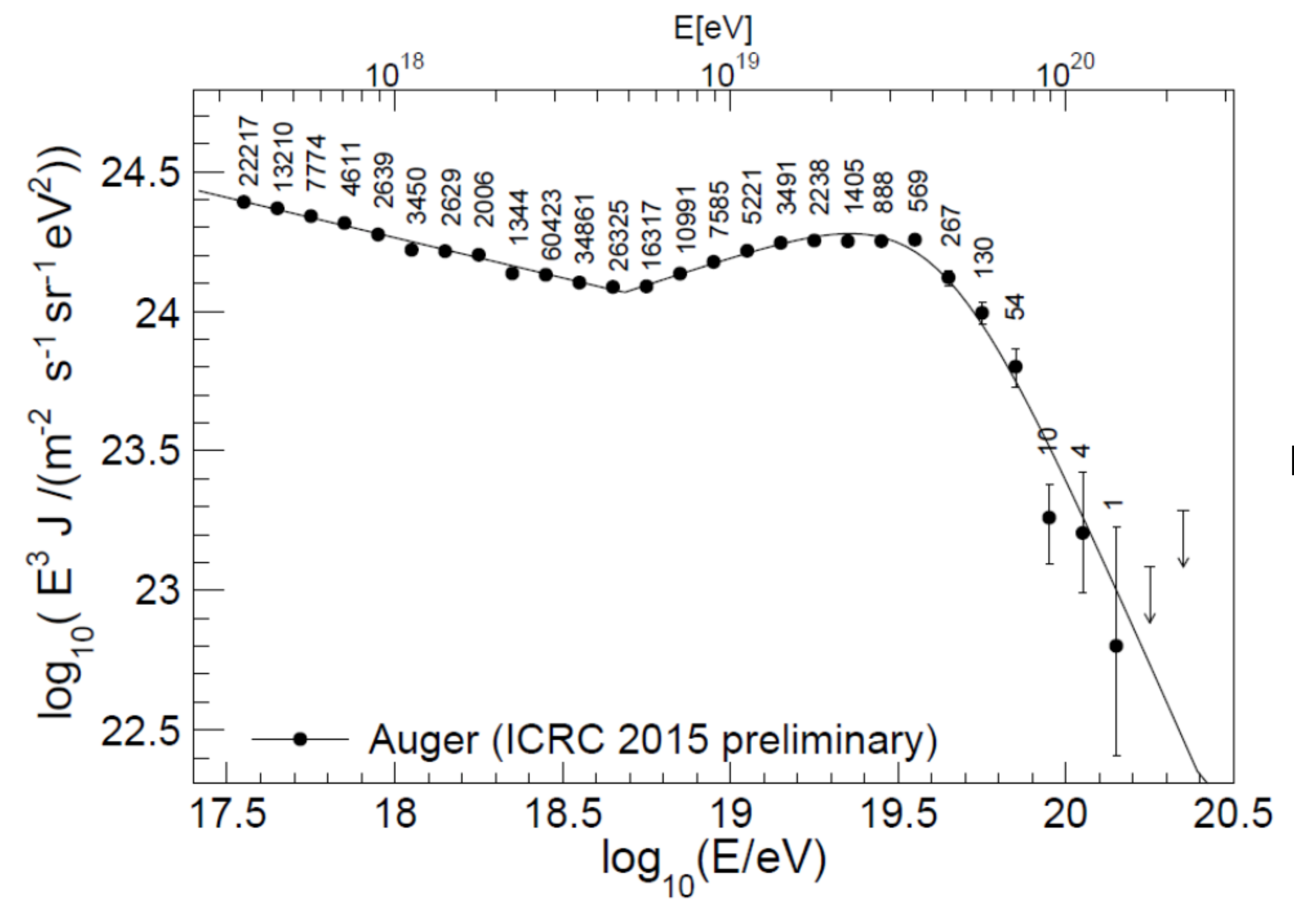


compréhension des phénomènes les plus violents de l'univers

physique des particules 3 ordres de grandeur audessus du LHC

énergie, sources, nature?

Le spectre aux énergies les plus hautes



HiRes mono cutoff = 5.3σ

HiRes stereo cutoff = 4σ

TA cutoff = 3.9 σ

Pierre Auger Observatory cutoff > 20σ

Une coupure dans le spectre apparaît de façon non-ambigüe, origine inconnue (GZK, extinction ?)

 $E = (4.2\pm0.1)\times10^{19} \text{ eV}$

Directions d'arrivée, recherche des sources

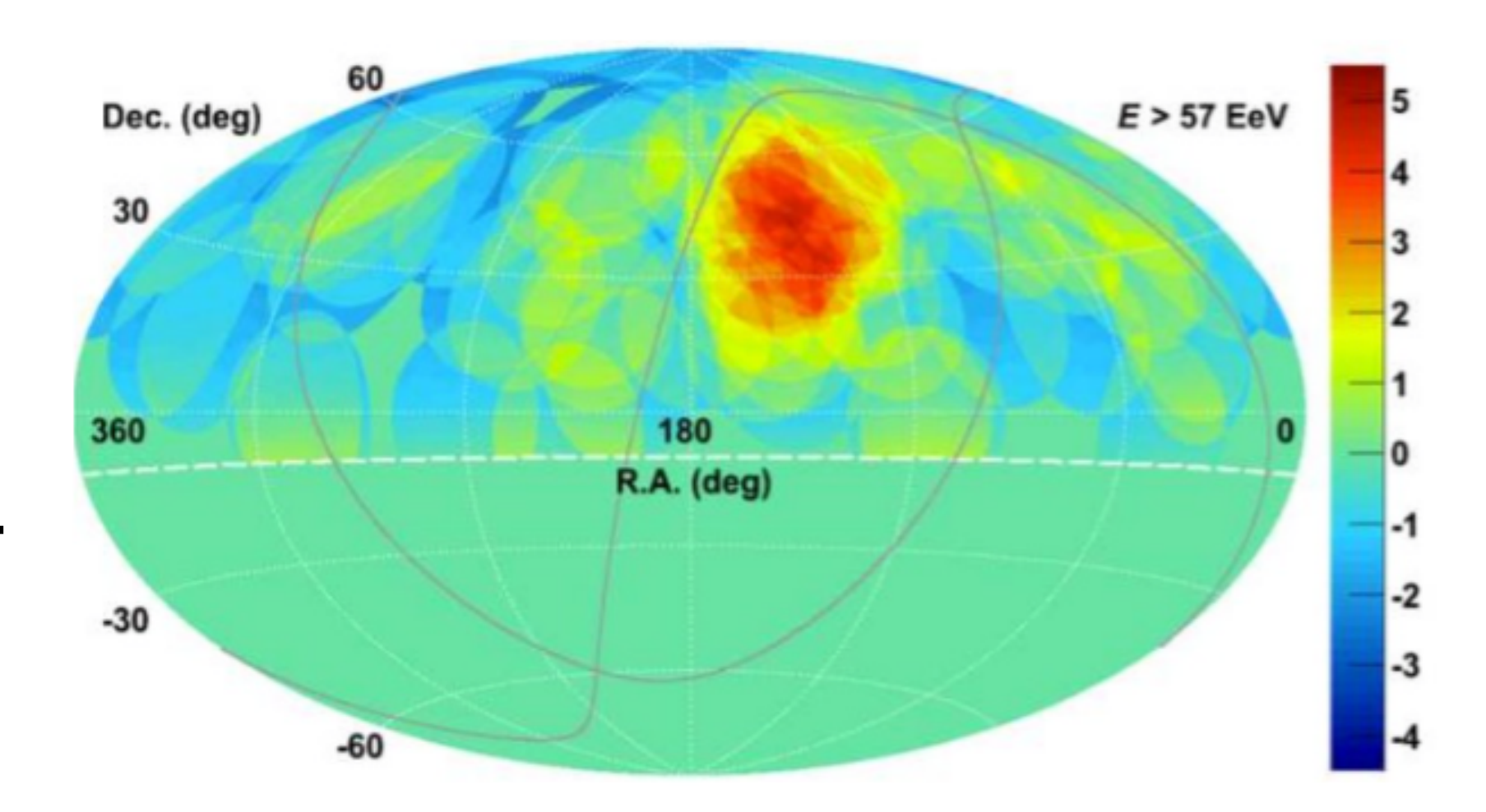
hémisphère nord

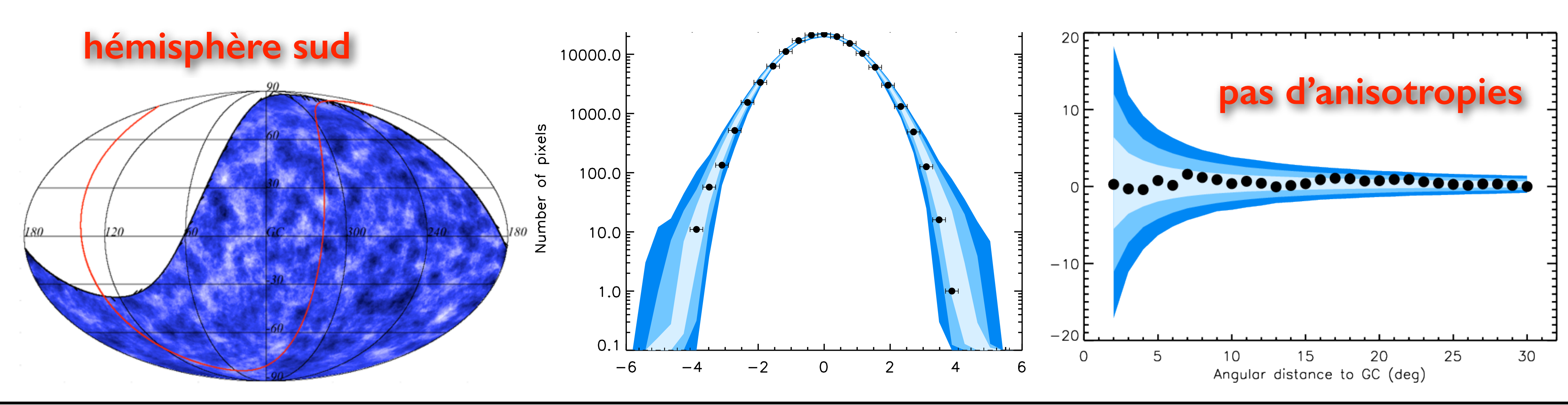
HiRes stéréo:

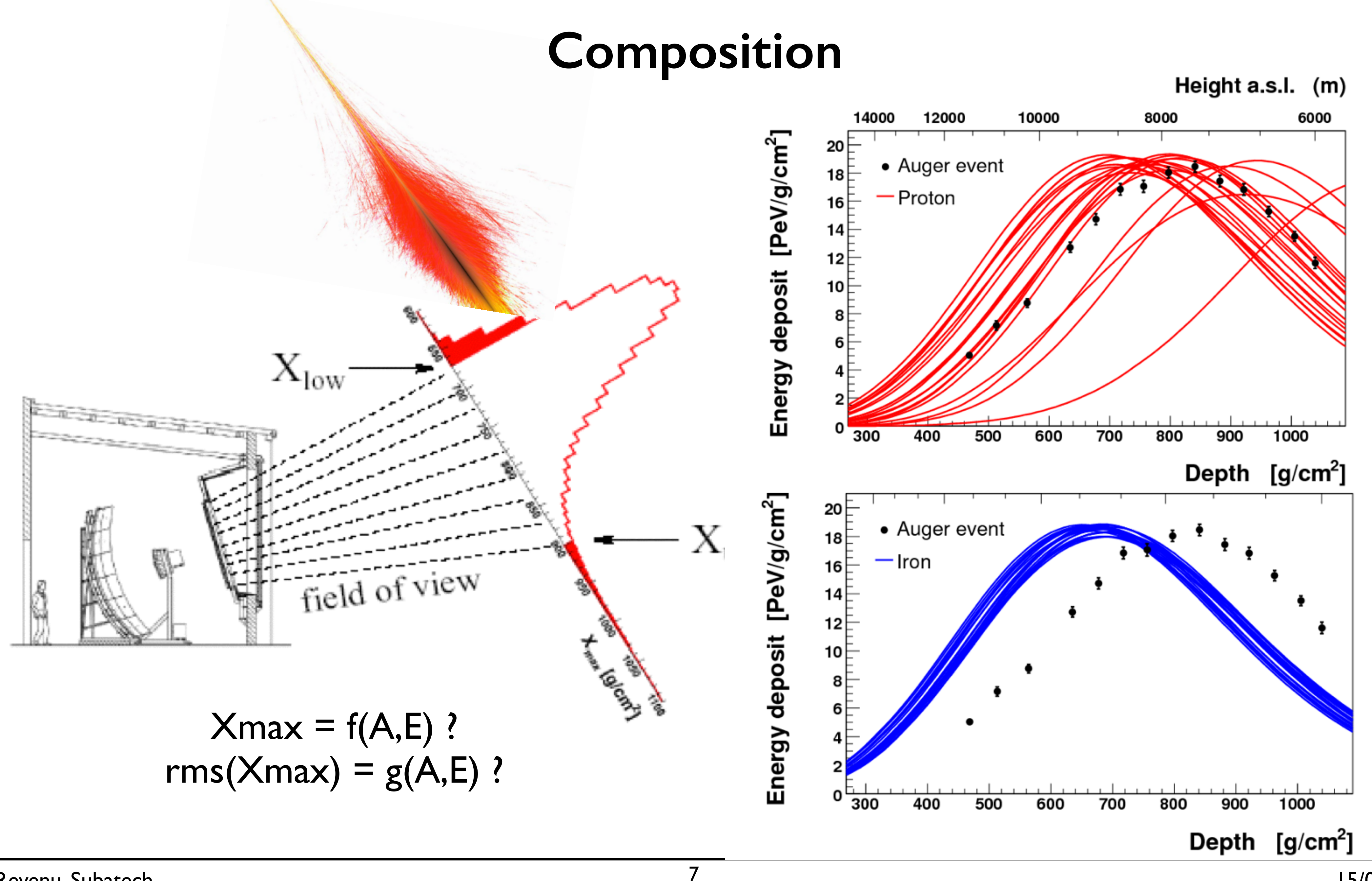
pas d'anisotropies

à toutes énergies, les données sont compatibles avec un flux isotrope à 95% CL

TA: excès à 20°?

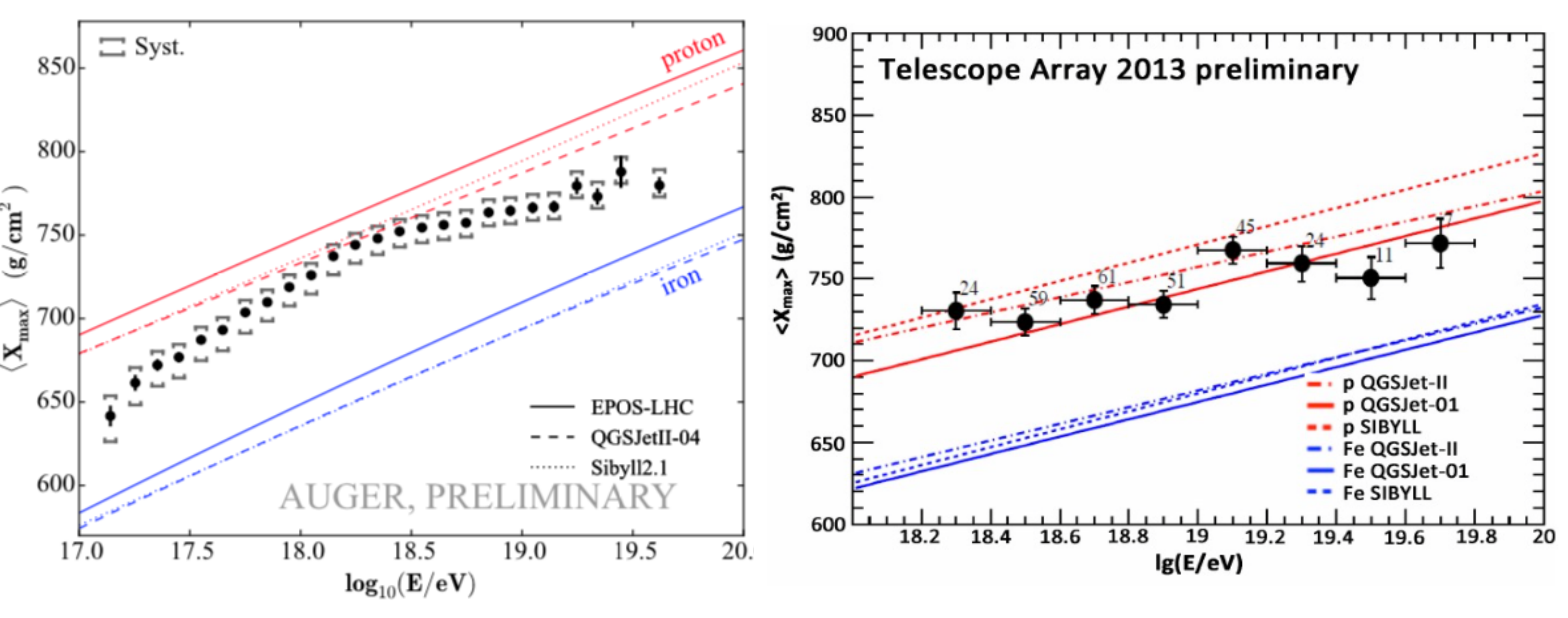






15/09/15 B. Revenu, Subatech

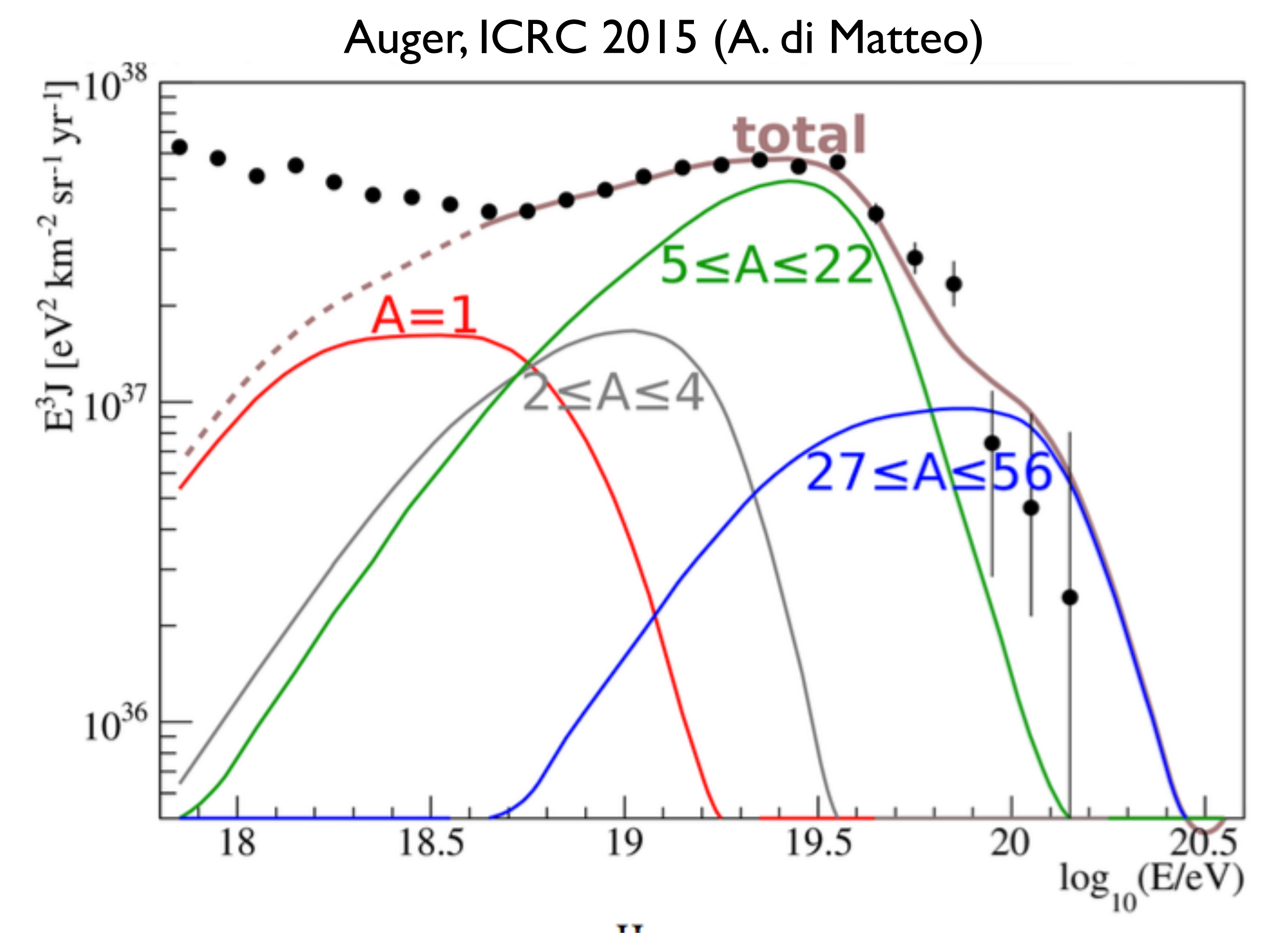
Composition



hémisphère sud : Auger proton puis lourd à partir de E ≥ 5 EeV

hémisphère nord : HiRes et TA compatibles avec des protons, à toutes les énergies, débat pour TA à UHE

Composition



- $J_0 = 7.17 \times 10^{18} \text{ eV}^{-1} \text{ Mpc}^{-3} \text{ yr}^{-1}$ (at 10^{18} eV) ($\mathcal{L}_0 = 5.15 \times 10^{44} \text{ erg Mpc}^{-3} \text{ yr}^{-1}$ total)
- $\gamma = 0.94^{+0.09}_{-0.10}$
- $R_{\text{cut}} = 10^{18.67 \pm 0.03} \text{ V}$
- $0.0^{+29.9}\%$ H, $62.0^{+3.5}_{-22.2}\%$ He, $37.2^{+4.2}_{-12.6}\%$ N, $0.8^{+0.2}_{-0.3}\%$ Fe (at 10^{18} eV) (0.0% H, 28.9% He, 65.6% N, 5.5% Fe total)
- D/n = 178.5/119 ($D_J = 18.8$, $D_{X_{\text{max}}} = 159.8$)
- p = 0.026

la composition est essentielle pour discriminer les modèles!!

objectif:
nature événement par événement
upgrade d'Auger

Composition de la gerbe

99 % : photons, electrons, positrons, 0.9 % : muons 90% de l'énergie sous forme électromagnétique

10¹⁵ eV proton, 45°

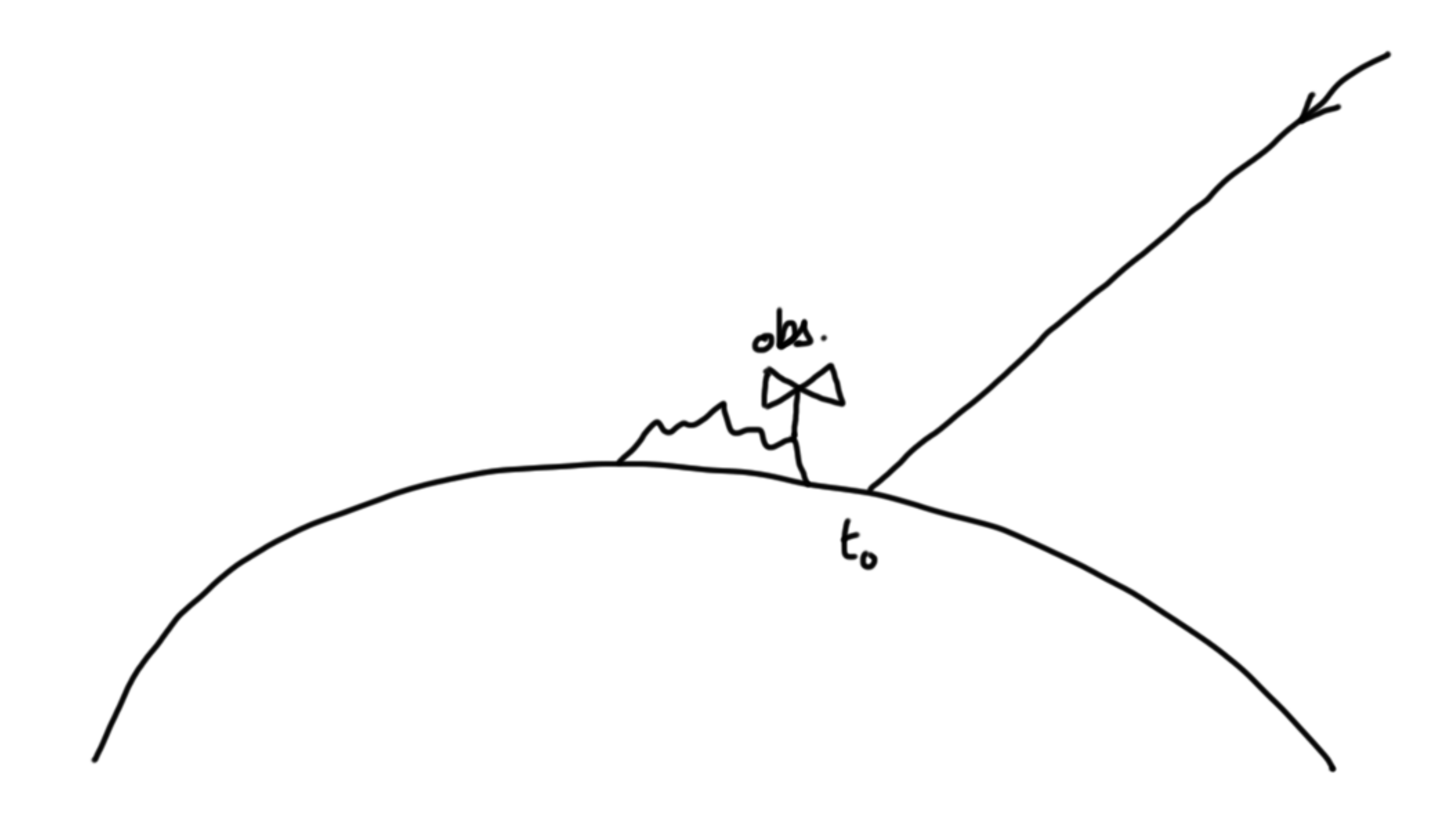
Le signal radio

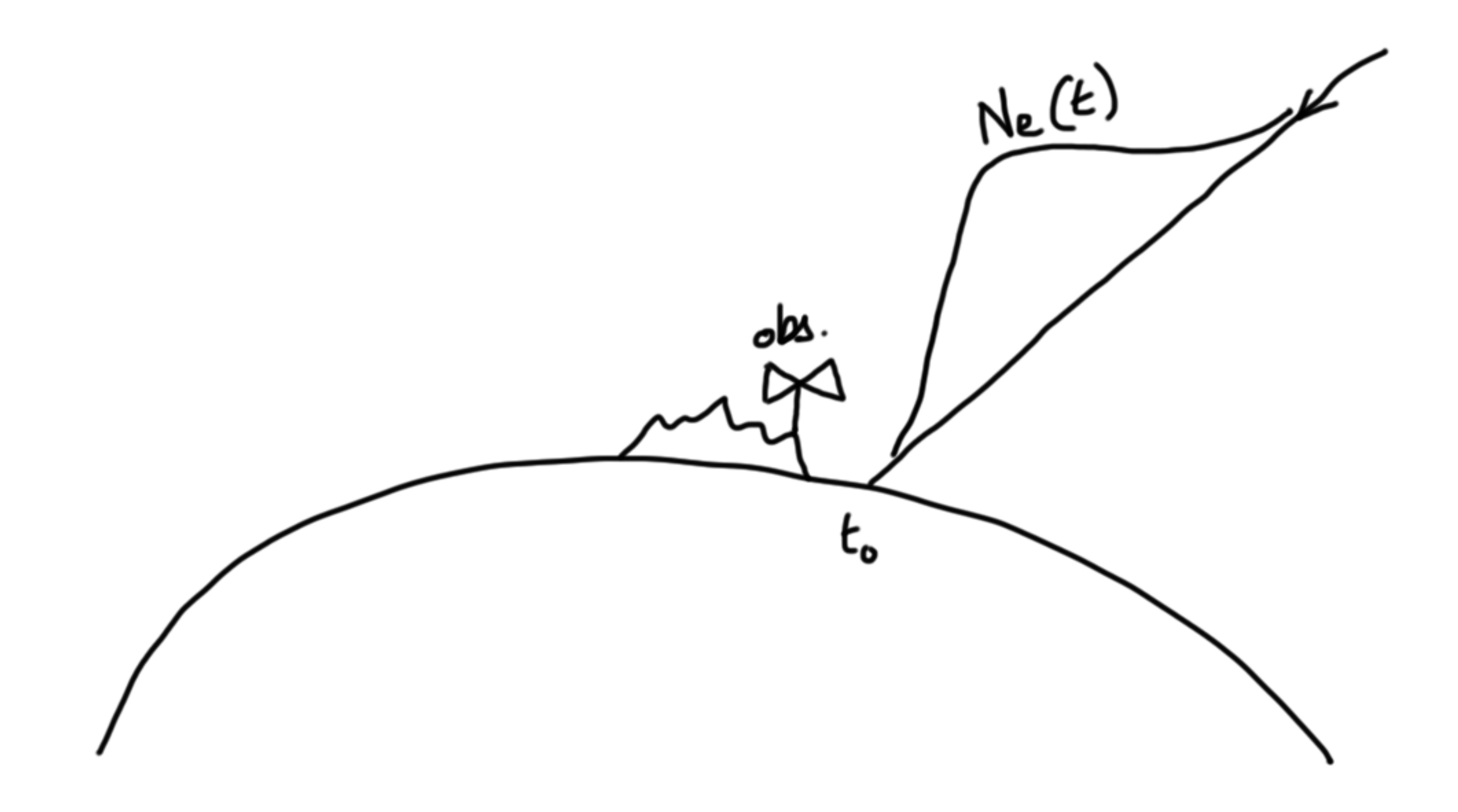
Trois observables:

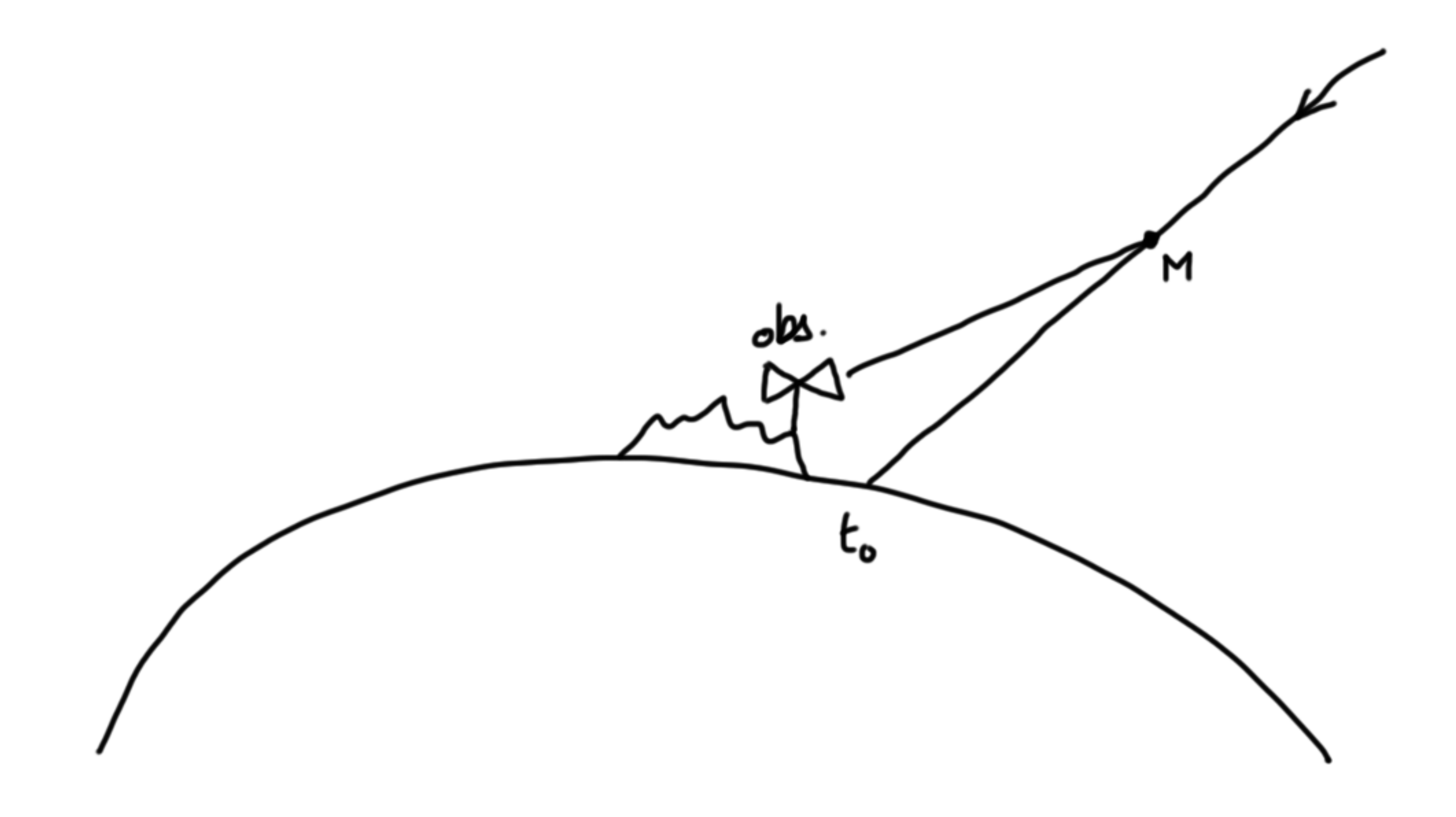
- 1. particules secondaires qui atteignent le sol (SD)
- 2. lumière de fluorescence (FD)
- 3. champ électrique émis par tous les e⁺/e⁻: ondes radio !

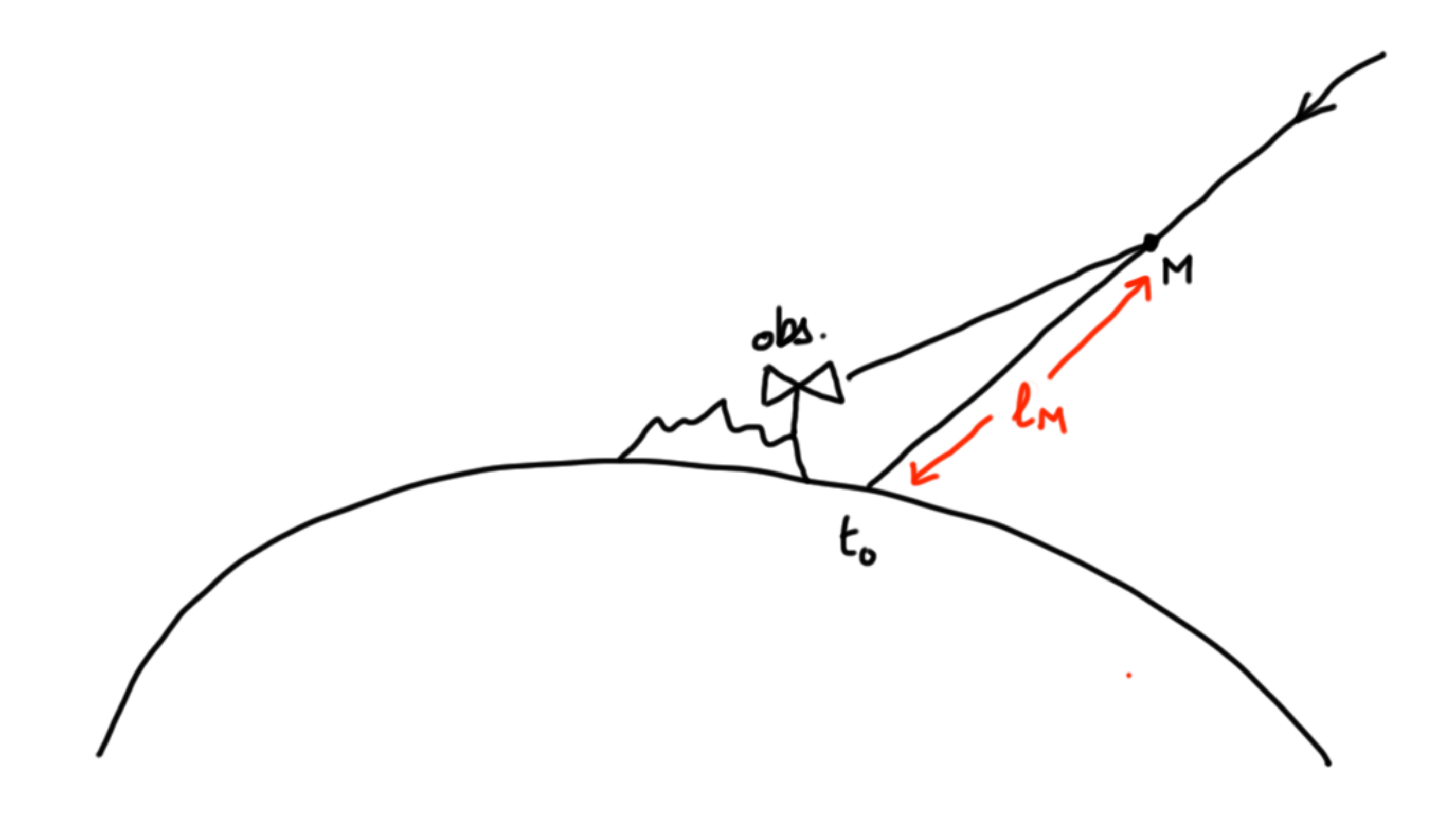
les ondes radio ne sont dues qu'à la composante électromagnétique de la gerbe : très intéressant pour contraindre la composition !

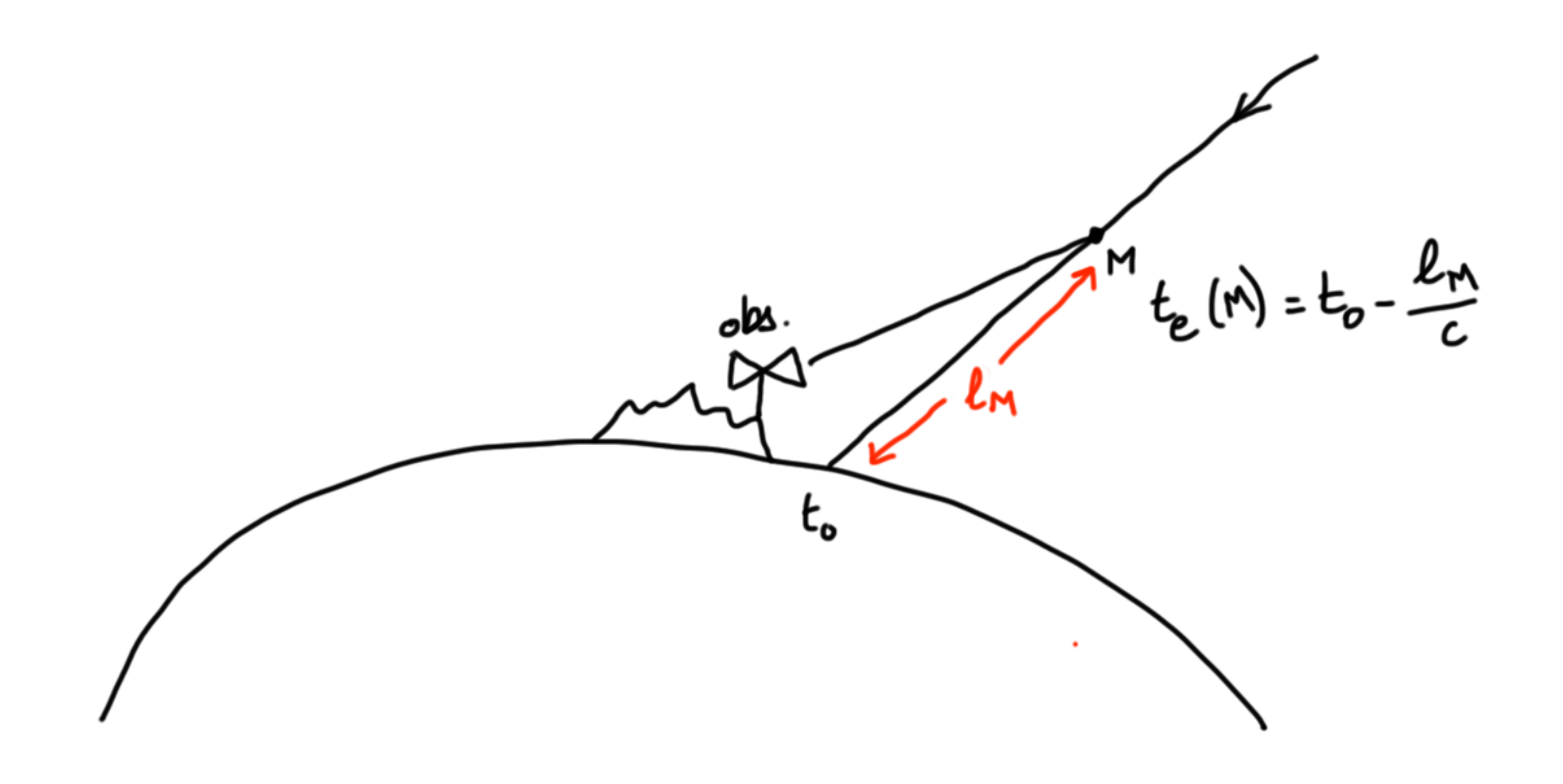
signal étudié entre 1965 et 1975 (abandon car technologie insuffisante)

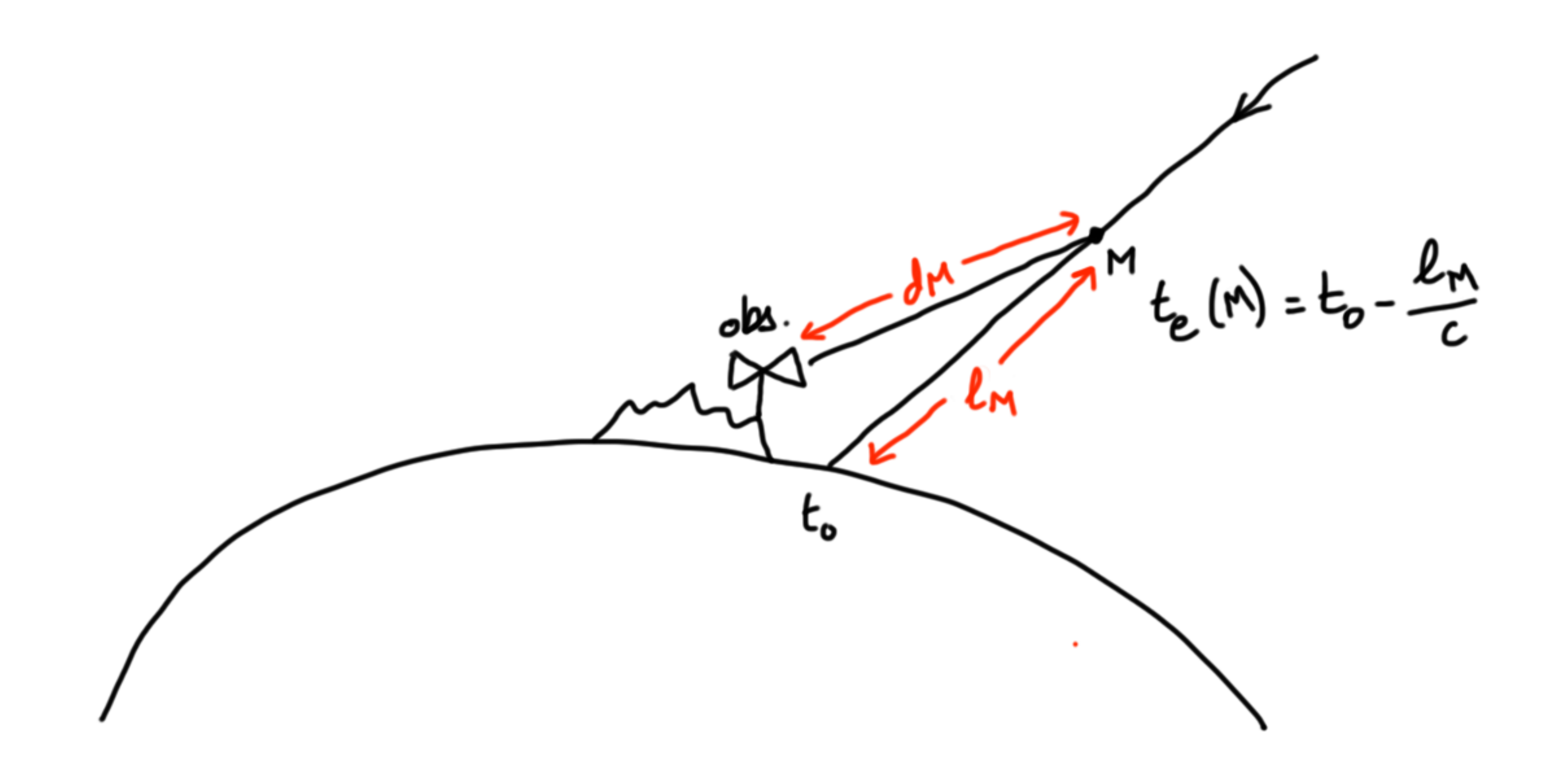


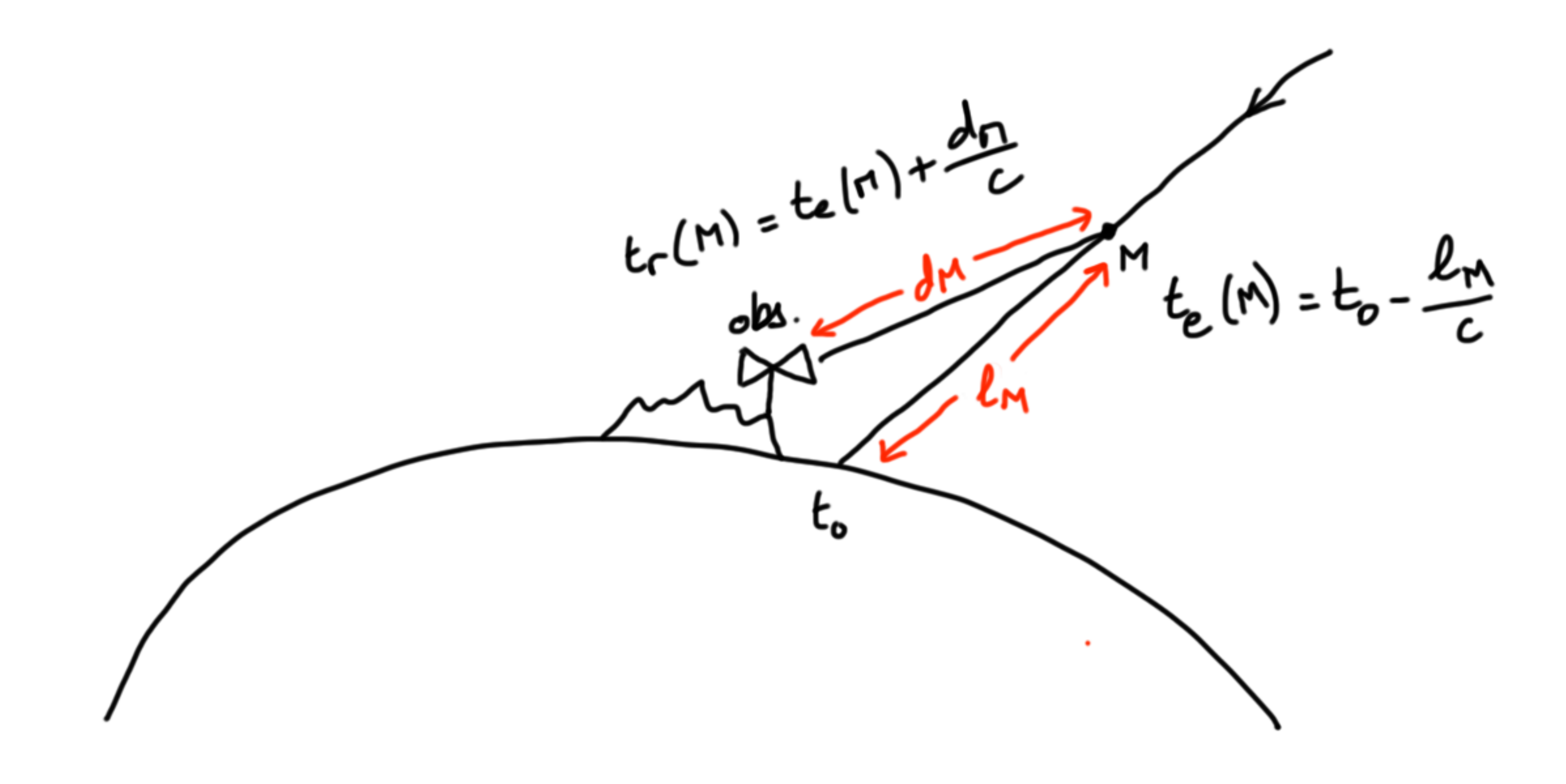


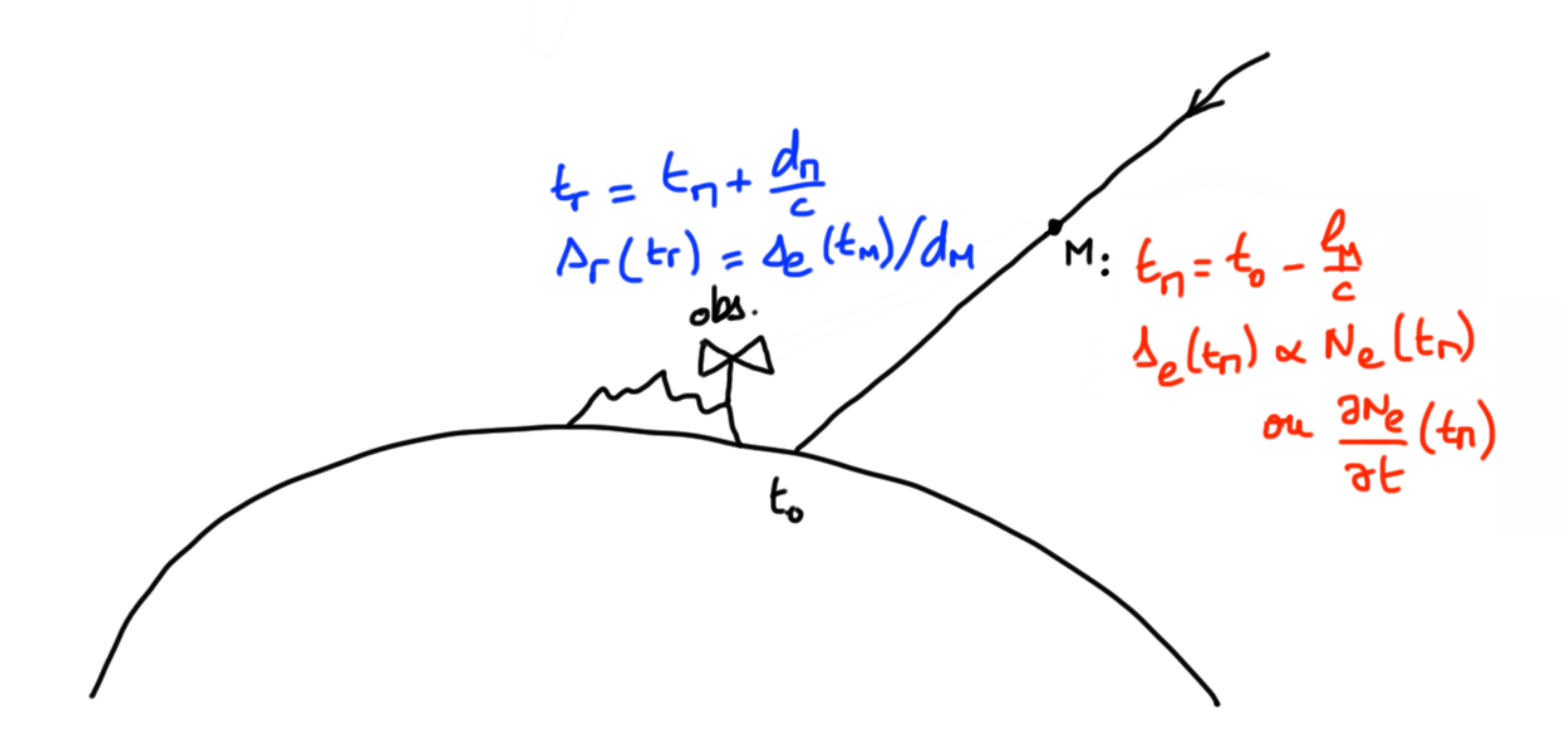




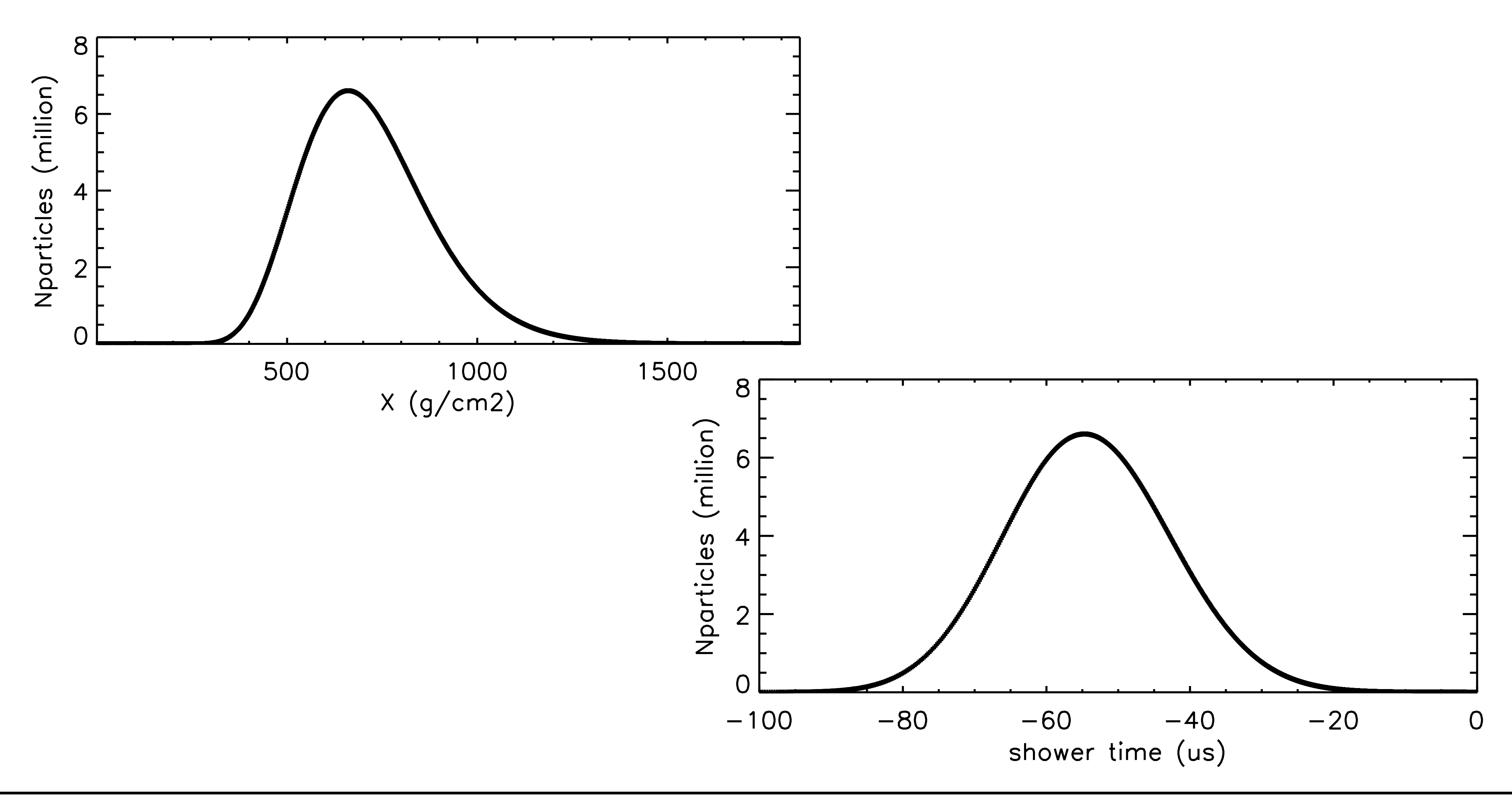




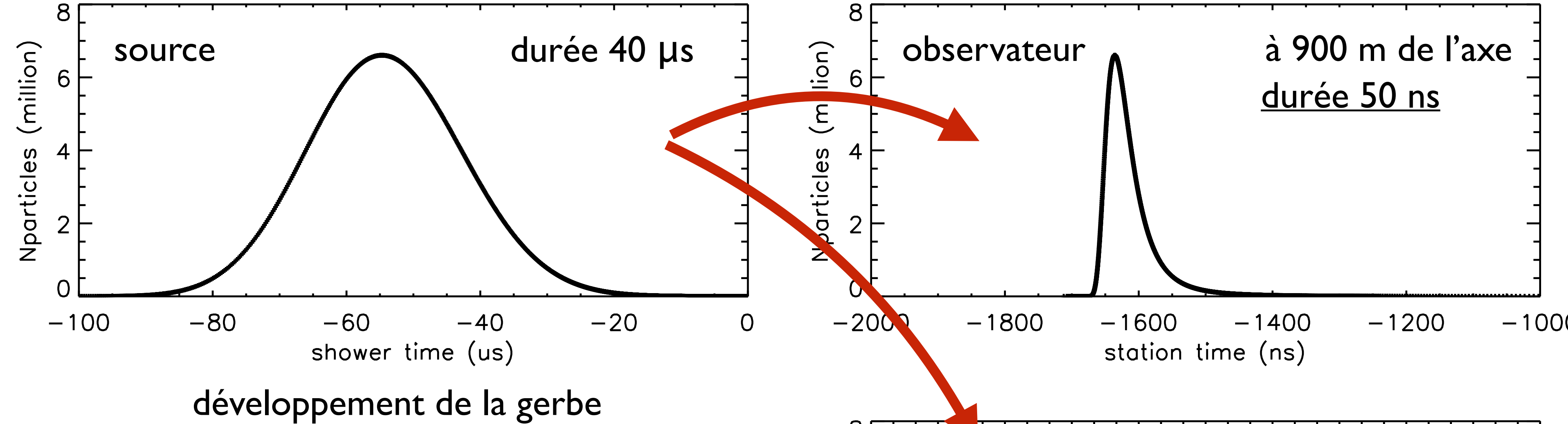




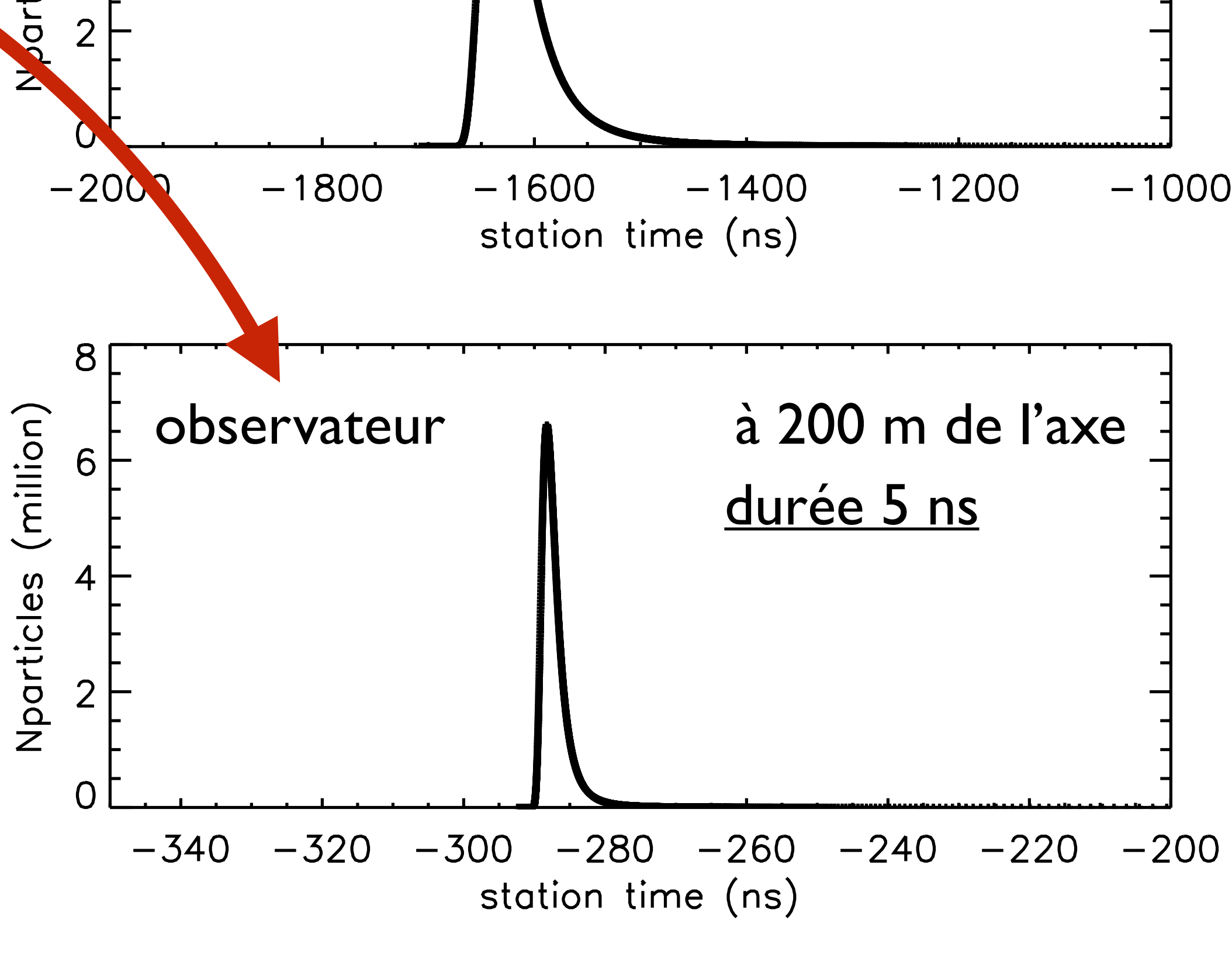
Un modèle très simple : la source



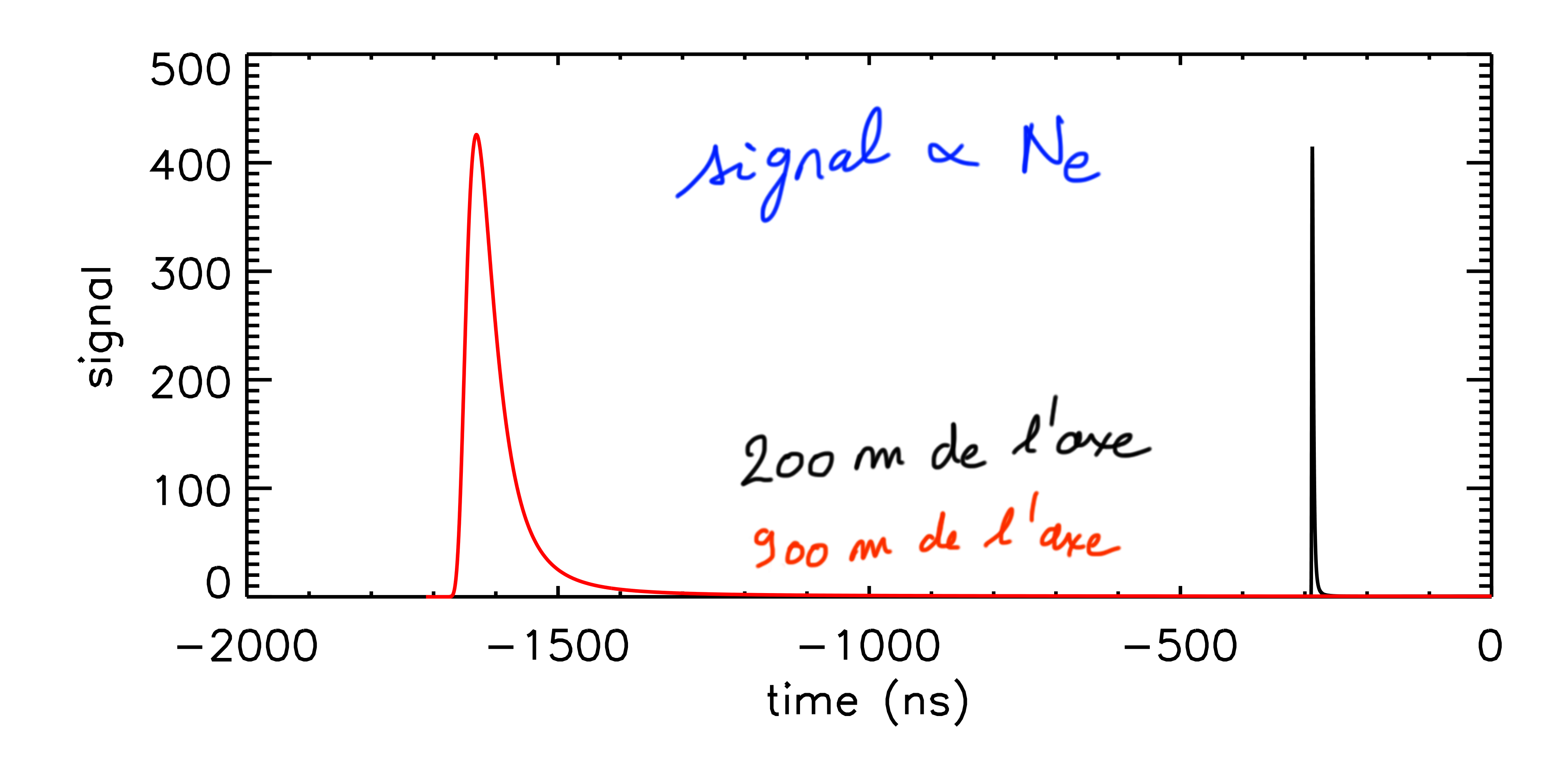
Un modèle très simple : Doppler



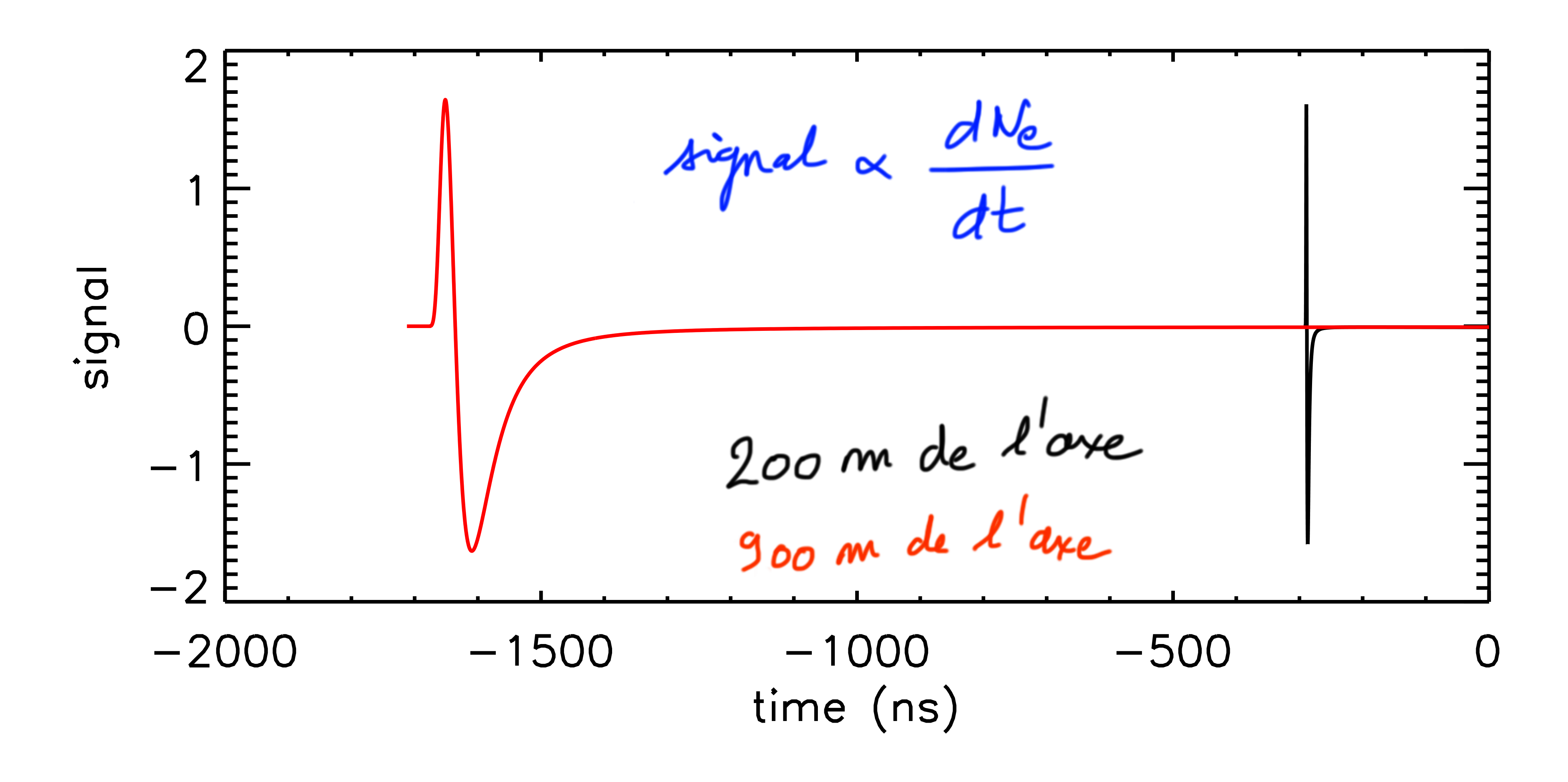
Très forte compression Doppler!



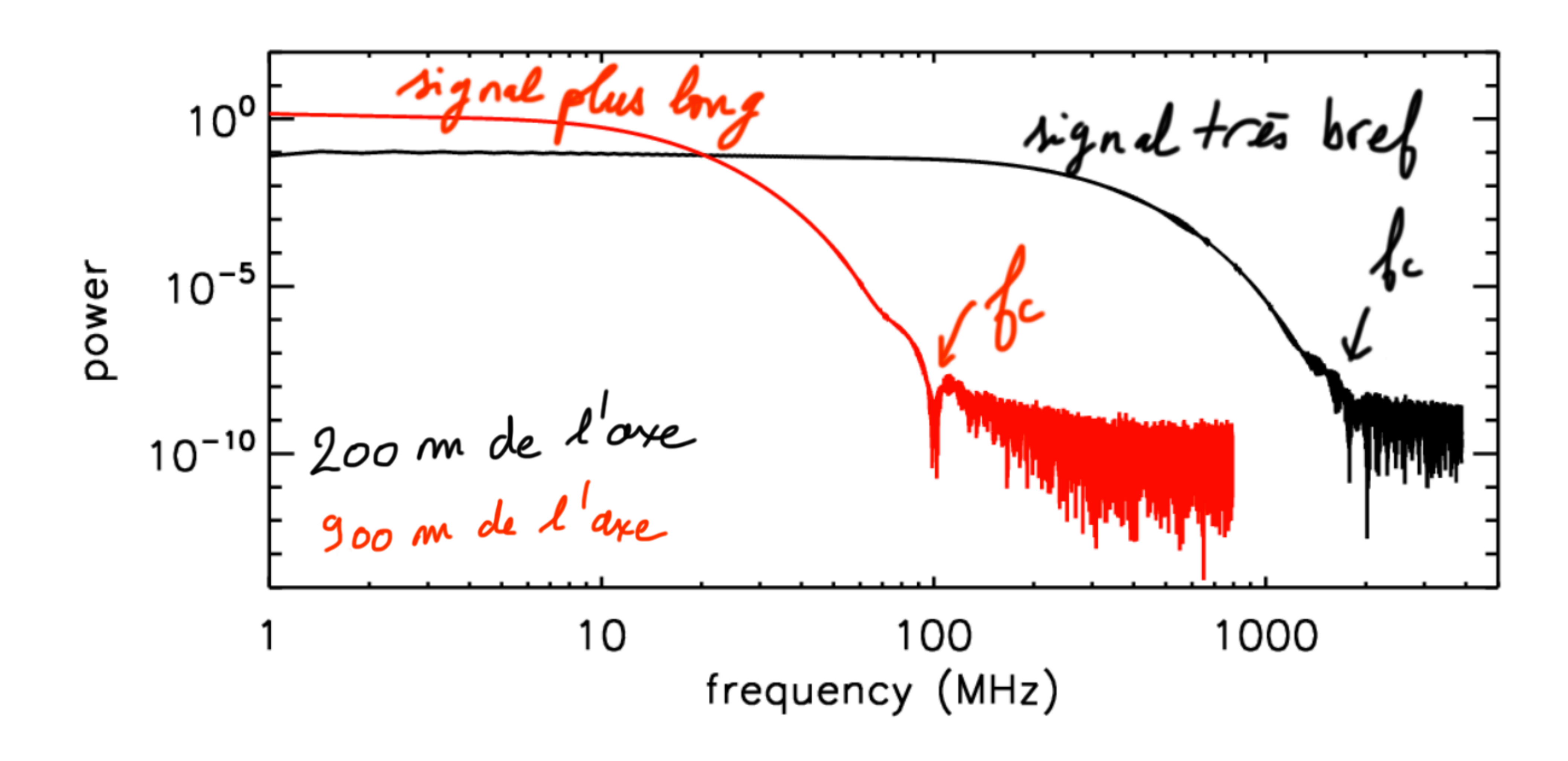
Un modèle très simple : impulsions monopolaires



Un modèle très simple : impulsions bipolaires



Un modèle très simple : spectres



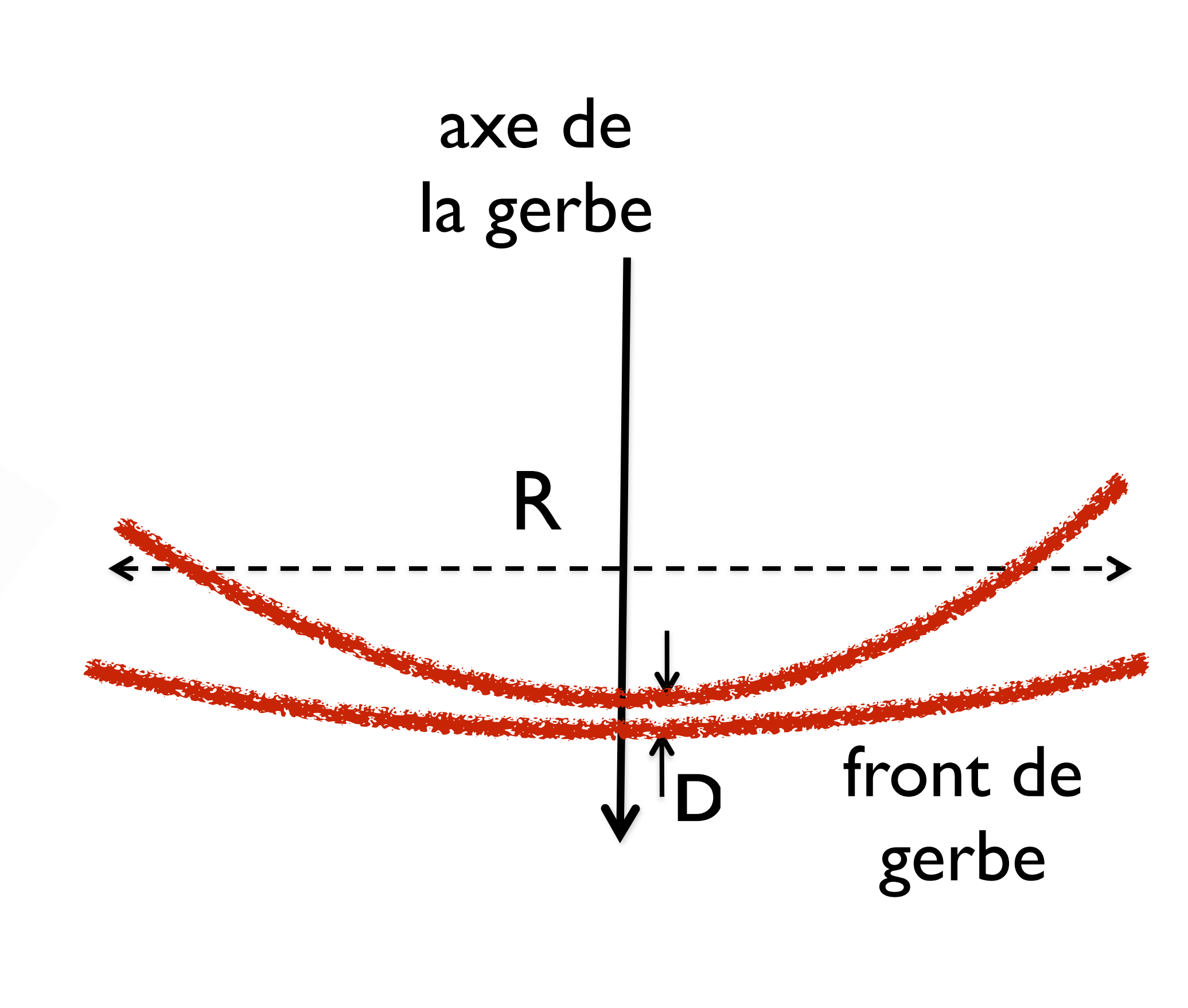
Un modèle très simple : conclusion

ce modèle nous permet de comprendre que :

- le signal prédit est une projection du profil longitudinal (ou de sa dérivée) : sensibilité au primaire
- signal monopolaire si le signal est produit par le profil
- signal bipolaire si le signal est produit par la dérivée du profil
- compression Doppler importante (durée = quelques dizaines de ns) : f_{samp} ~ 100 MS/s 1 GS/s
- signal cohérent entre quelques dizaines de kHz jusqu'à quelques centaines de MHz selon la position de l'observateur par rapport à la gerbe

Le signal radio : interférences, cohérence

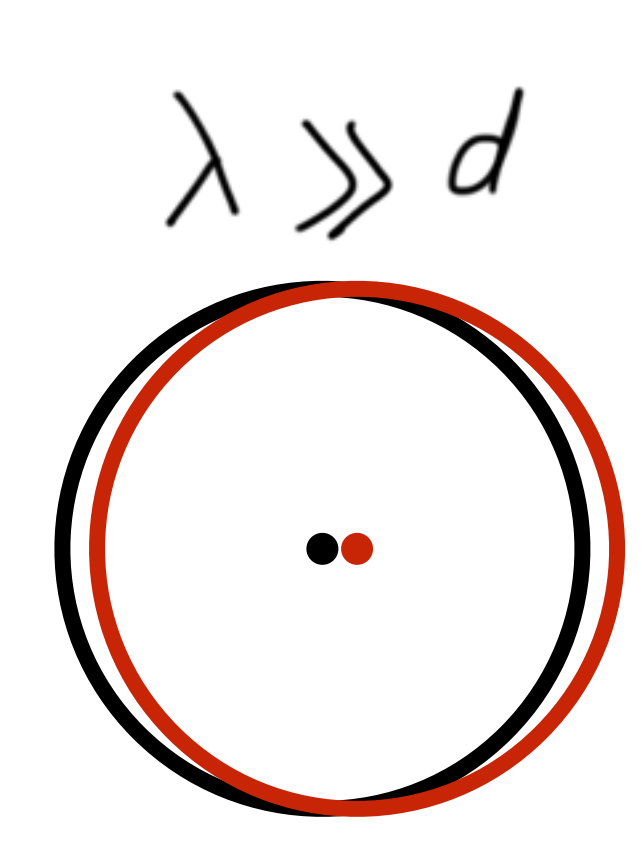
Source du signal radio : les e⁺ et e⁻ de la gerbe les échelles caractéristiques de la gerbe fixent les longueurs d'onde du signal



Le signal radio : interférences, cohérence

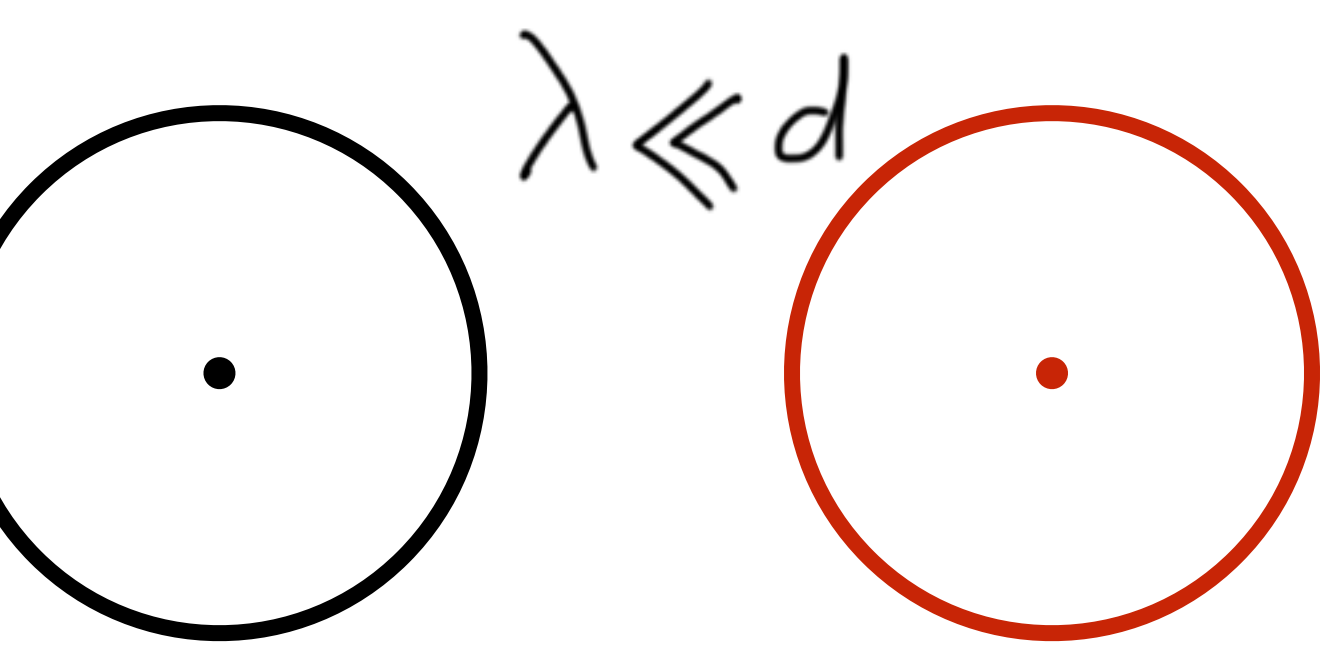


les champs d'additionnent de façon cohérente avec la même phase : interférences constructives champ total α $N_{particles}$ α $E_{primary}$



 λ «dimensions de la source

les champs se superposent avec des phases aléatoires : interférences destructives

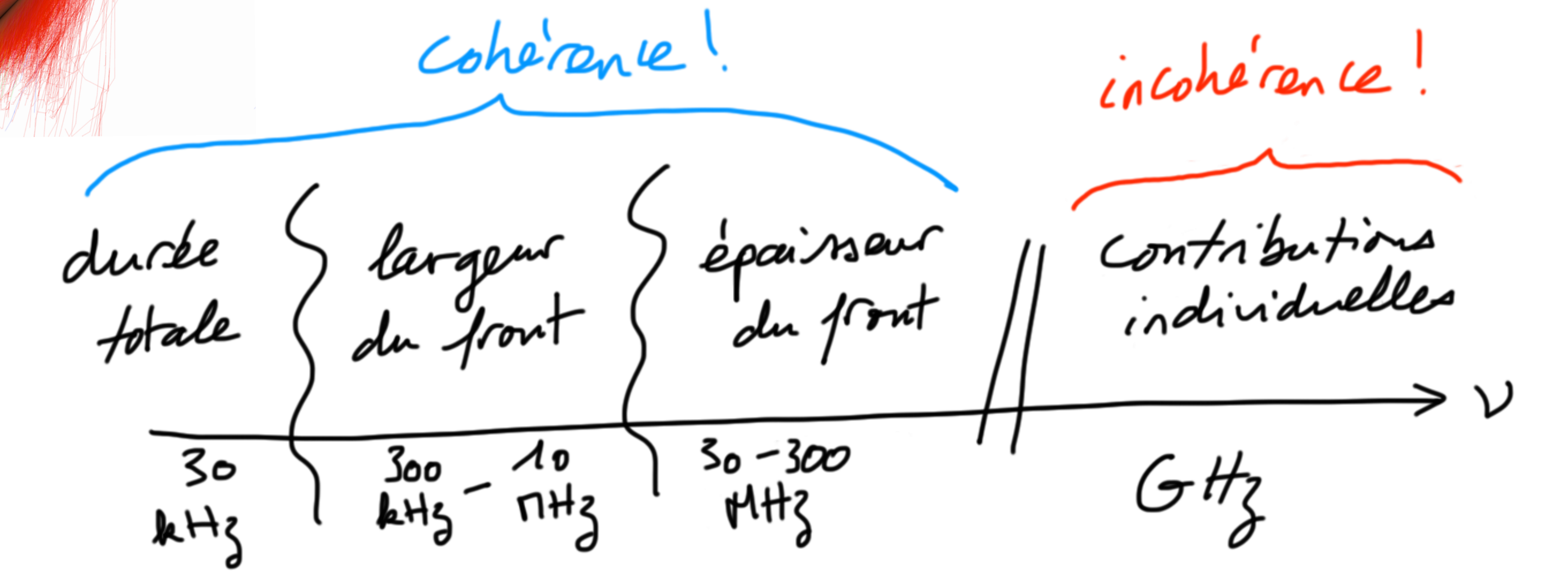


coupure dans le spectre en fréquence!

(perte de cohérence au dessus d'une fréquence de coupure)

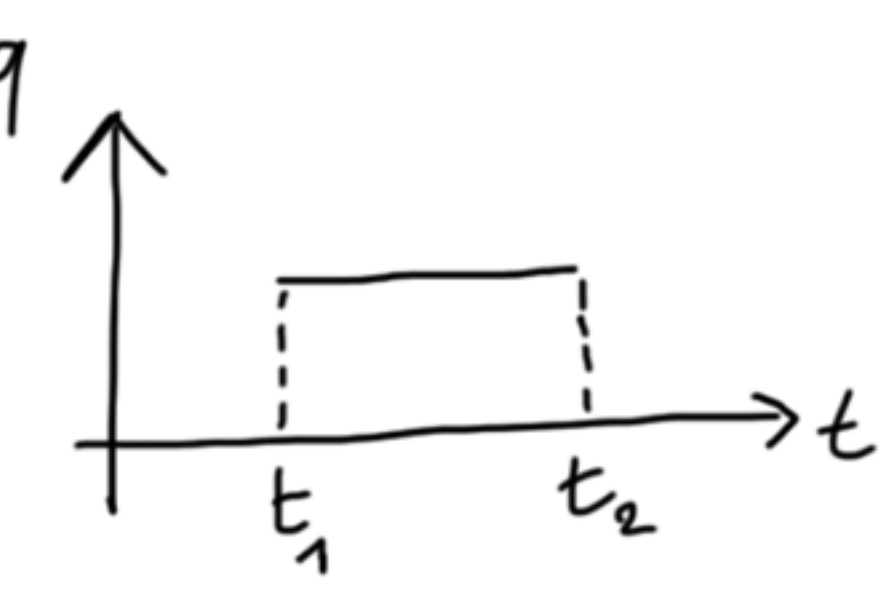
Le signal radio : interférences, cohérence

durée totale du développement de la gerbe = 10 km/c → 30 µs → 30 kHz largeur du front de gerbe = 50-1000 m/c → 300-3000 ns → 300 kHz-10 MHz épaisseur du front de gerbe = 1-10 m/c → 3-30 ns → 30-300 MHz



Le signal radio (approche théorique)

Pour une particule chargée à durée de vie finie



Densité de charge
$$\rho(\boldsymbol{x}',t') = q[\theta(t'-t_1)-\theta(t'-t_2)]\delta^3(\boldsymbol{x}'-\boldsymbol{x}_0(t'))$$

Densité de courant
$$\boldsymbol{J}(\boldsymbol{x}',t') = \rho(\boldsymbol{x}',t')\boldsymbol{v}(t')$$

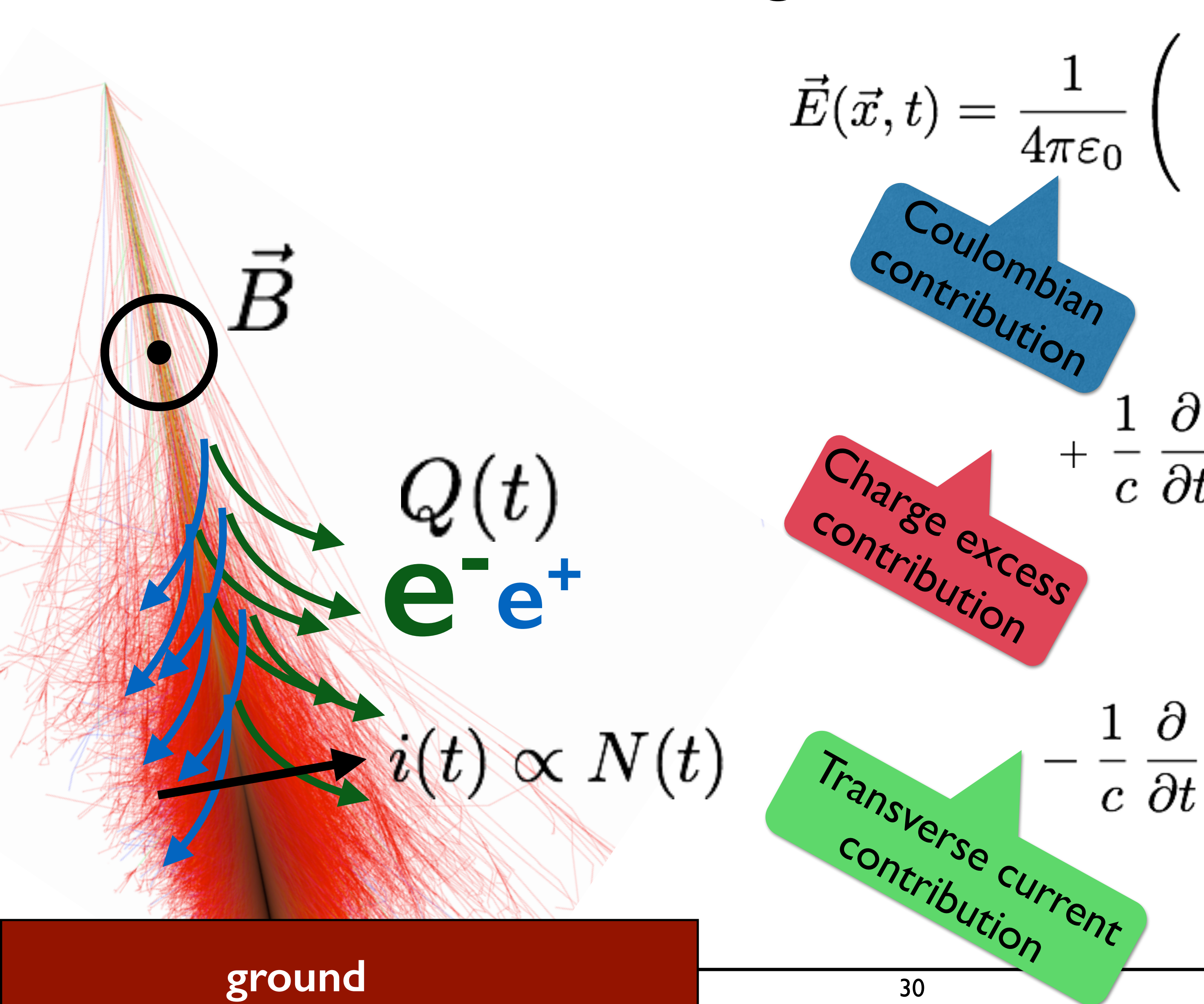
Solution des équations de Maxwell en jauge de Lorenz :

$$\vec{E}(\vec{x},t) = \frac{1}{4\pi\varepsilon_0} \int \mathrm{d}^3 x' \mathrm{d}^3 t' \frac{1}{R} \left(-\nabla' \rho - \frac{1}{c^2} \frac{\partial J}{\partial t'} \right)_{\mathrm{ret}} \delta \left(t' - \left(t - \frac{|x - x'|}{c/\eta} \right) \right)$$

$$\vec{E}(\vec{x},t) = \frac{1}{4\pi\varepsilon_0} \left(\frac{q\,\vec{n}}{R^2(1-\eta\vec{\beta}\cdot\vec{n})} + \frac{1}{c}\,\frac{\partial}{\partial t} \frac{q\,\vec{n}}{R(1-\eta\vec{\beta}\cdot\vec{n})} - \frac{1}{c}\,\frac{\partial}{\partial t} \frac{q\,\vec{\beta}}{R(1-\eta\vec{\beta}\cdot\vec{n})} \right)_{\rm ret}$$

code SELFAS, Marin & Revenu, Astropart. Phys. 35, 733 (2012)

Le signal radio total



$$\vec{E}(\vec{x},t) = \frac{1}{4\pi\varepsilon_0} \left(\sum_{i=1}^{N} \frac{q_i \, \vec{n}_i}{R_i^2 (1 - \eta \vec{\beta}_i \cdot \vec{n}_i)} \right)$$

Coulombian contribution

$$+ \frac{1}{c} \frac{\partial}{\partial t} \sum_{i=1}^{N} \frac{q_i \vec{n}_i}{R_i (1 - \eta \vec{\beta}_i \cdot \vec{n}_i)}$$

$$+ \frac{1}{c} \frac{\partial}{\partial t} \sum_{i=1}^{N} \frac{q_i \vec{n}_i}{R_i (1 - \eta \vec{\beta}_i \cdot \vec{n}_i)}$$

$$-\frac{1}{c}\frac{\partial}{\partial t}\sum_{i=1}^{N}\frac{q_{i}\vec{\beta_{i}}}{R_{i}(1-\eta\vec{\beta_{i}}\cdot\vec{n_{i}})}\right)$$

$$con_{tribur:}current$$

$$-\frac{1}{c}\frac{\partial}{\partial t}\sum_{i=1}^{N}\frac{q_{i}\vec{\beta}_{i}}{R_{i}(1-\eta\vec{\beta}_{i}\cdot\vec{n}_{i})} \qquad \text{(Kahn & Lerche 1967)}$$

contribution dominante

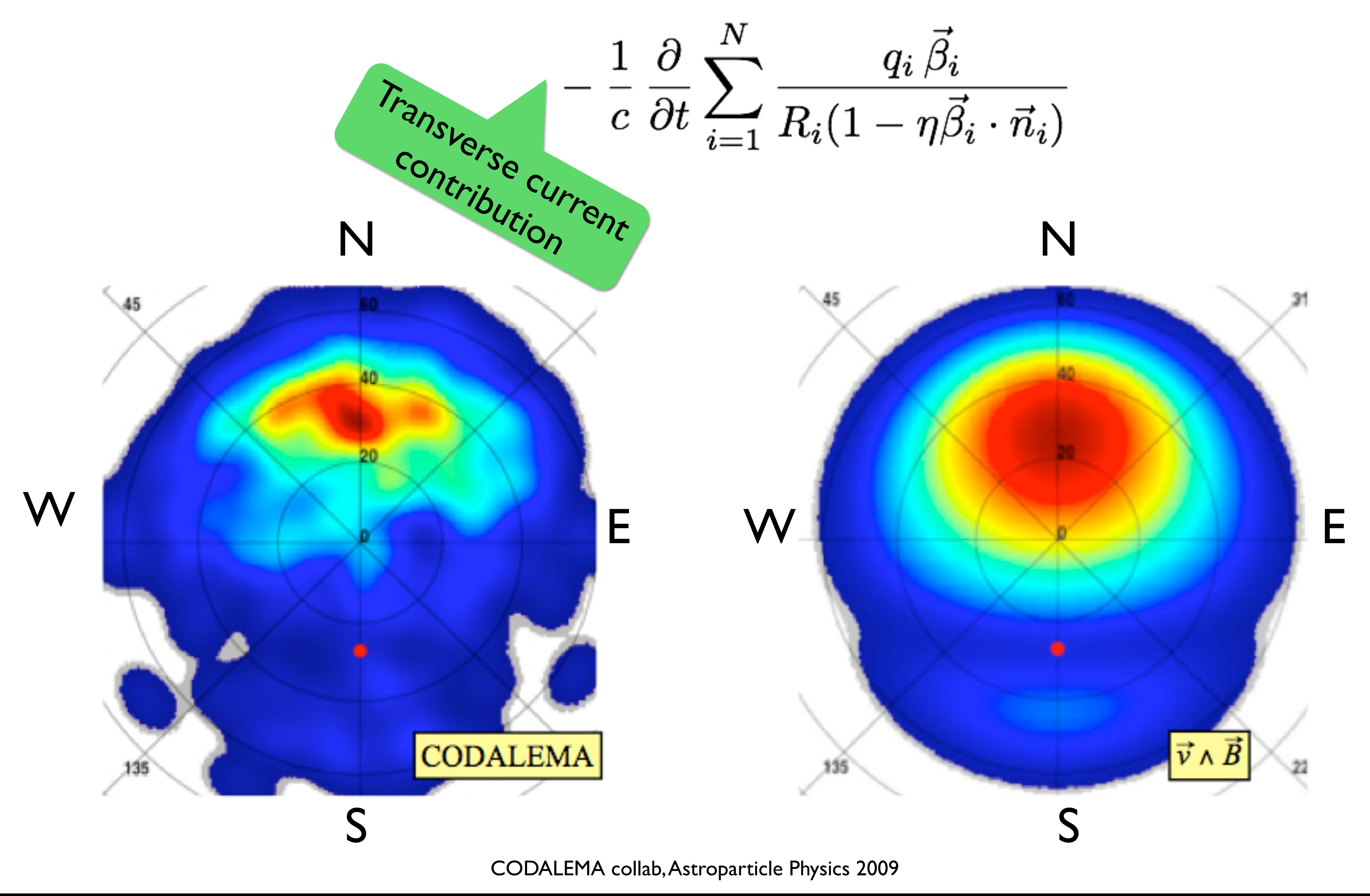
- polarisation linéaire
- indépendent de la position de l'observateur

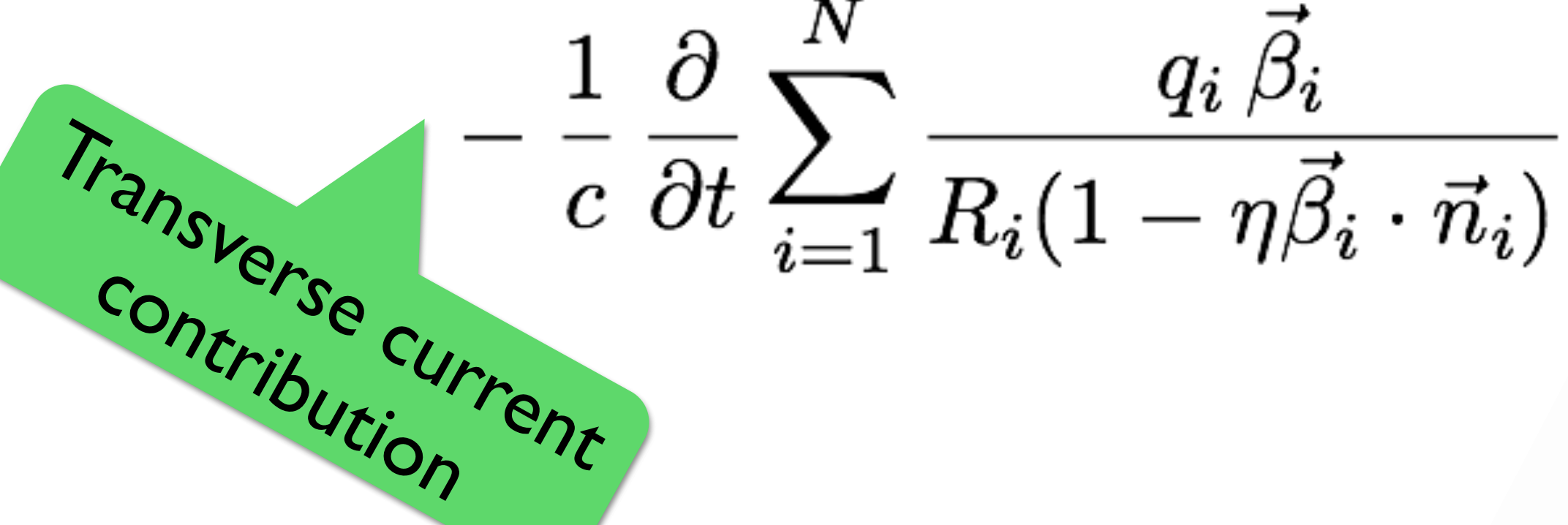
PFD Lorentz:

 $\frac{\partial}{\partial t} \vec{\beta_i} \propto \vec{\beta_i} \times \vec{B}$ + diffusions multiples aléatoires champ magnétique terrestre ~ direction de l'axe

> à énergie fixée, le champ électrique produit par ce mécanisme est maximal quand la direction d'arrivée est \perp à B

3 I B. Revenu, Subatech 15/09/15





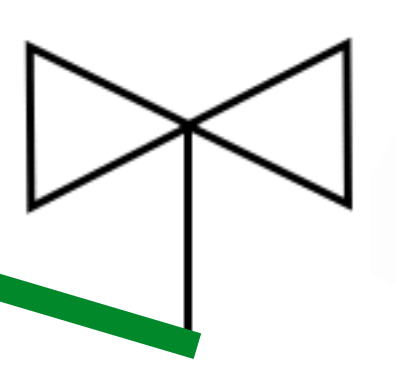
$$\vec{E}_{
m geo} \propto \vec{eta} imes \vec{B}$$

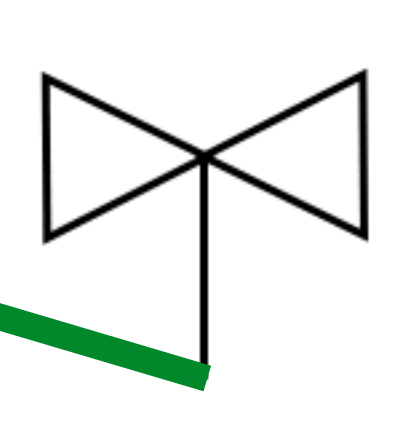
calcul de l'angle de polarisation du champ à partir des mesures dans les directions nord/sud et est/ouest :

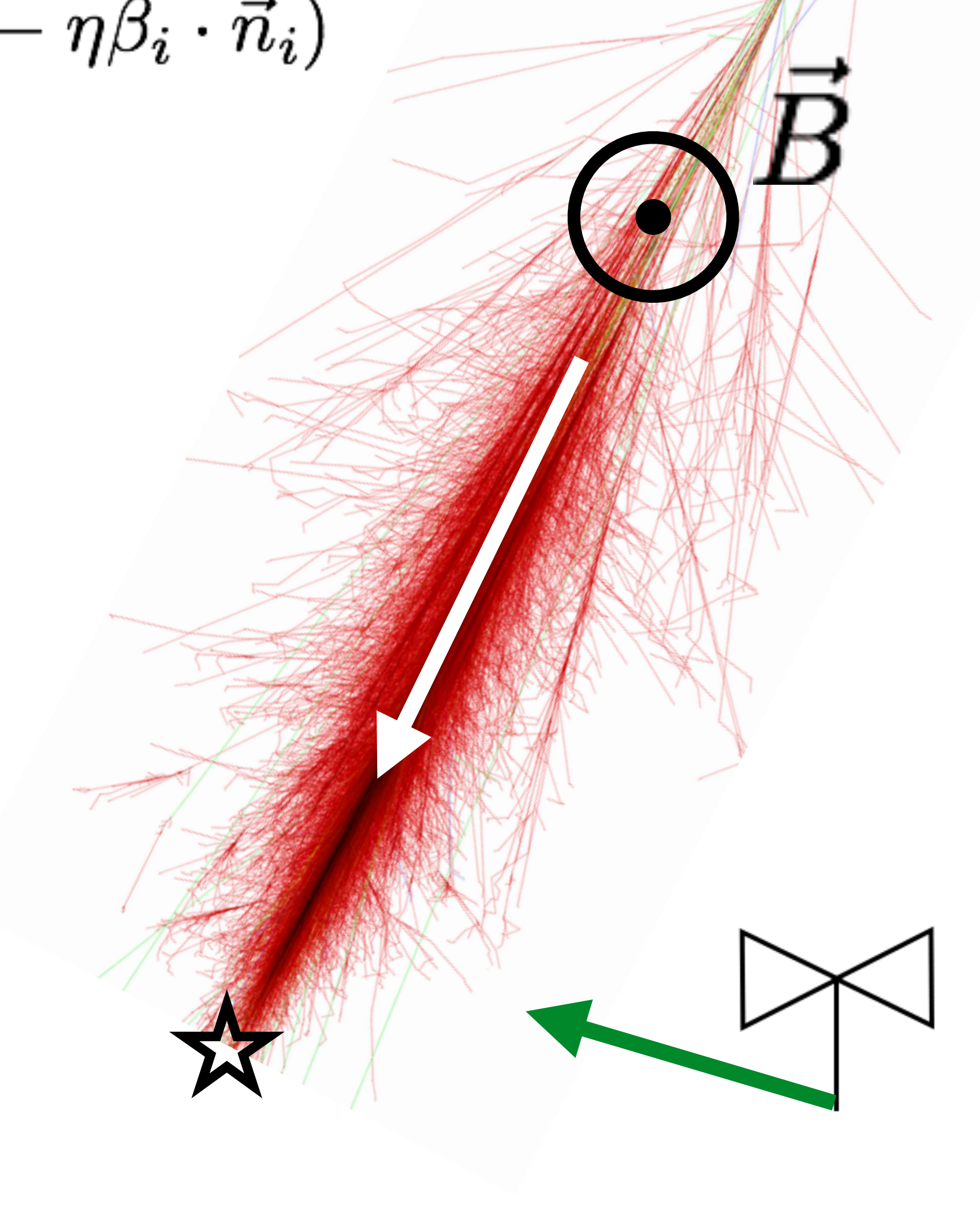
$$\phi_{\rm mes} = \arctan(E_{\rm NS}/E_{\rm EW})$$



$$\phi_{\rm exp} = \arctan((\vec{\beta} \times \vec{B})_{\rm NS}/(\vec{\beta} \times \vec{B})_{\rm EW})$$







$$-\frac{1}{c}\frac{\partial}{\partial t}\sum_{i=1}^{N}\frac{q_{i}\vec{\beta}_{i}}{R_{i}(1-\eta\vec{\beta}_{i}\cdot\vec{n}_{i})}$$

$$= \frac{1}{c}\frac{\partial}{\partial t}\sum_{i=1}^{N}\frac{q_{i}\vec{\beta}_{i}}{R_{i}(1-\eta\vec{\beta}_{i}\cdot\vec{n}_{i})}$$

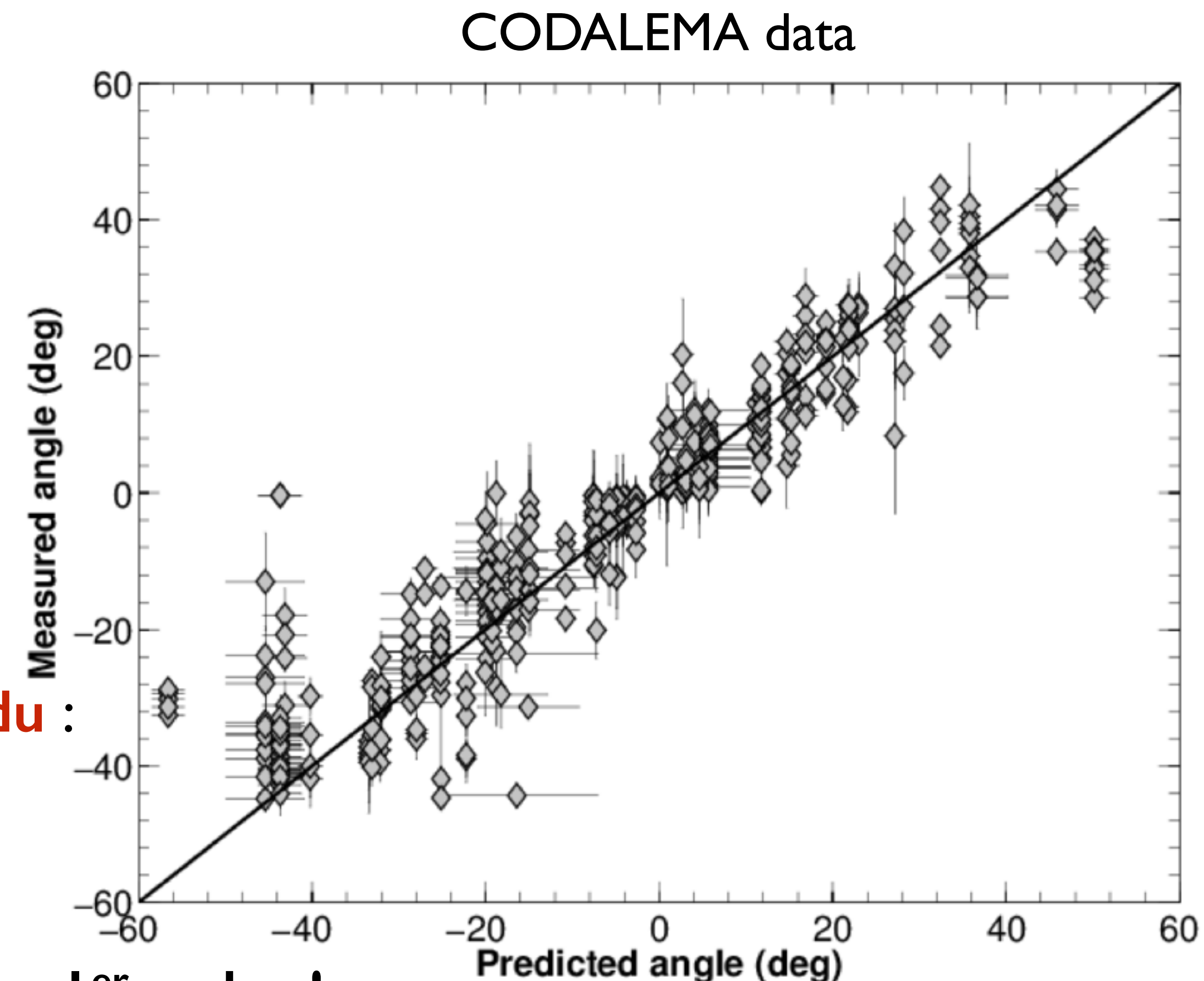
$$\vec{E}_{
m geo} \propto \vec{eta} imes \vec{B}$$

calcul de l'angle de polarisation du champ à partir des mesures dans les directions nord/sud et est/ouest :

$$\phi_{\rm mes} = \arctan(E_{\rm NS}/E_{\rm EW})$$

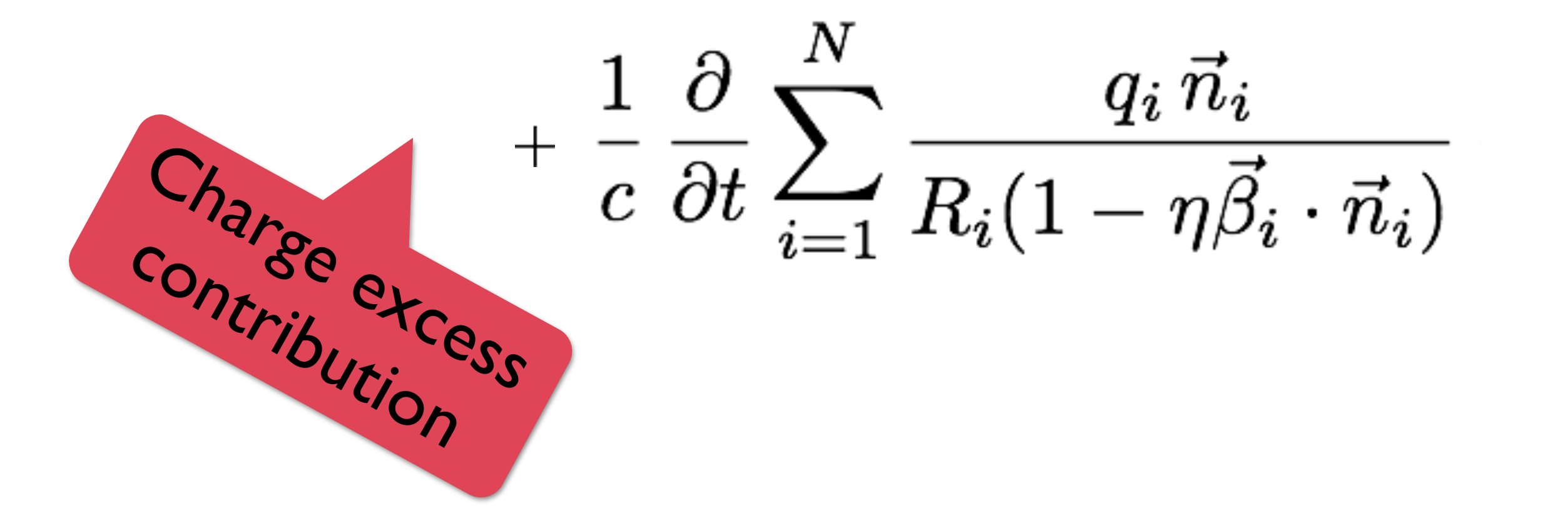
que l'on compare à l'angle de polarisation attendu :

$$\phi_{\mathrm{exp}} = \arctan((\vec{\beta} \times \vec{B})_{\mathrm{NS}}/(\vec{\beta} \times \vec{B})_{\mathrm{EW}})$$



Domination du mécanisme géomagnétique au 1er ordre!

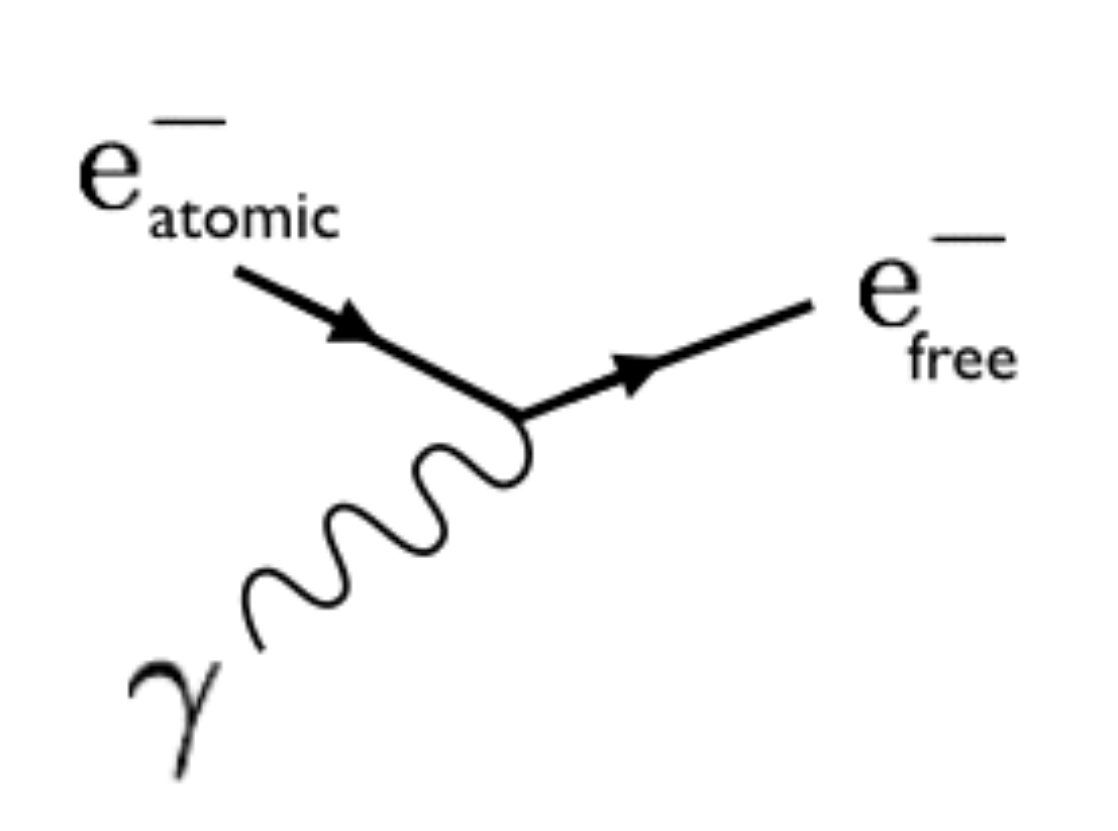
D. Torres Machado for the CODALEMA collaboration, ICRC Rio de Janeiro, 2013

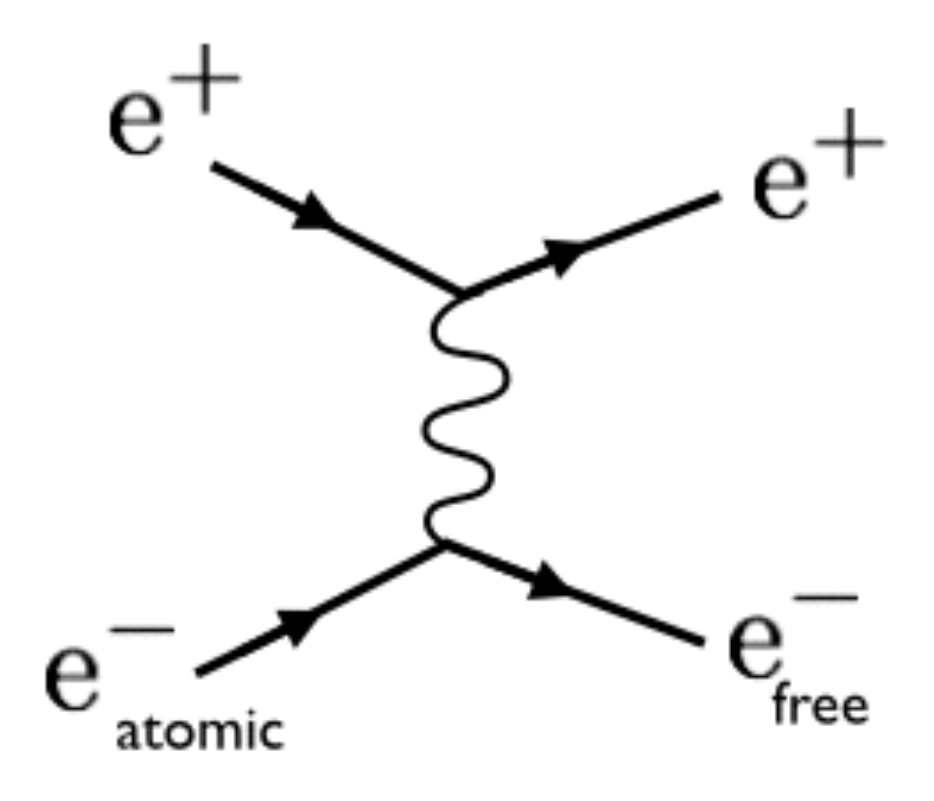


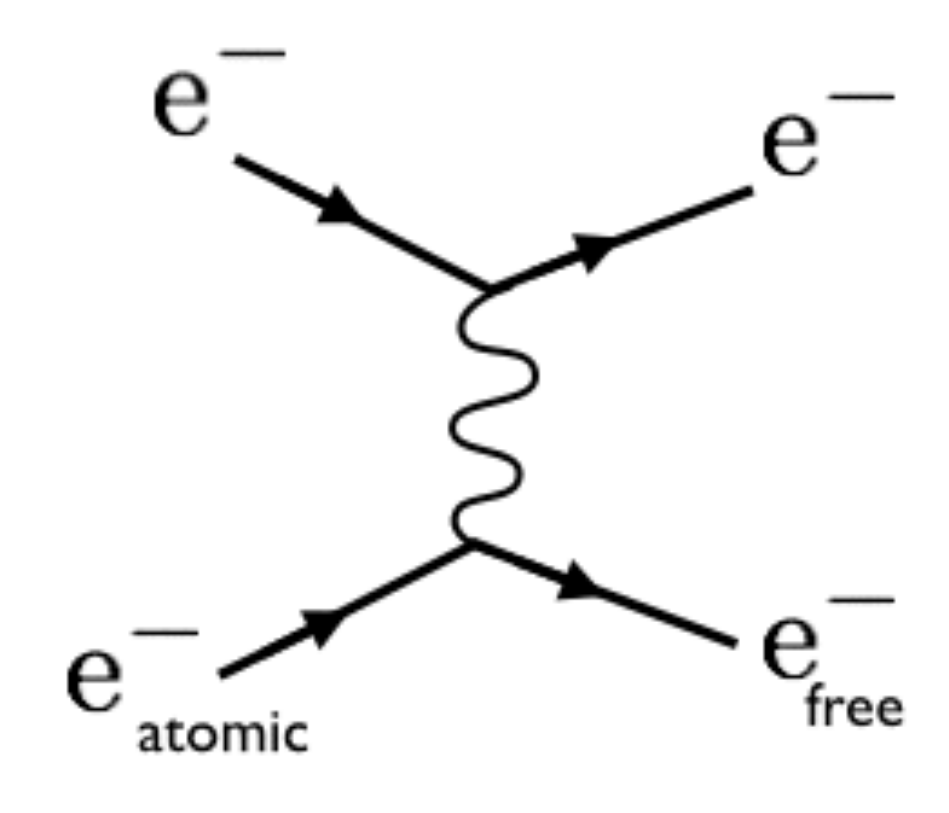
Pas de champ électrique si $\,n_{
m e^+} = n_{
m e^-}$

mais
$$n_{\mathrm{e}^+} < n_{\mathrm{e}^-} \, \mathrm{car}$$
 :

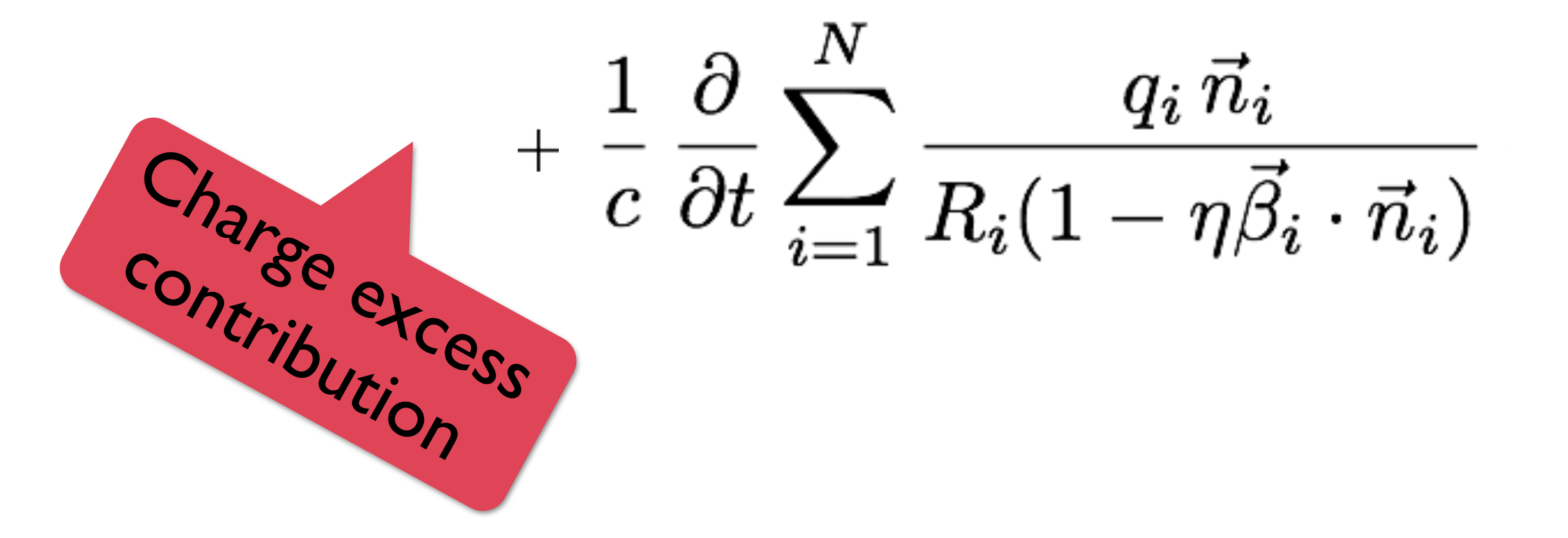
- annihilation des e+ en vol
- extraction d'e- au milieu (Compton, Bhabha, Moeller)







(Askaryan 1962, 1965)



(Askaryan 1962, 1965)

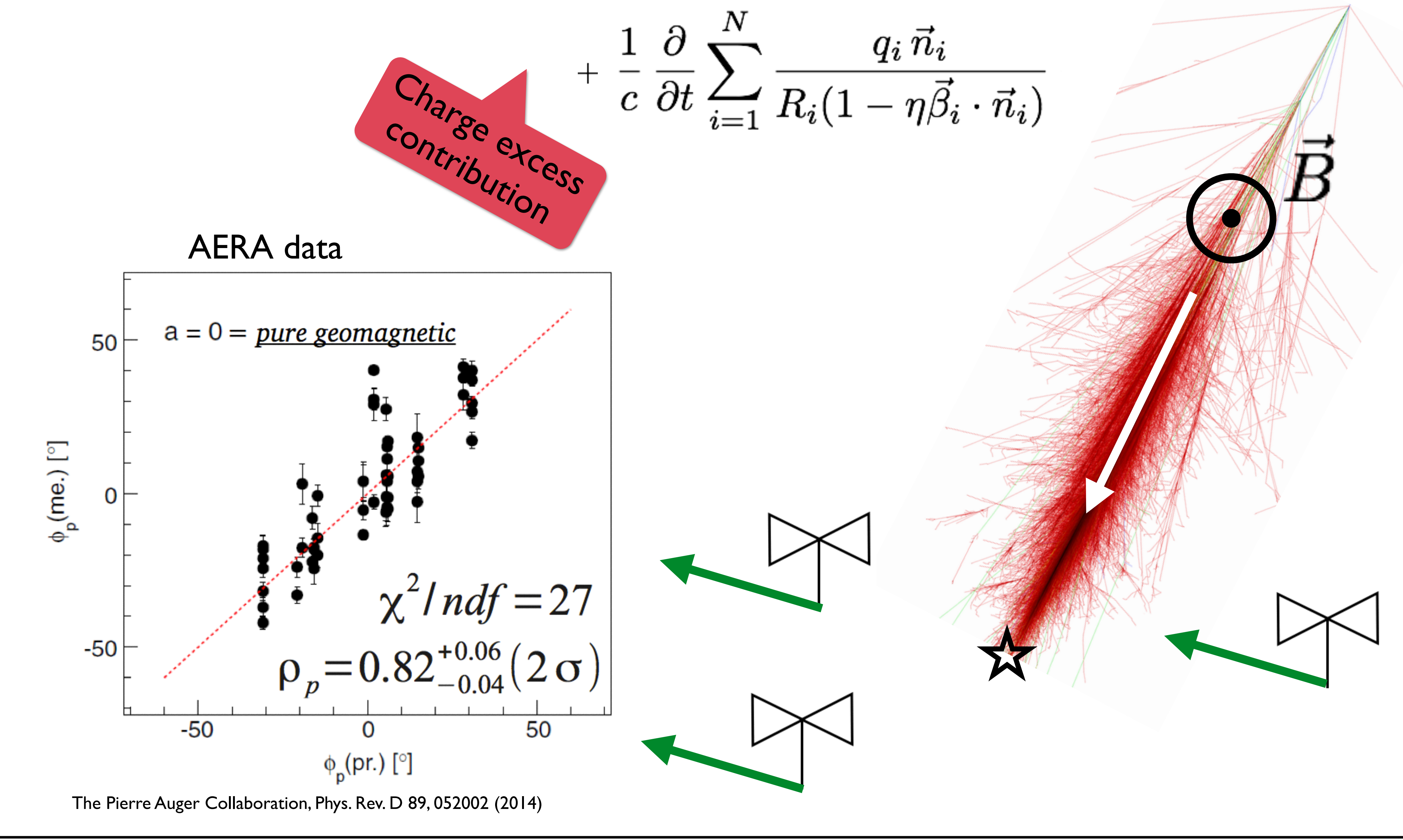
Pas de champ électrique si $\,n_{
m e^+} = n_{
m e^-}$

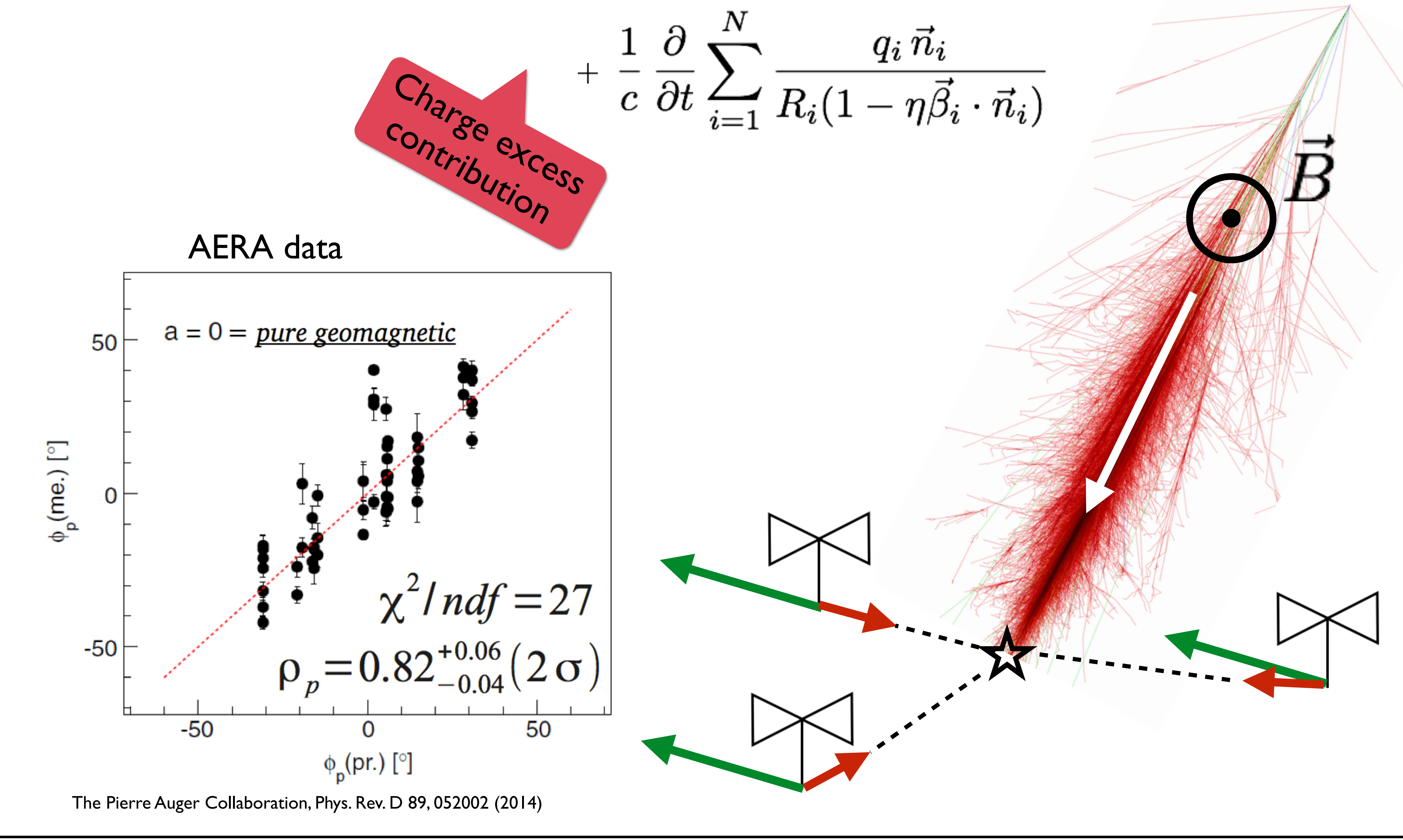
mais
$$n_{\mathrm{e}^+} < n_{\mathrm{e}^-} \, \mathrm{car}$$
 :

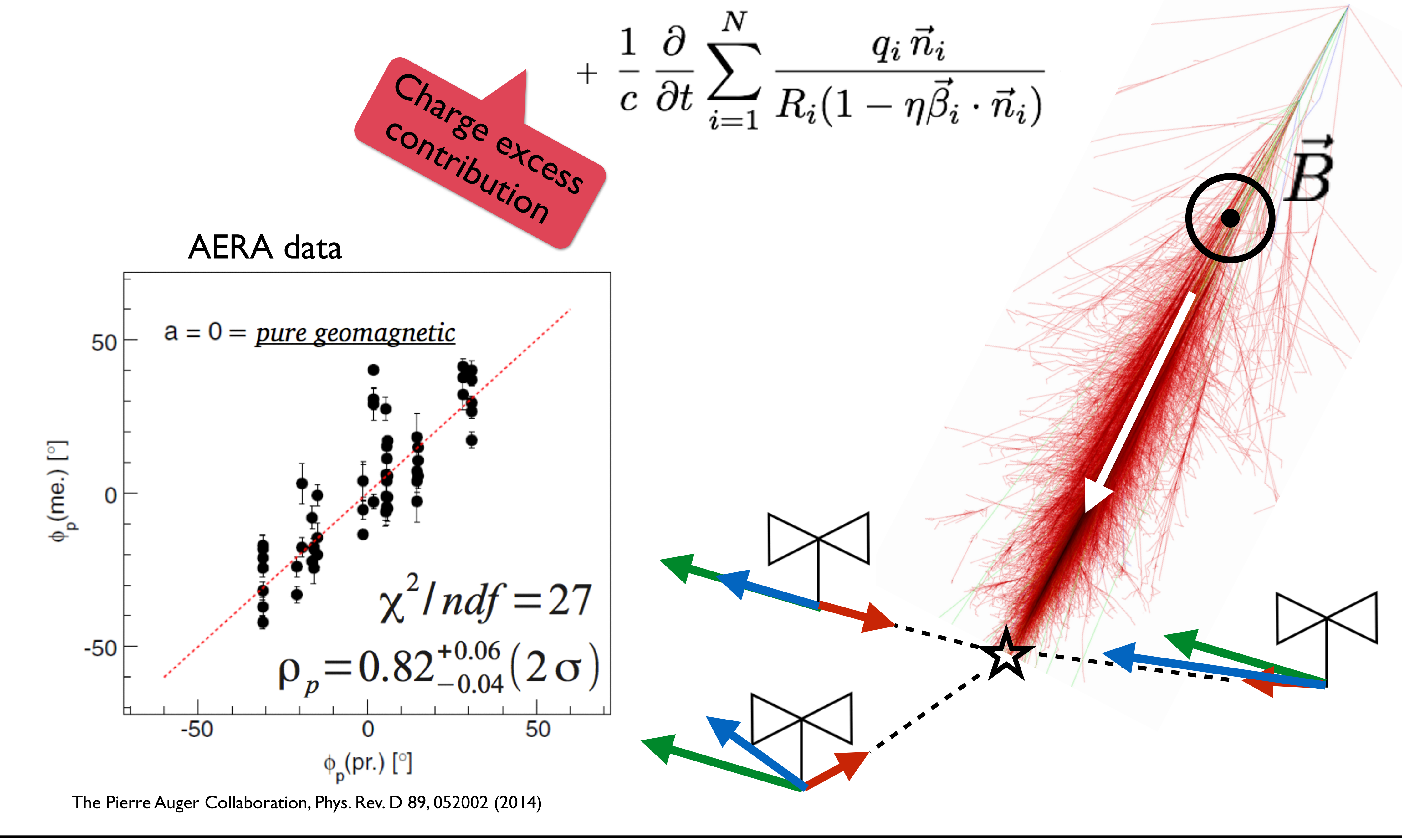
- annihilation des e+ en vol
- extraction d'e- au milieu (Compton, Bhabha, Moeller)

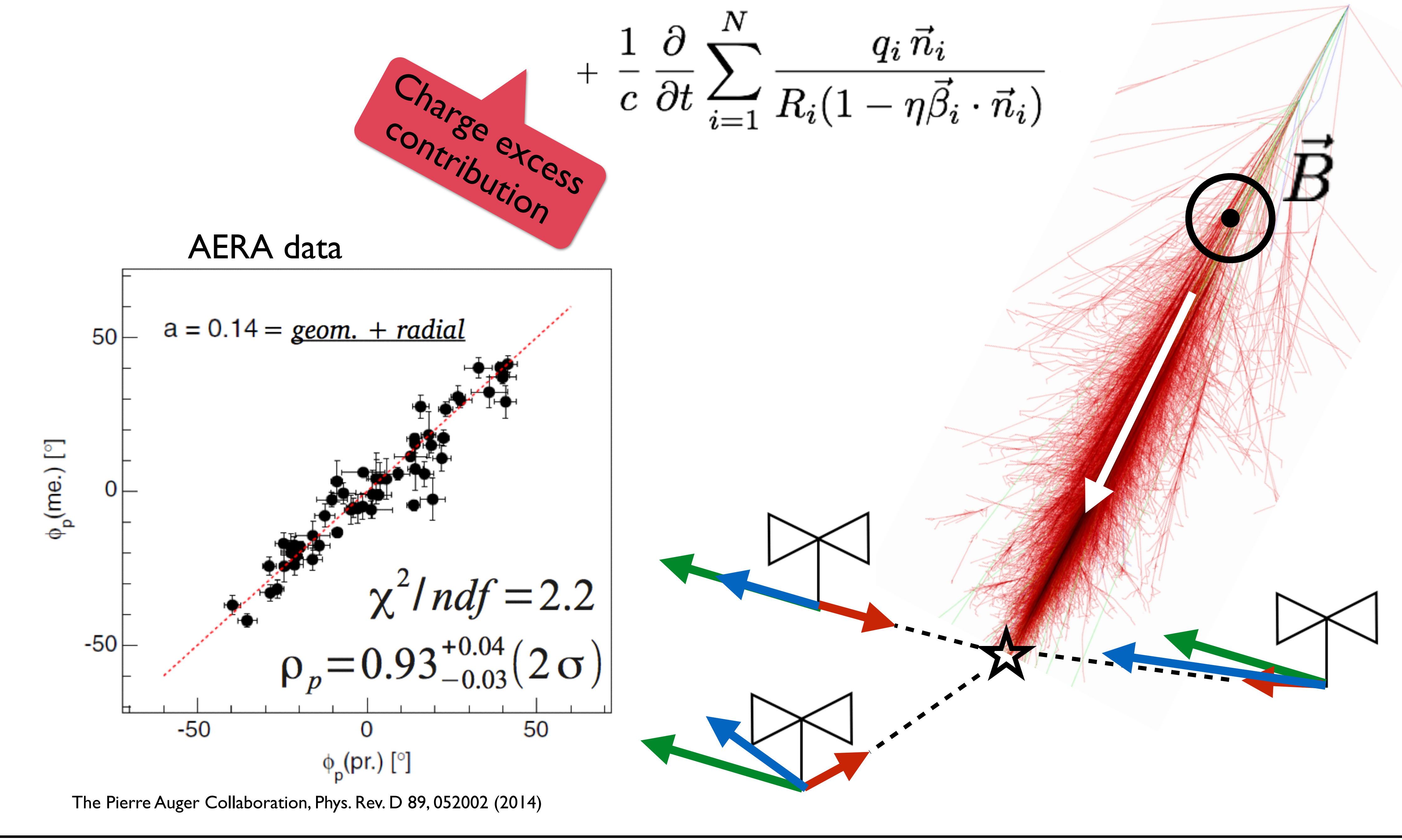
cet excès d'électrons produit :

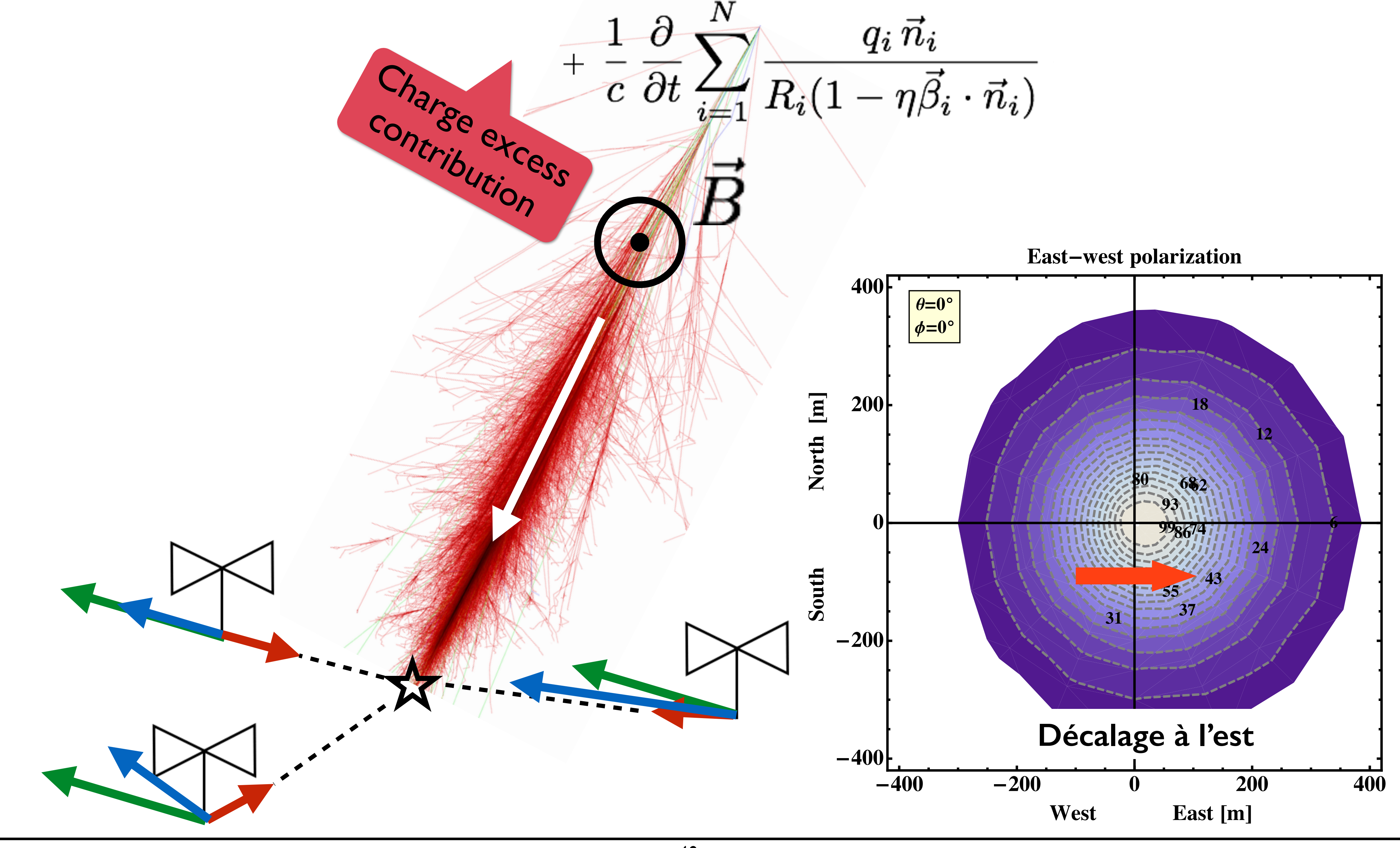
- un champ électrique non nul
- caractérisé par un schéma de polarisation radial
- le champ dépend de la position de l'observateur

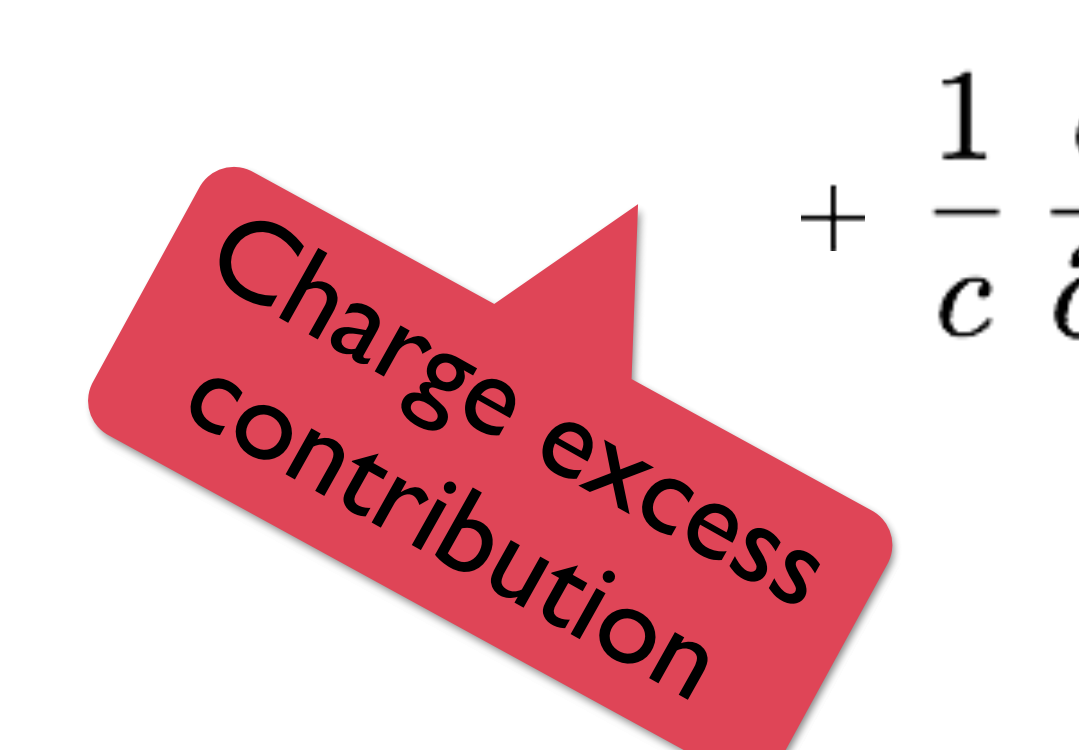






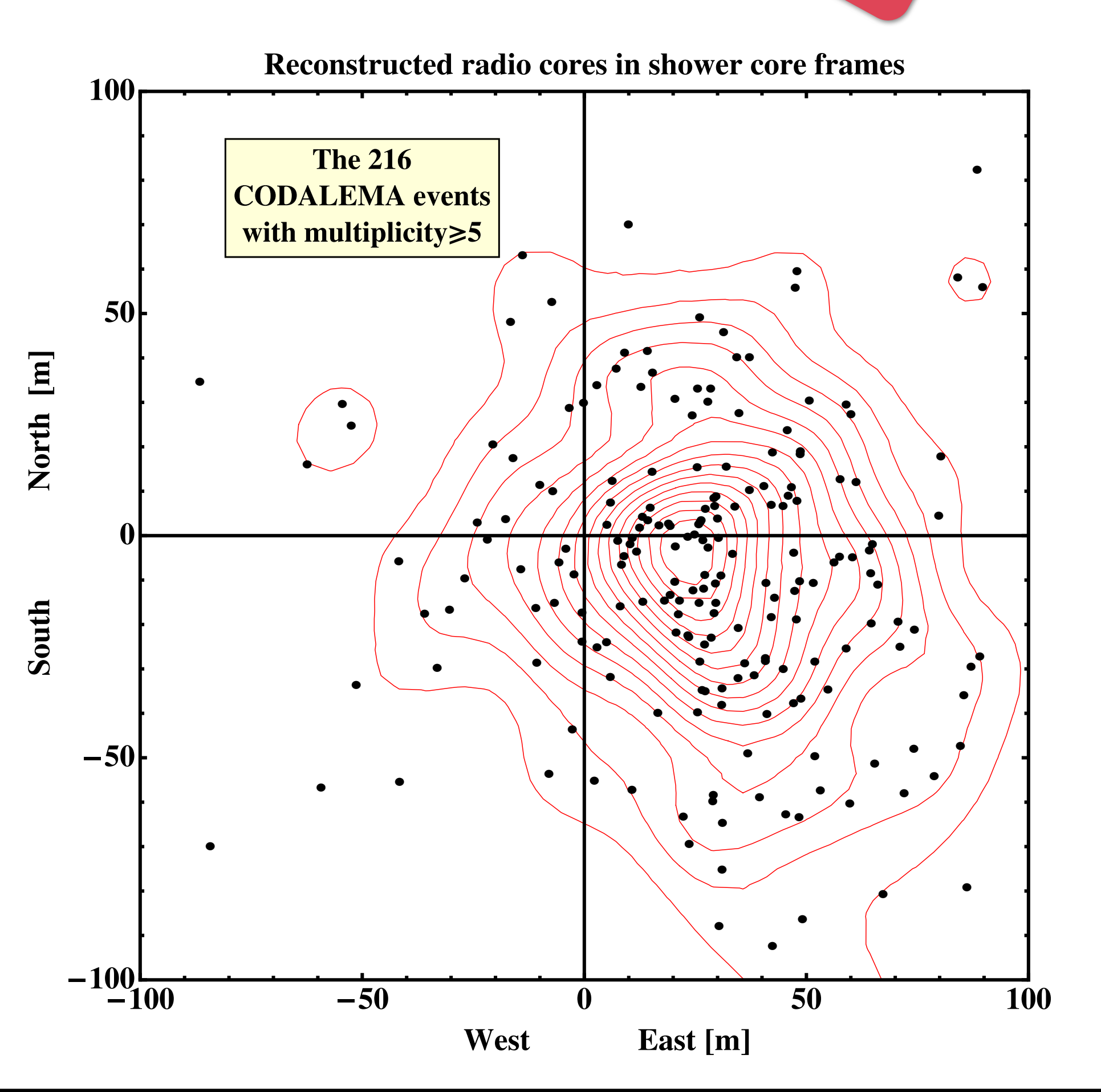


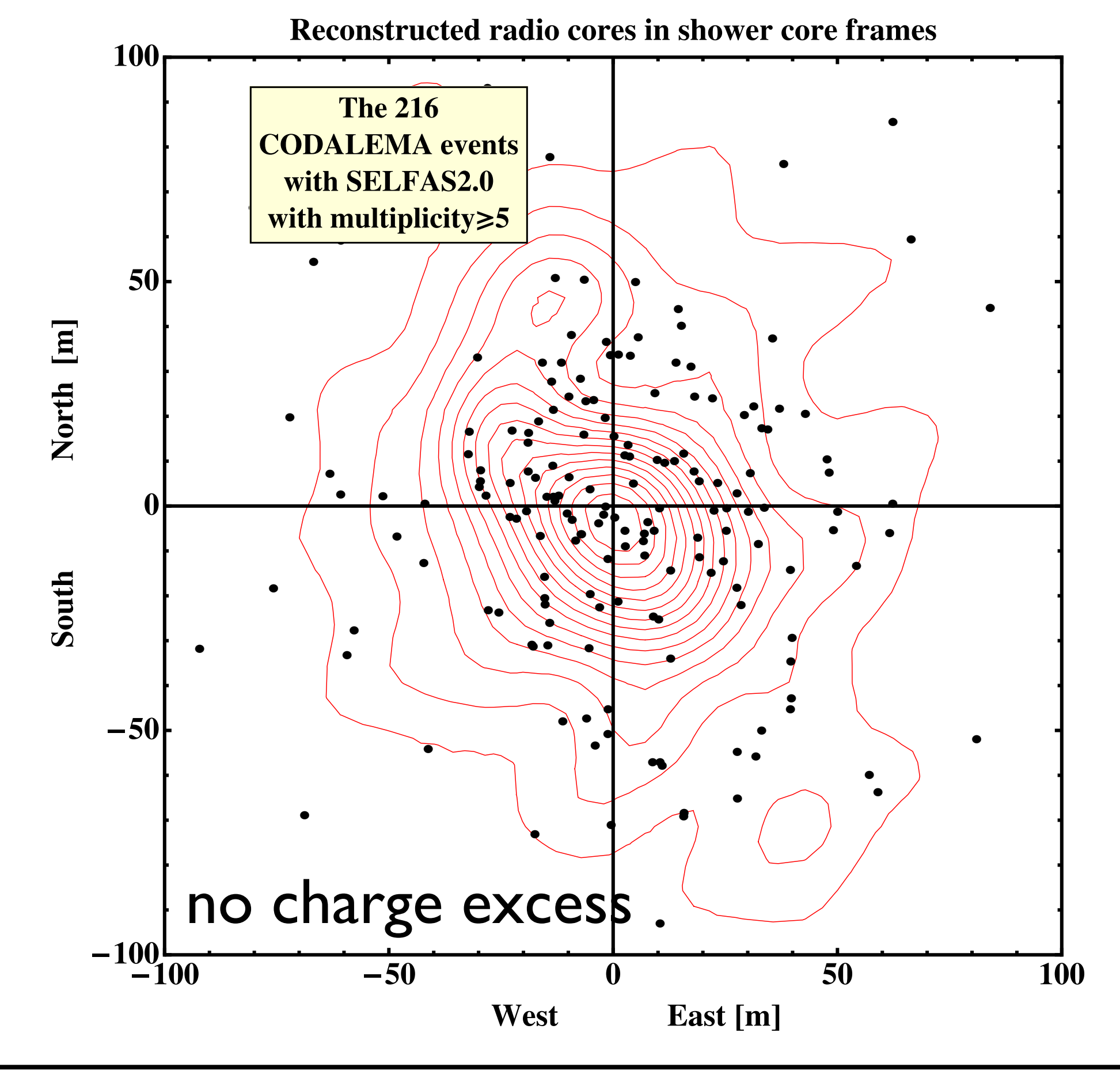


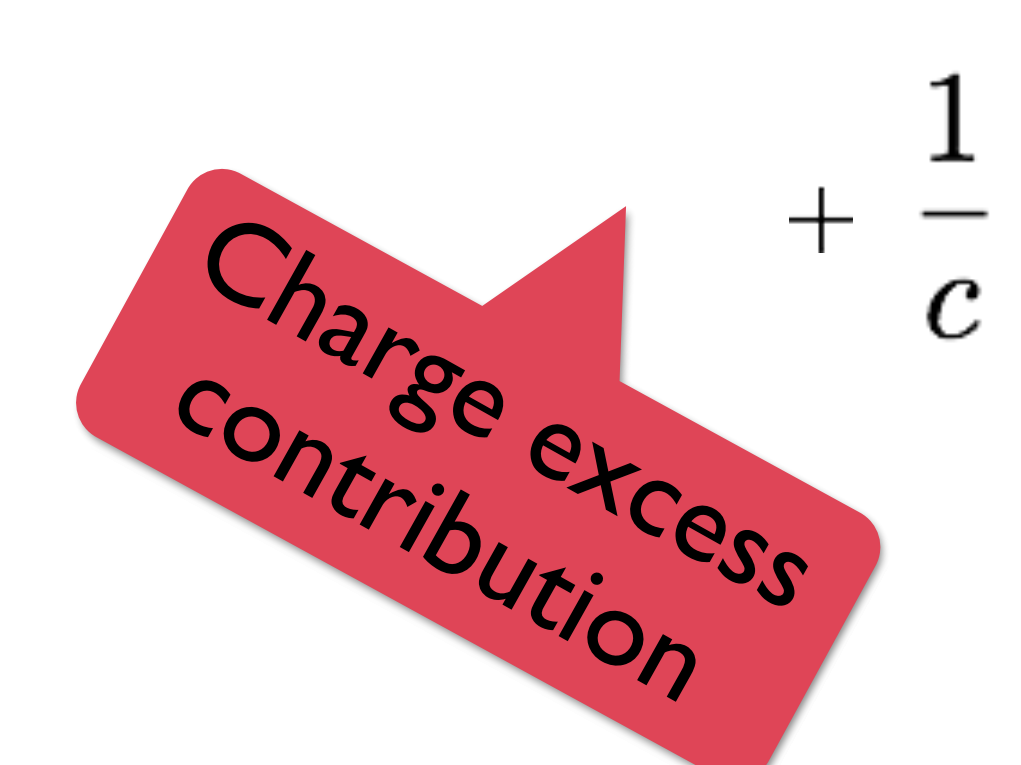


$$\frac{1}{c} \frac{\partial}{\partial t} \sum_{i=1}^{N} \frac{q_i \vec{n}_i}{R_i (1 - \eta \vec{\beta}_i \cdot \vec{n}_i)}$$

ICRC 2011 & Astroparticle physics 2015

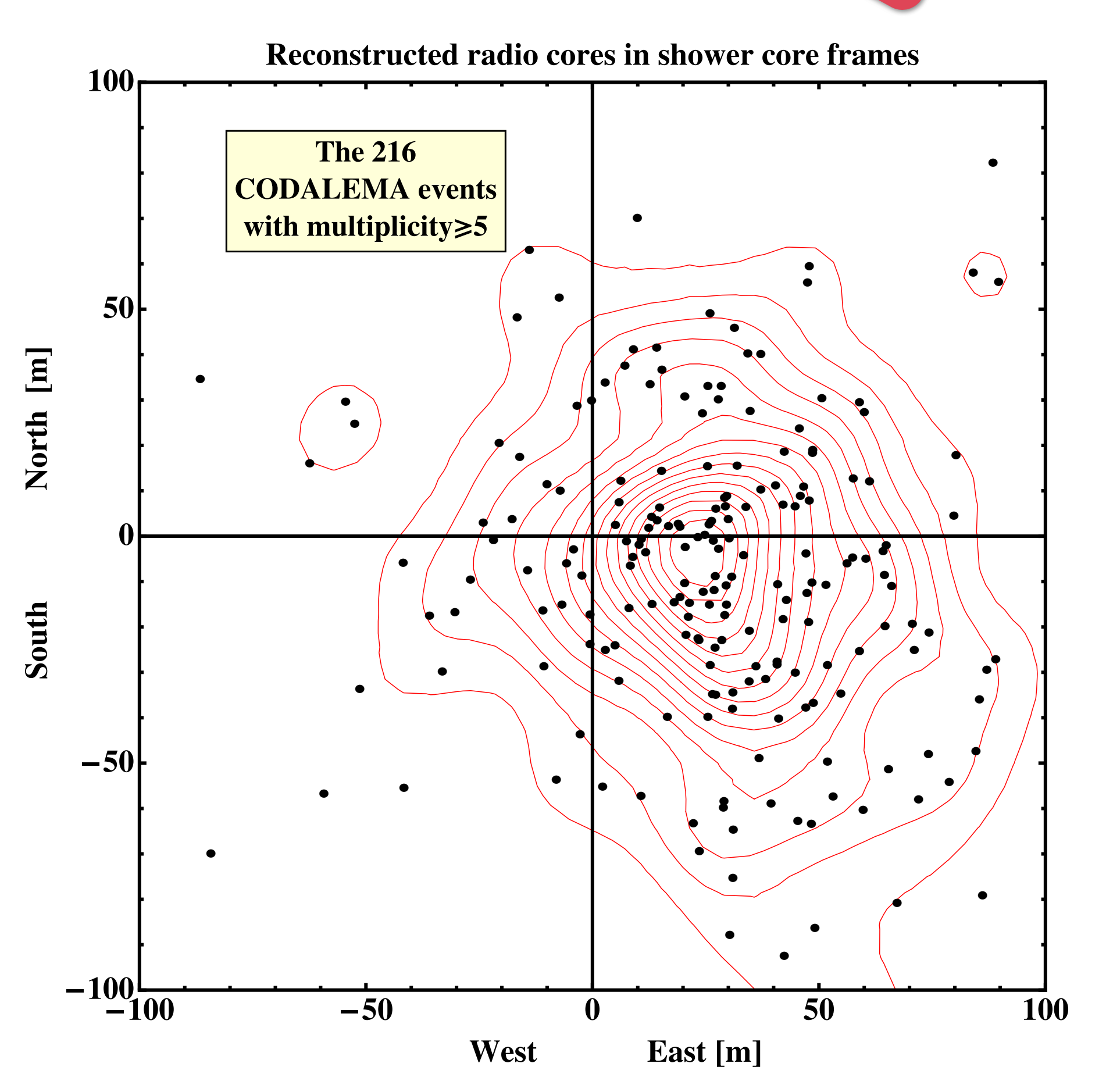


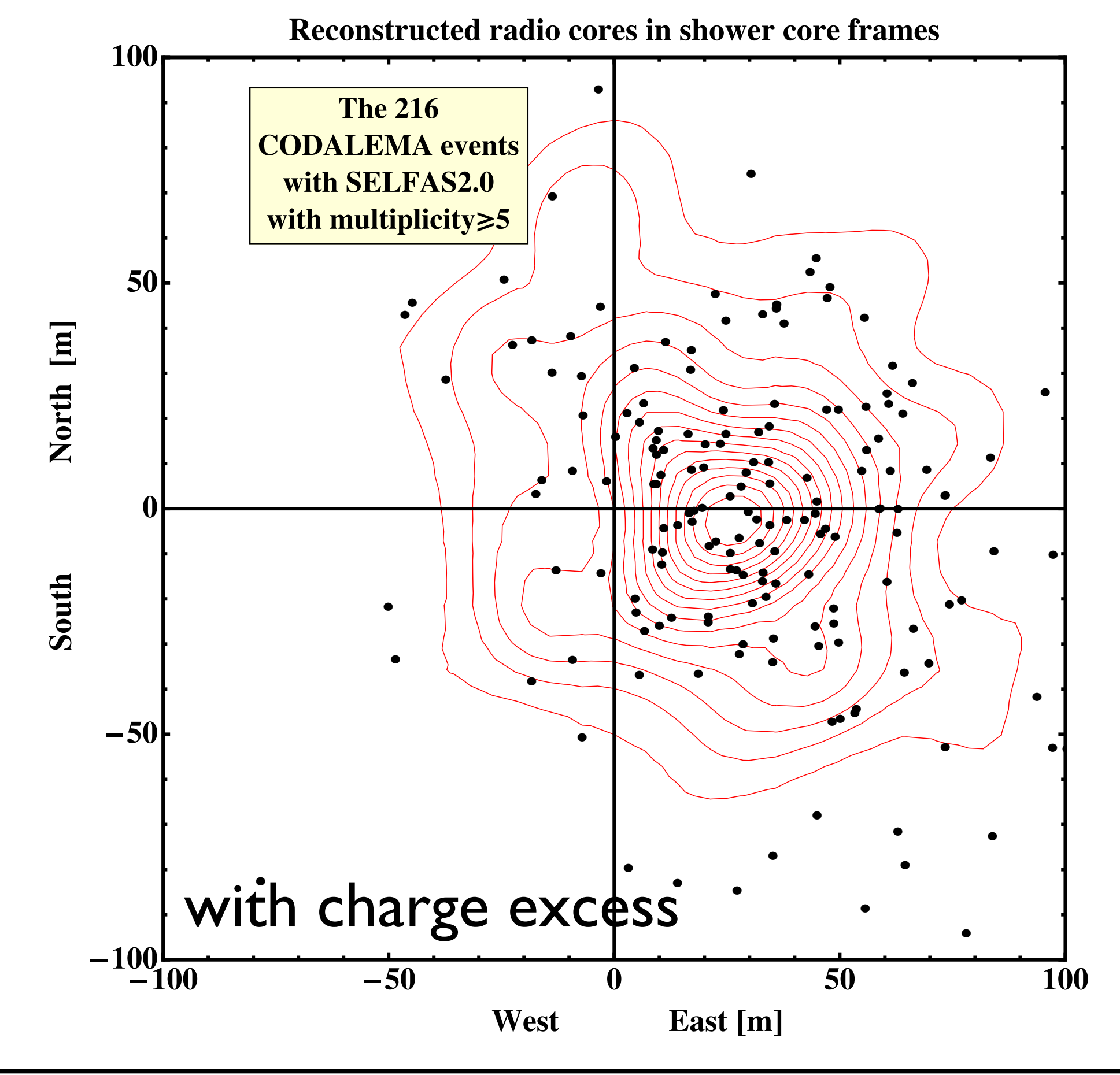




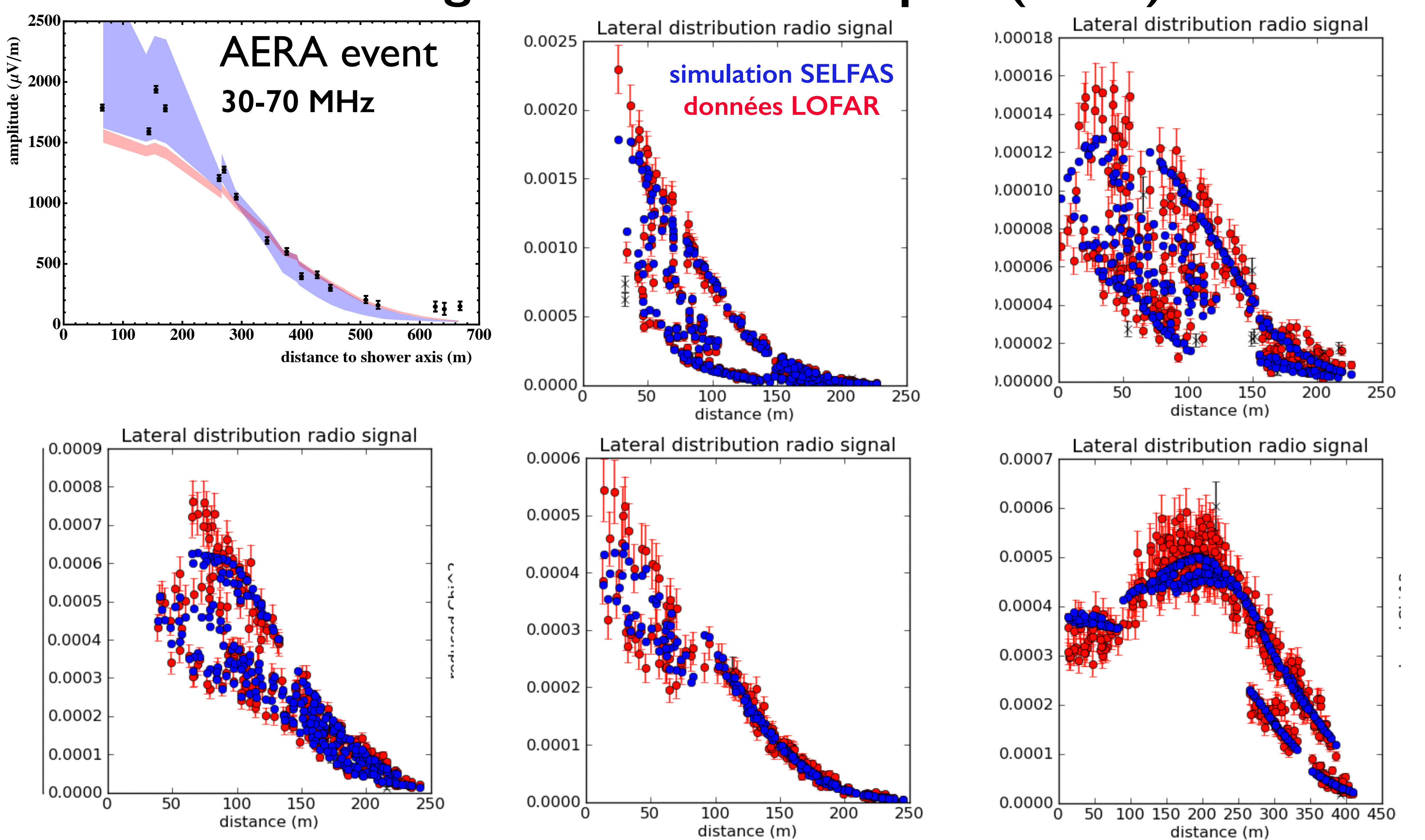
$$\frac{1}{c} \frac{\partial}{\partial t} \sum_{i=1}^{N} \frac{q_i \vec{n}_i}{R_i (1 - \eta \vec{\beta}_i \cdot \vec{n}_i)}$$

ICRC 2011 & Astroparticle physics 2015



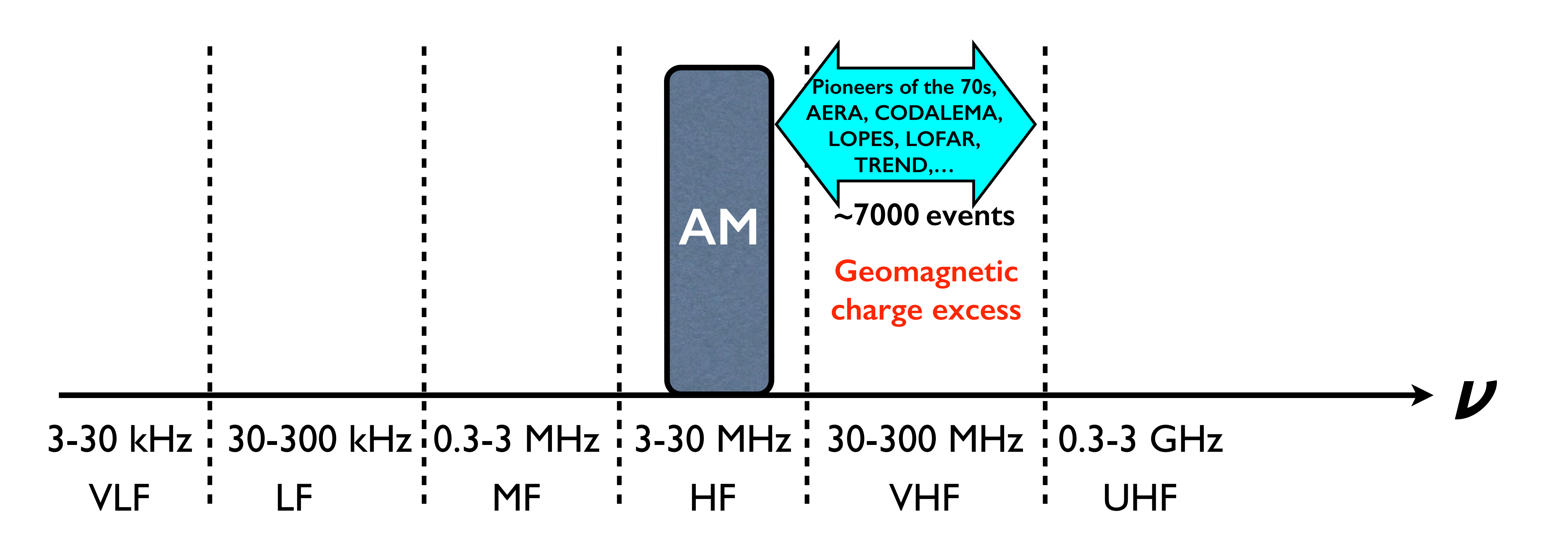


Signal très bien compris (2014)

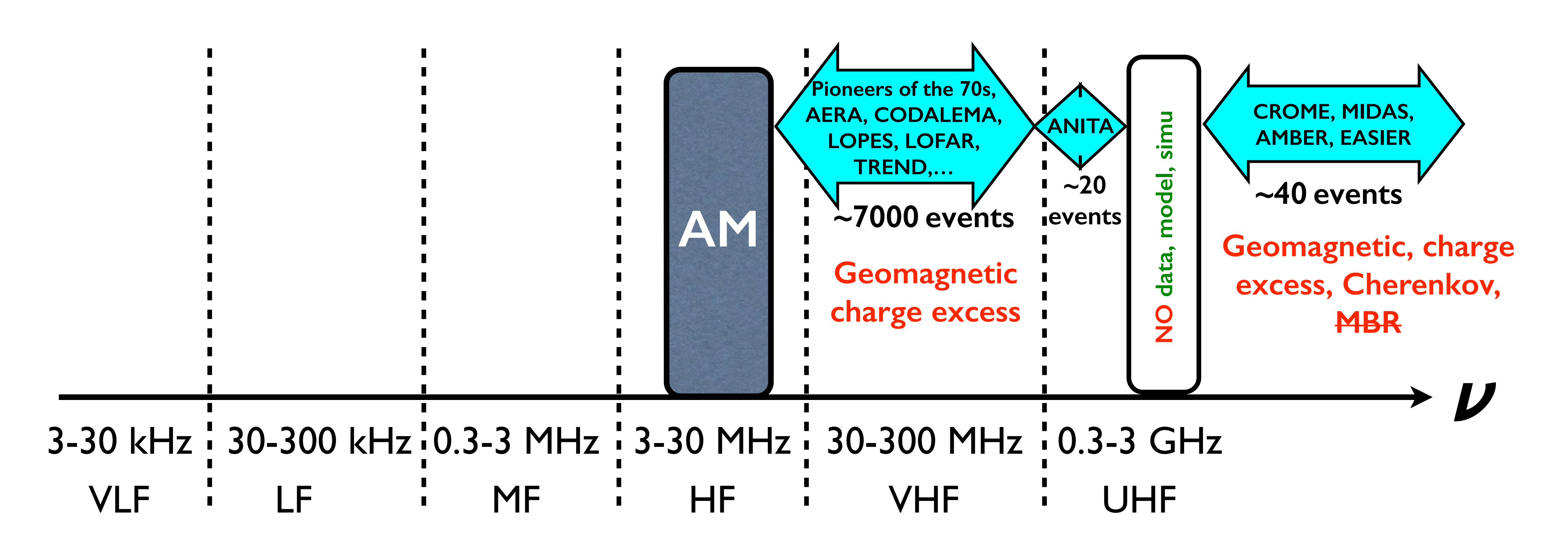


(LOFAR plots by S. Buitink)

Bilan provisoire: 30 - 300 MHz



Bilan provisoire: GHz



À basse fréquence : kHz-MHz

year	reference	frequency	message
1970	Allan, Clay, Nature 225, 253	2 MHz	100 times higher than at 32 MHz
1970	Prescott et al, I Ith ICRC 3, 717	3.6 MHz, 10 MHz	higher than geomagnetic, no detection at 10 MHz
1971	Stubbs, Nature 230, 172	2 MHz	250 times higher than at 44 MHz
1971	Hough et al, Nature 232, 14	3.6 MHz	10 times higher than geomagnetic in 20-60 MHz
1972	Felgate, Stubbs, Nature 239, 151	6 MHz	two polarizations, not only geomagnetic
1973	Clay et al, 13th ICRC 4, 2420	I00 kHz	$\varepsilon_{ u} \propto u^{-1.5}$
1973	Gregory et al, Nature 245, 86	I00 kHz	large SNR, not only geomagnetic
1985	Suga et al, 20th ICRC 7, 268	50 kHz, 170 kHz, 1.6 MHz	Akeno, huge field strength vs geo-magnetic/electric
1987	Nishi, Suga, 20th ICRC 6, 125	26-300 kHz	Akeno, monopolar, 1/d, 2.5 km
1991	Castagnoli et al, 22nd ICRC 4, 363	470 kHz, 2.6 MHz	EASTOP/EASRadio, amplitude 🦯 when freq 🖒
1992	Baishya et al, NCimC 16, 17	2 MHz, 9 MHz	TR is not the only mechanism
1993	Kadota et al, 18th ICRC 4, 262	30 kHz-3 MHz	AGASA, mono/bi polar

À basse fréquence : kHz-MHz

year	reference	frequency	message
1970	Allan, Clay, Nature 225, 253	2 MHz	100 times higher than at 32 MHz
1970	Prescott et al, I Ith ICRC 3, 717	3.6 MHz, 10 MHz	higher than geomagnetic, no detection at 10 MHz
1971	Stubbs, Nature 230, 172	2 MHz	250 times higher than at 44 MHz
1971	Hough et al, Nature 232, 14	3.6 MHz	10 times higher than geomagnetic in 20-60 MHz
1972	Felgate, Stubbs, Nature 239, 151	6 MHz	two polarizations, not only geomagnetic
1973	Clay et al, 13th ICRC 4, 2420	I00 kHz	$\varepsilon_{\nu} \propto \nu^{-1.5}$
1973	Gregory et al, Nature 245, 86	I00 kHz	large SNR, not only geomagnetic
1985	Suga et al, 20th ICRC 7, 268	50 kHz, 170 kHz, 1.6 MHz	Akeno, huge field strength vs geo-magnetic/electric
1987	Nishi, Suga, 20th ICRC 6, 125	26-300 kHz	Akeno, monopolar, 1/d, 2.5 km
1991	Castagnoli et al, 22nd ICRC 4, 363	470 kHz, 2.6 MHz	EASTOP/EASRadio, amplitude / when freq \
1992	Baishya et al, NCimC 16, 17	2 MHz, 9 MHz	TR is not the only mechanism
1993	Kadota et al, 18th ICRC 4, 262	30 kHz-3 MHz	AGASA, mono/bi polar

Mécanismes d'émission (kHz-MHz)

année	référence	mécanisme
1957	Wilson, Phys. Rev. 108, 155	géoélectrique
1968	Charman, J. Atm. Terr. Phys. 30, 195	géoélectrique
1972	Allan, Nature 237, 384	cohérence maximale
1983	Kaneko et al, 18th ICRC 11, 428	excès de charge au niveau du sol
1985	Nishimura, 20th ICRC 7, 308	TR des e ⁻ au sol
1985	Suga et al, 20th ICRC 7, 268	TR des e ⁻ au sol

Résumé

- forte augmentation du champ électrique à basse fréquence
- peu de données, pas de contrôle atmosphérique, pas de conclusion
- des signaux bipolaires et monopolaires ont été obtenus
- pas de mécanisme clair
- bande de fréquence inexploitée depuis plus de 20 ans

Mort subite des gerbes atmosphériques

Mécanisme proposé (hors TR):

émission d'un champ électrique **cohérent** à basse fréquence lors du contact front de gerbe/sol

macroscopique

$$\boldsymbol{E}(\boldsymbol{x},t) = \frac{1}{4\pi\epsilon_0} \int d^3x' dt' \left\{ \frac{\boldsymbol{n}}{R^2} \left[\rho(\boldsymbol{x}',t') \right]_{\text{ret}} + \frac{\boldsymbol{n}}{cR} \left[\frac{\partial \rho(\boldsymbol{x}',t')}{\partial t'} \right]_{\text{ret}} - \frac{1}{c^2 R} \left[\frac{\partial \boldsymbol{J}(\boldsymbol{x}',t')}{\partial t'} \right]_{\text{ret}} \right\} \delta \left\{ t' - \left(t - \frac{|\boldsymbol{x} - \boldsymbol{x}'|}{c} \right) \right\}$$

très forte variation de J et p!

~ instantané à basse fréquence (< 20 MHz, > 15 m) : cohérence

microscopique

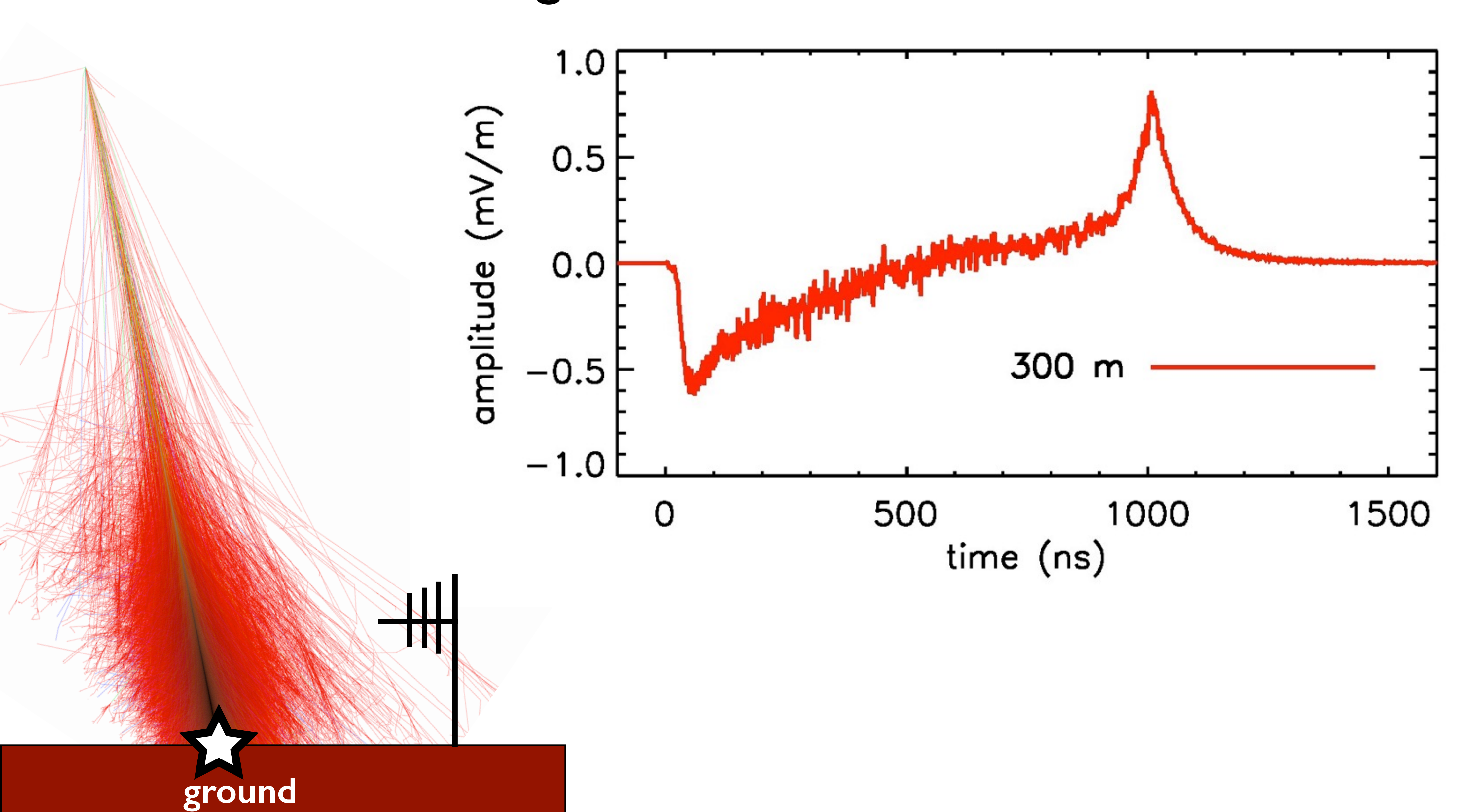
la décélération cohérente (Bremsstrahlung) des électrons crée le champ électrique

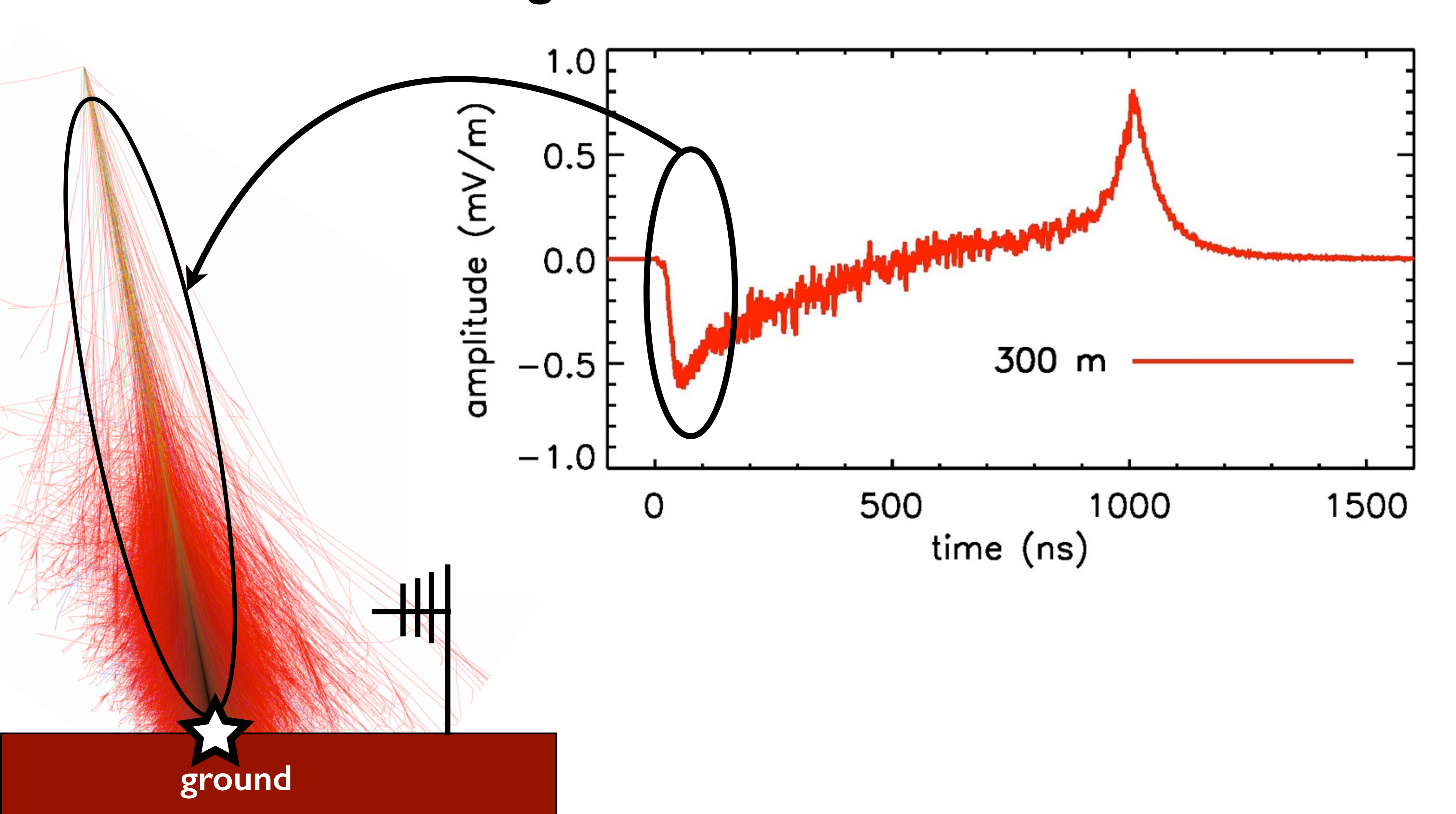
 $\mathbf{J}(x,y,z,t)$ ho(x,y,z,t)

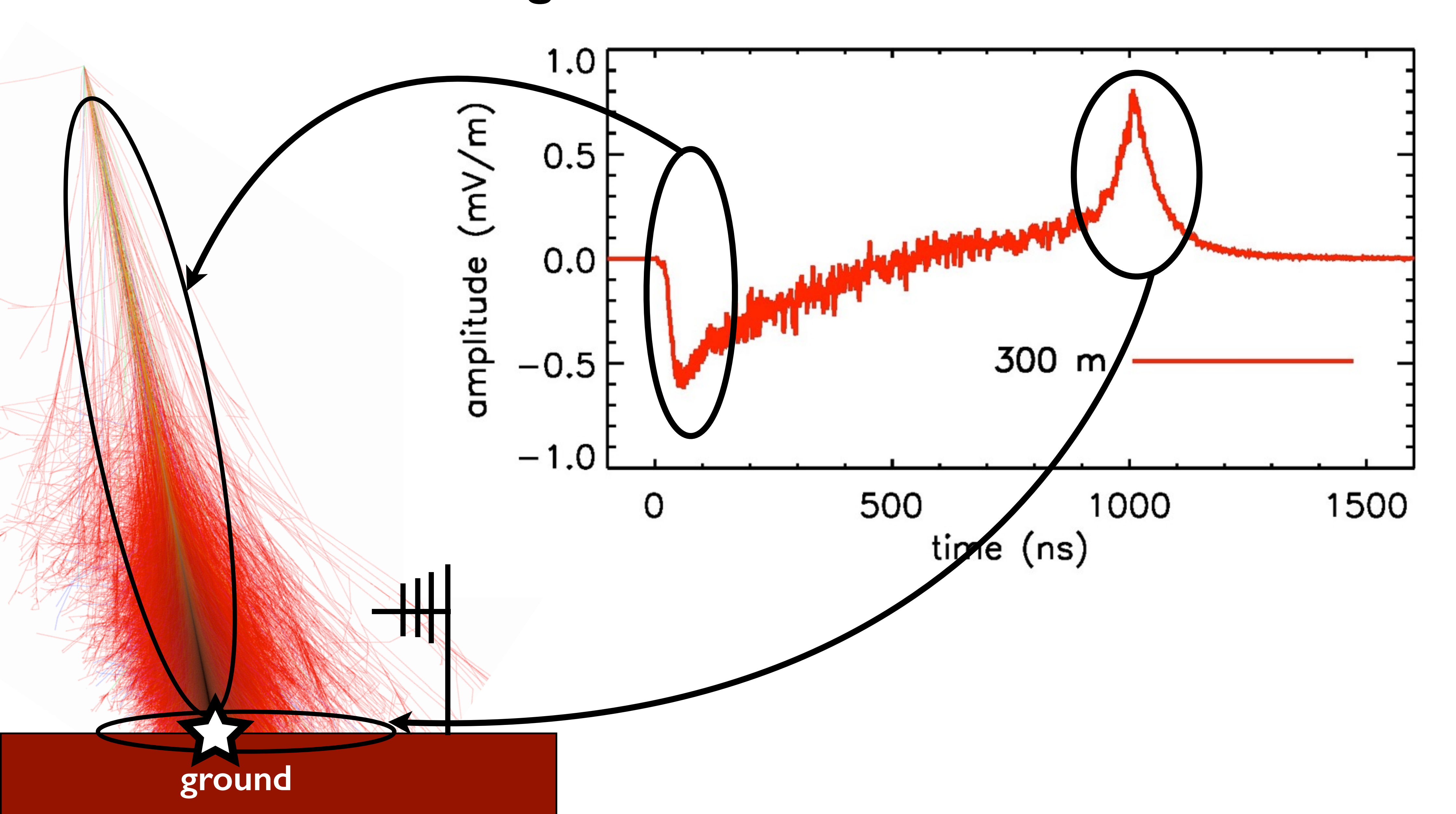
Utilisation de la simulation avec SELFAS pour caractériser ce signal

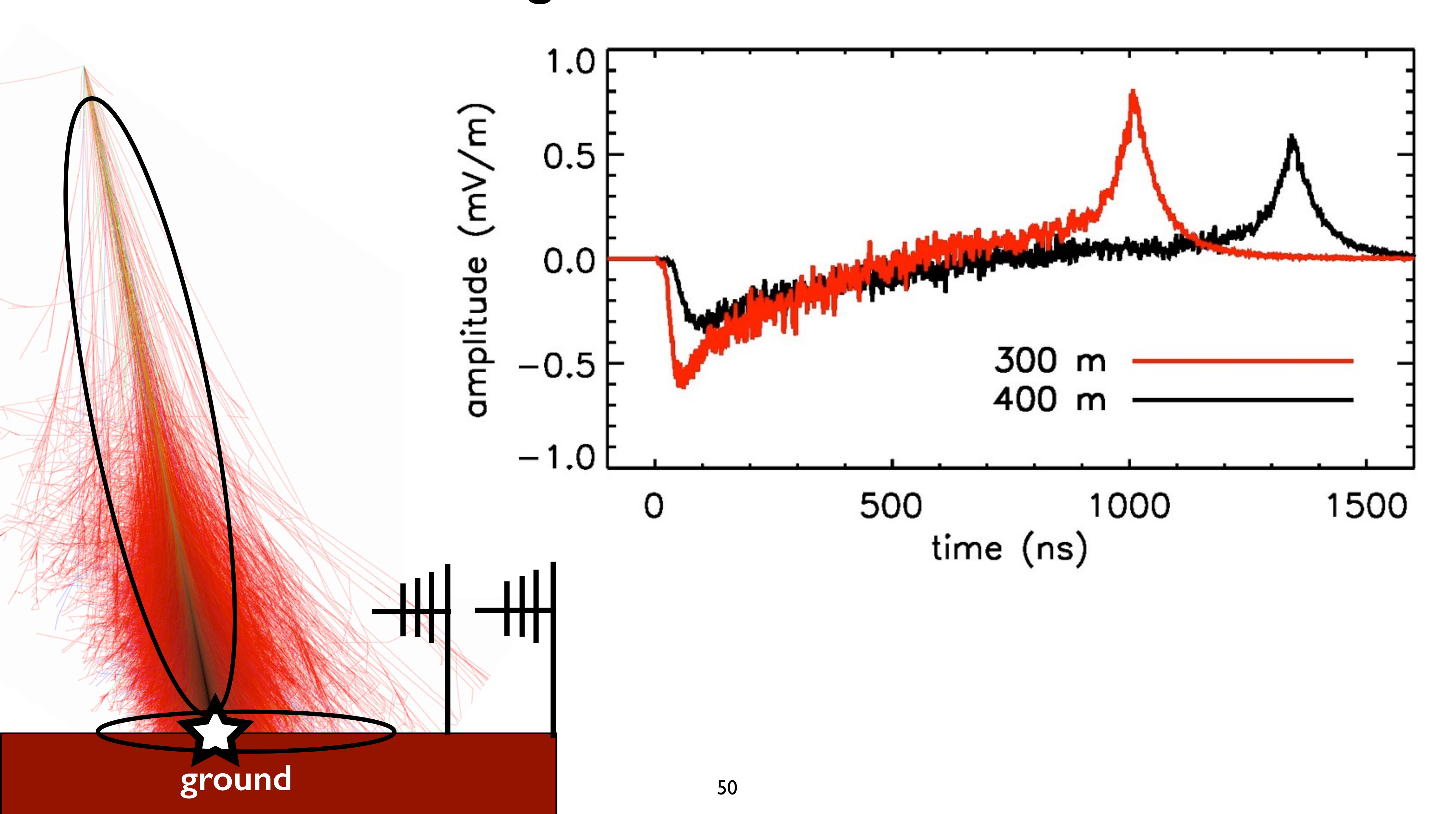
$$\vec{E}(\vec{x},t) = \frac{1}{4\pi\varepsilon_0 c} \frac{\partial}{\partial t} \sum_{i=1}^{N} q_i \left(\frac{\vec{\beta}_i - (\vec{n}_i \cdot \vec{\beta}_i) \vec{n}_i}{R_i (1 - \eta \vec{\beta}_i \cdot \vec{n}_i)} \right)_{\text{ret}}$$

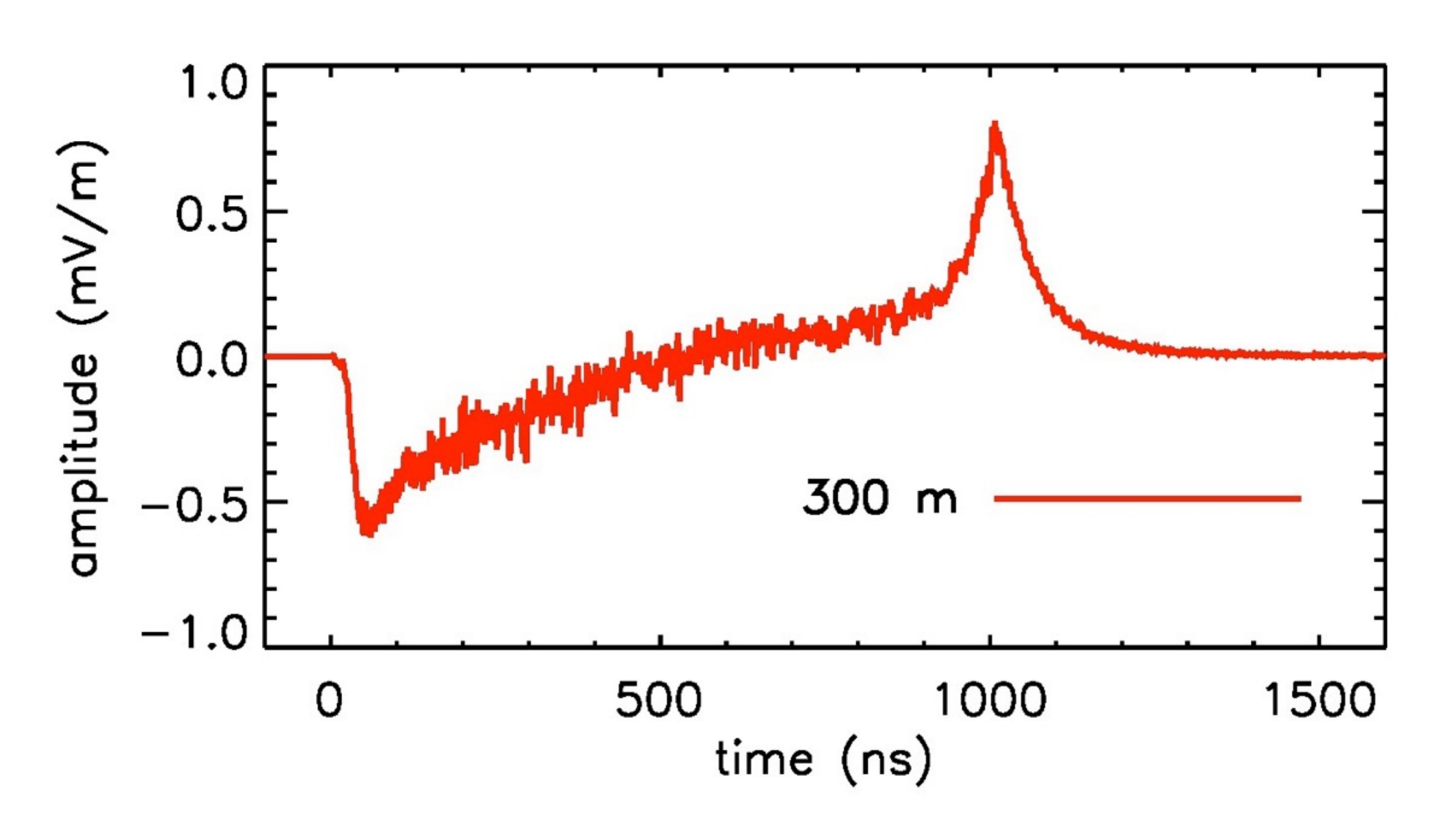
(jauge de Coulomb)





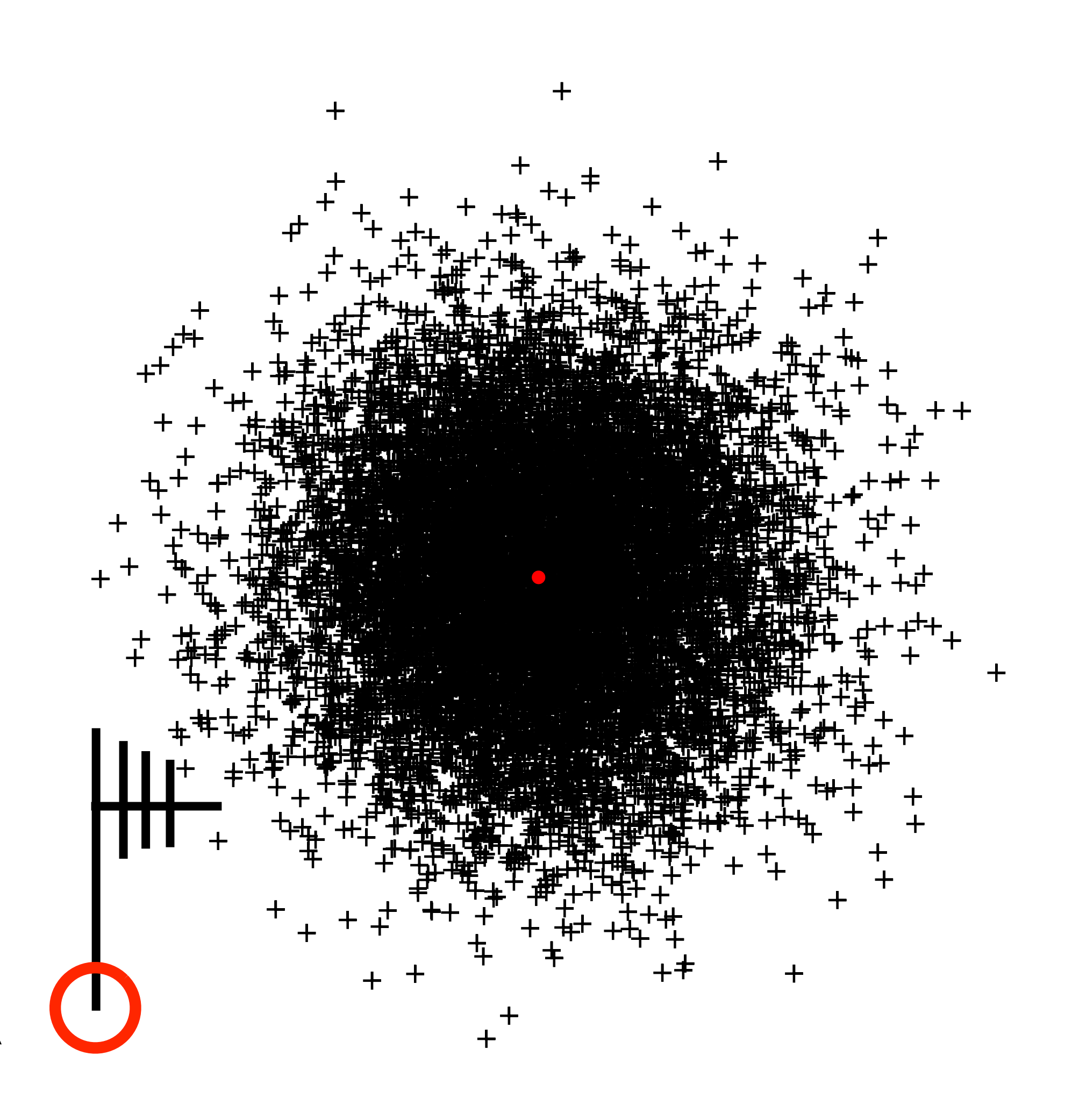


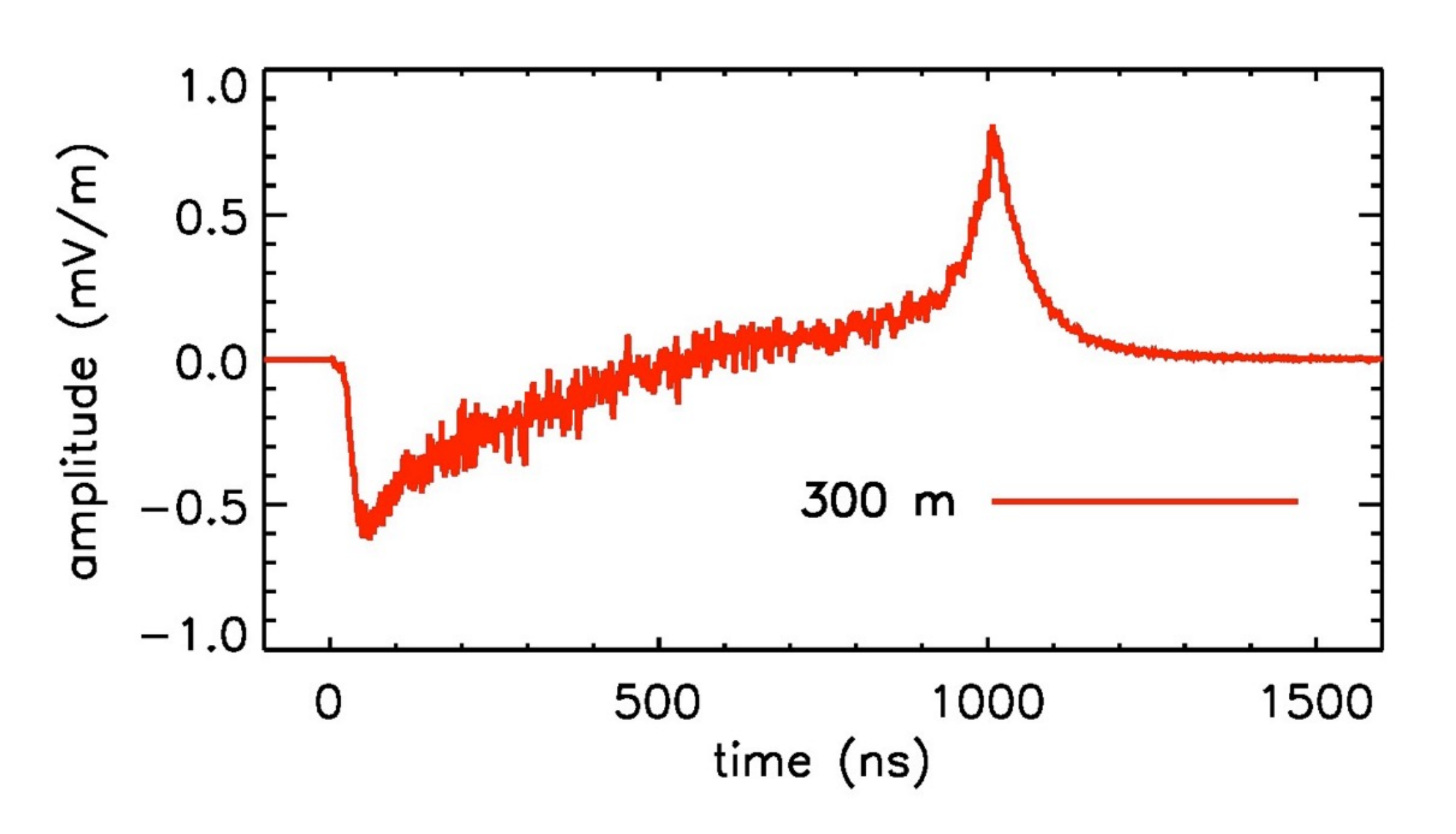




- modèle simple basé sur les particules au sol
- fonctionne pour des gerbes verticales et inclinées

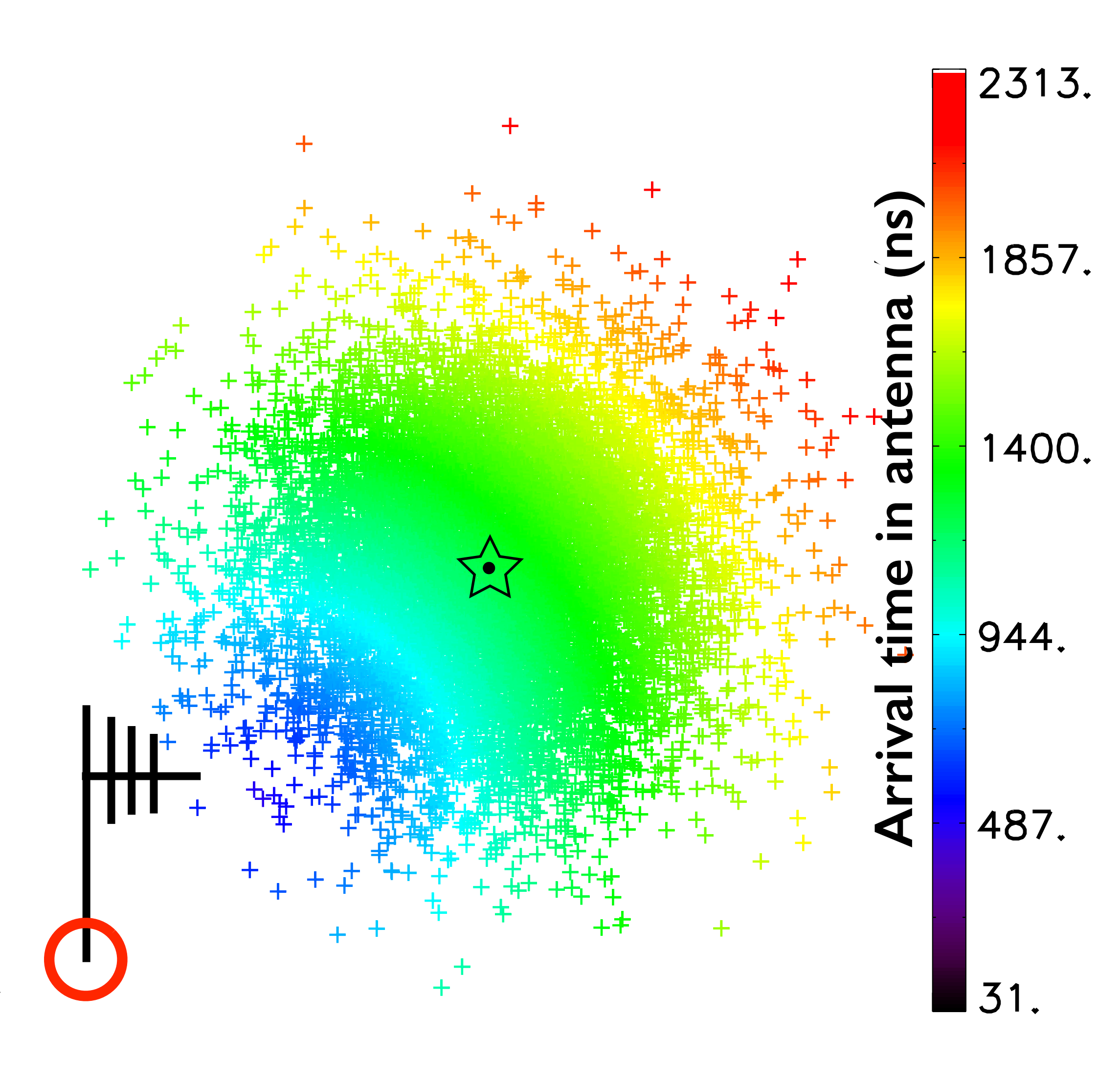
$$s(t = r/c) \propto \int_0^{2\pi} \mathcal{L}(\rho) \, d\phi$$

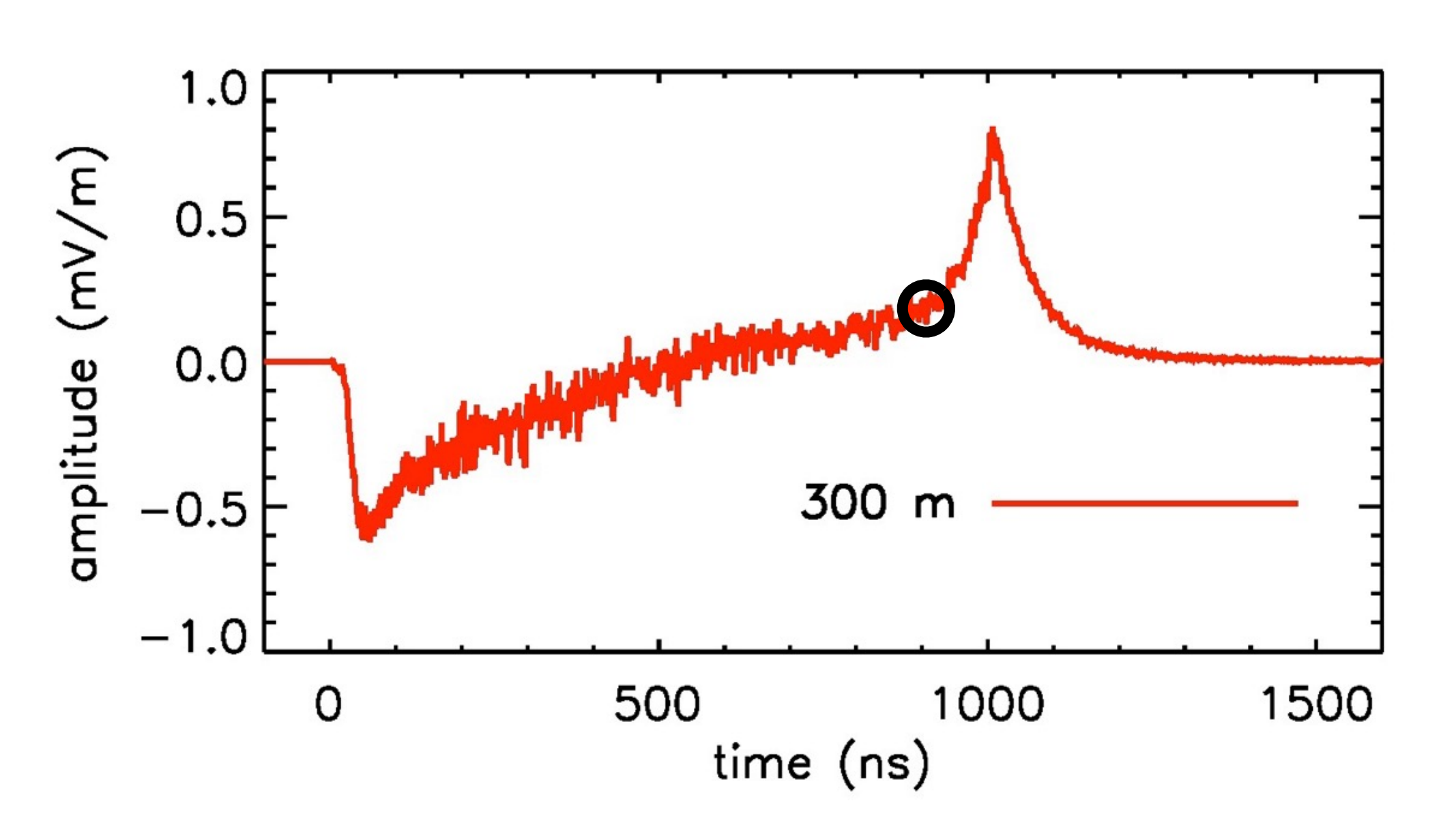




- modèle simple basé sur les particules au sol
- fonctionne pour des gerbes verticales et inclinées

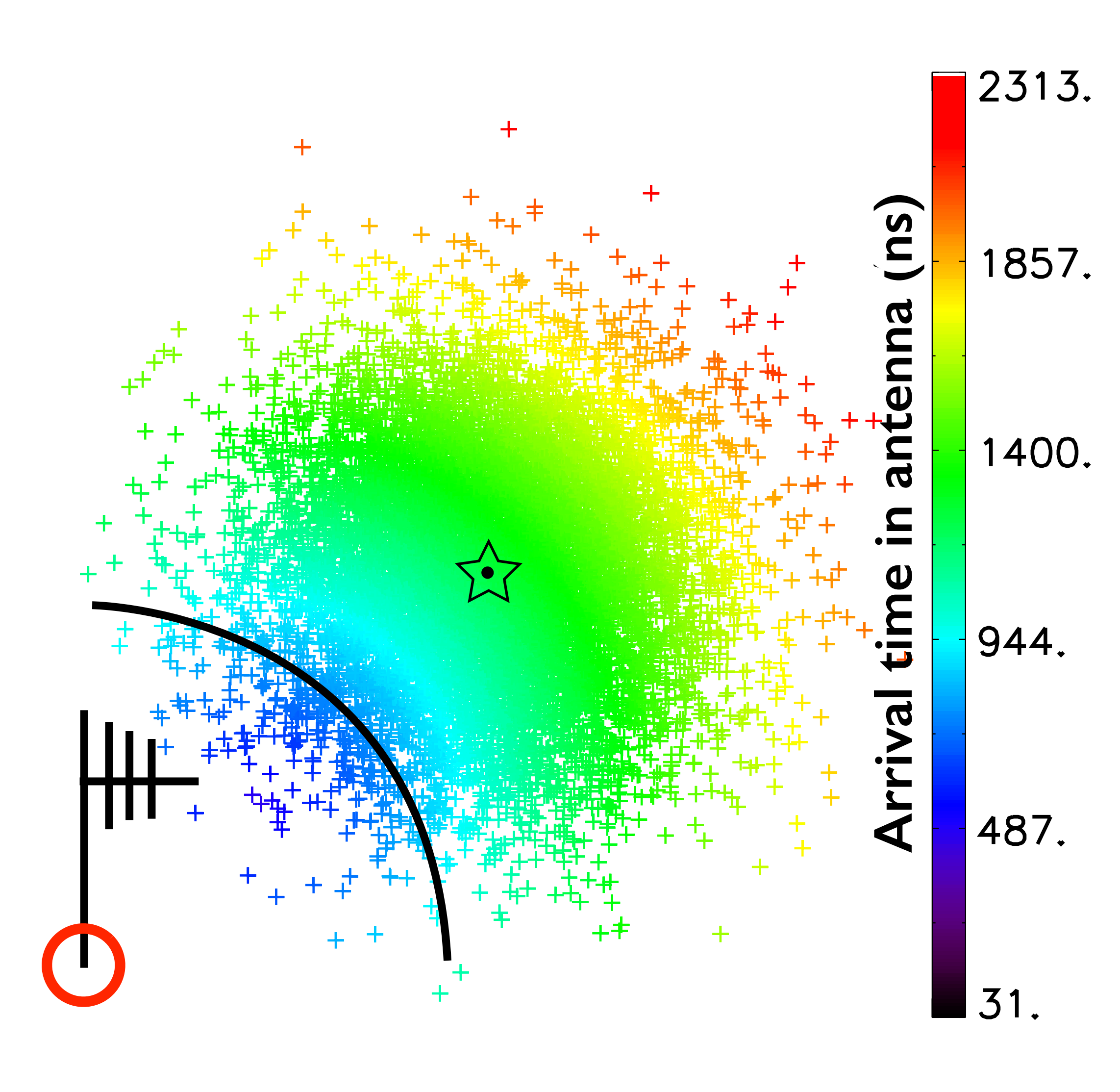
$$s(t = r/c) \propto \int_0^{2\pi} \mathcal{L}(\rho) d\phi$$

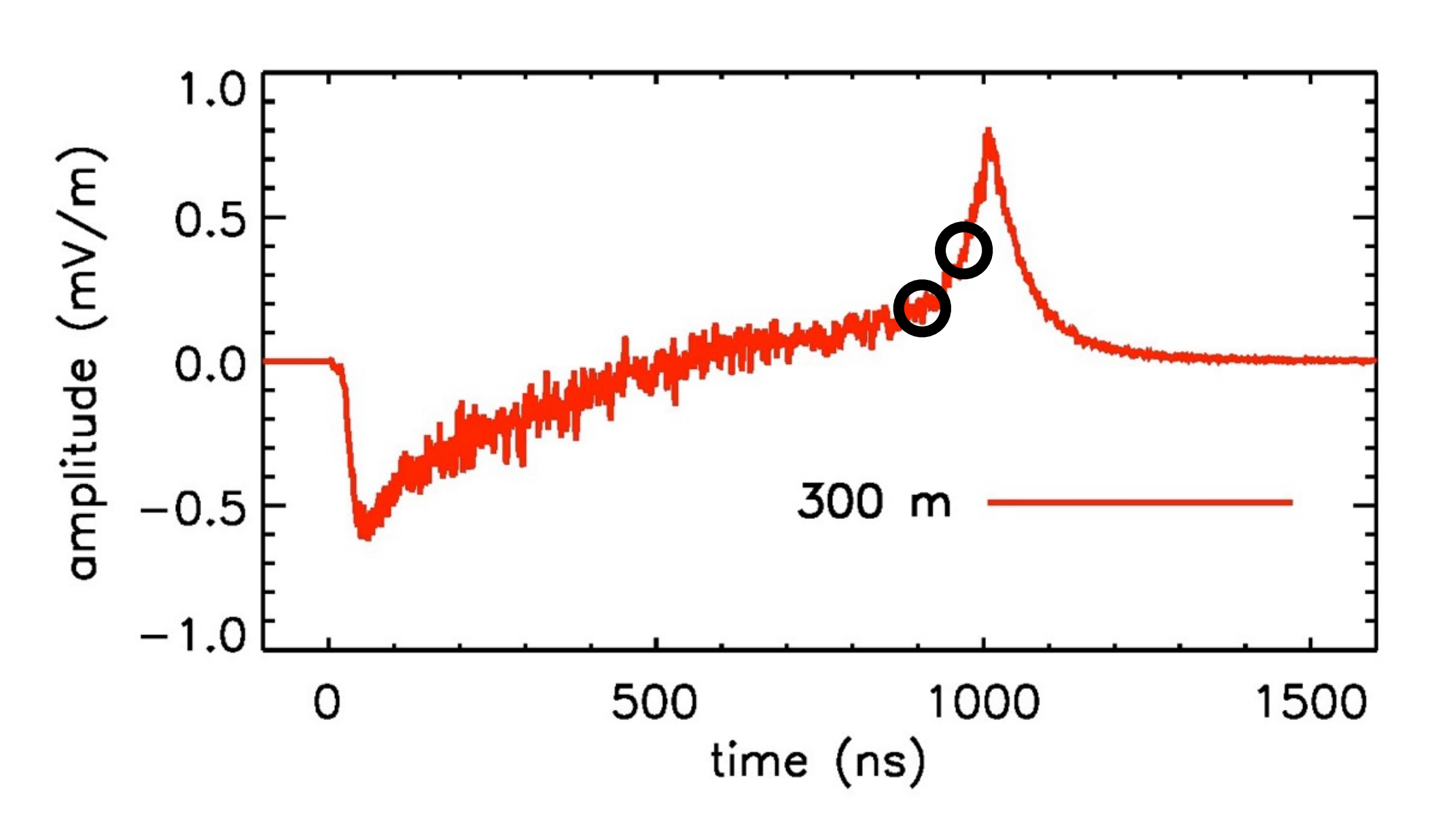




- modèle simple basé sur les particules au sol
- fonctionne pour des gerbes verticales et inclinées

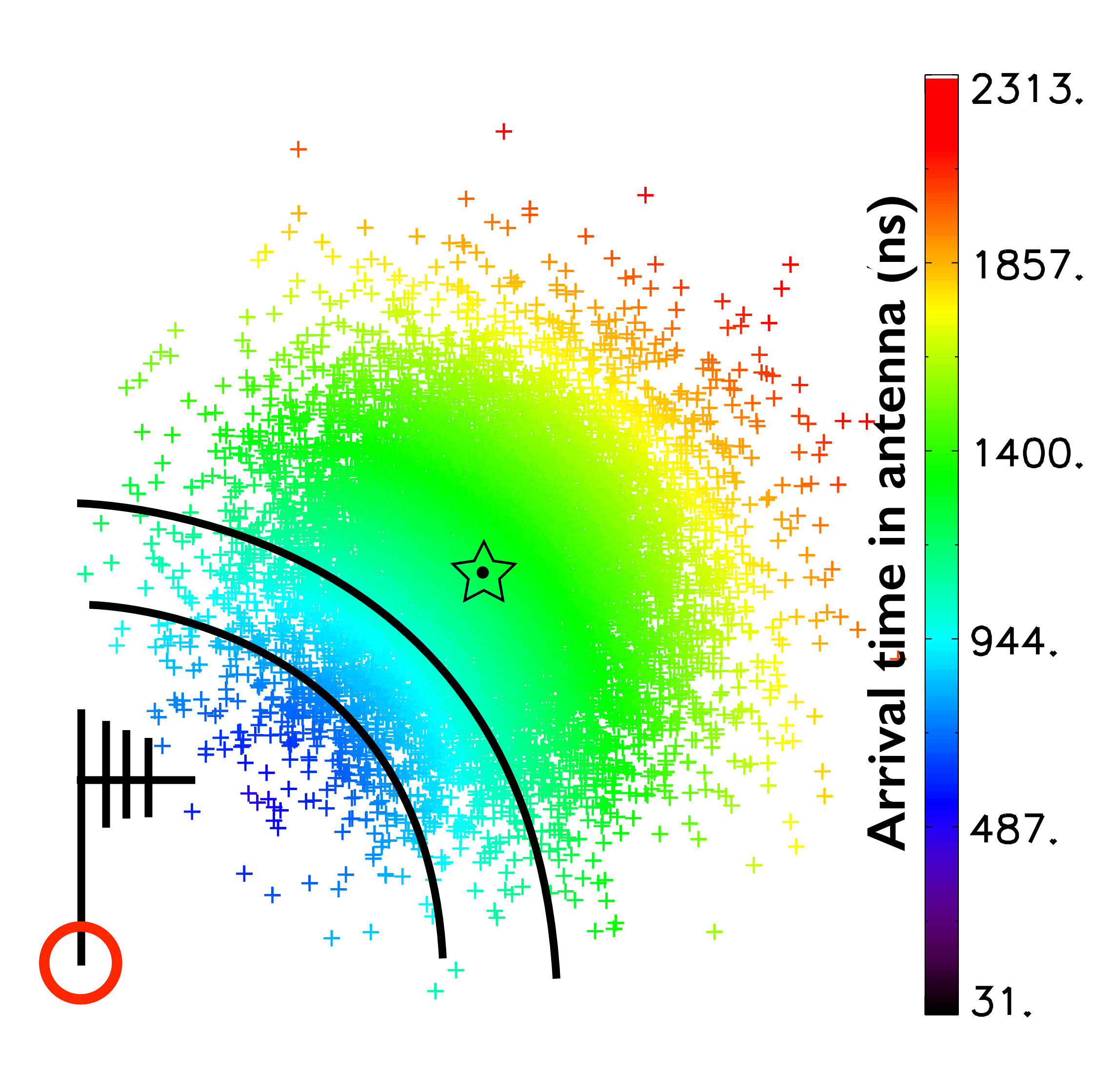
$$s(t = r/c) \propto \int_0^{2\pi} \mathcal{L}(\rho) d\phi$$

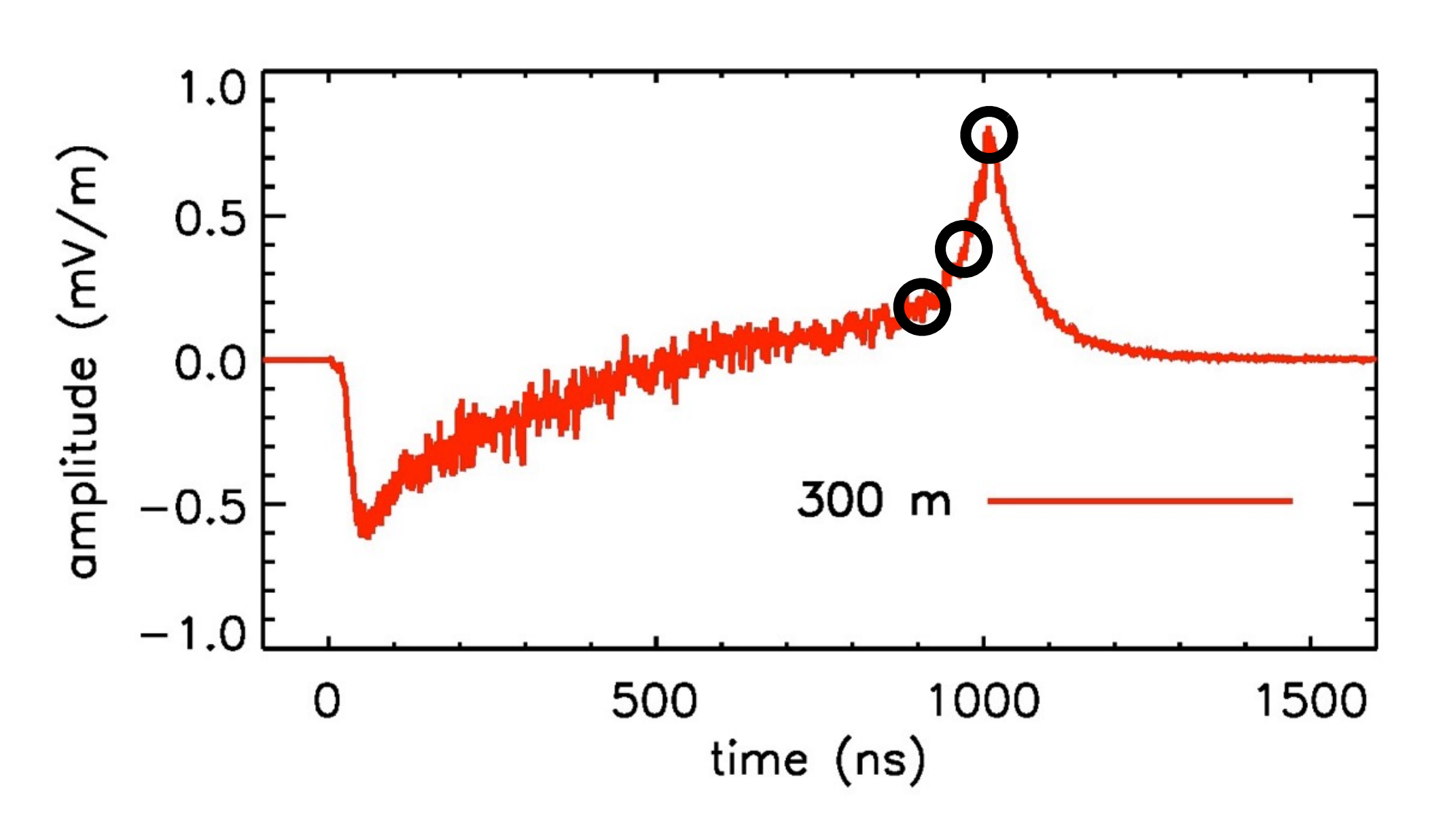




- modèle simple basé sur les particules au sol
- fonctionne pour des gerbes verticales et inclinées

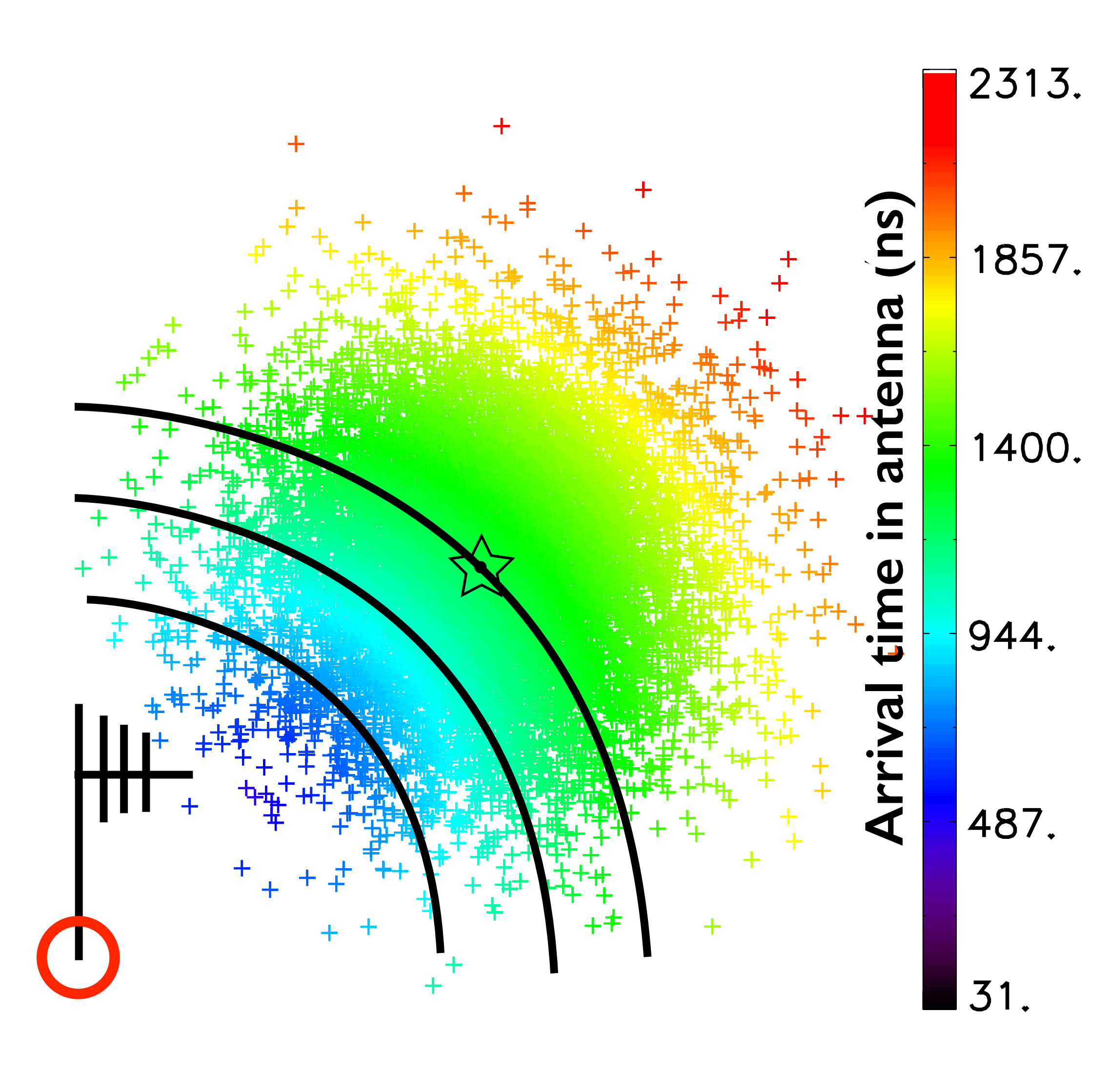
$$s(t = r/c) \propto \int_0^{2\pi} \mathcal{L}(\rho) d\phi$$

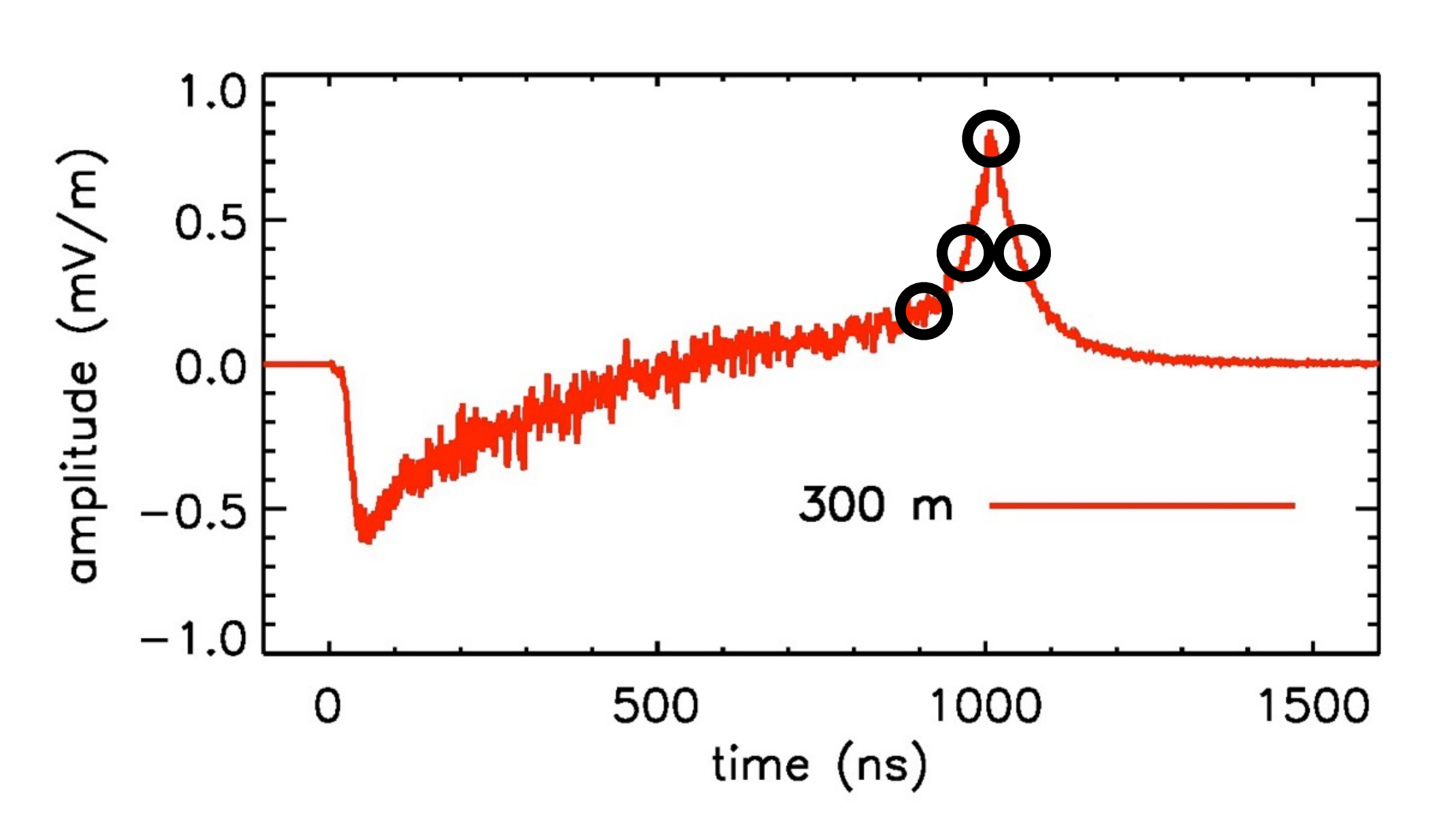




- modèle simple basé sur les particules au sol
- fonctionne pour des gerbes verticales et inclinées

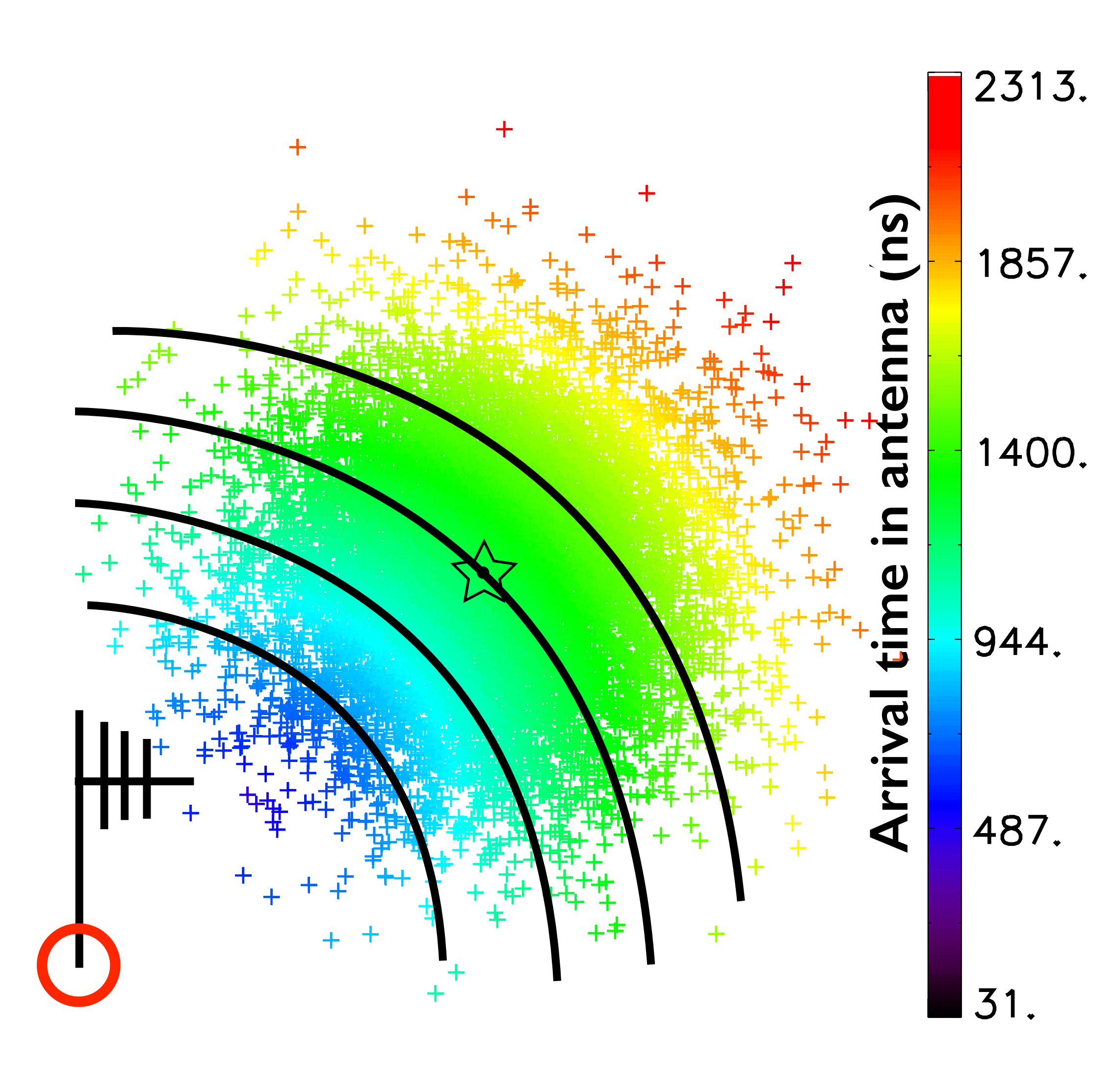
$$s(t = r/c) \propto \int_0^{2\pi} \mathcal{L}(\rho) \, d\phi$$

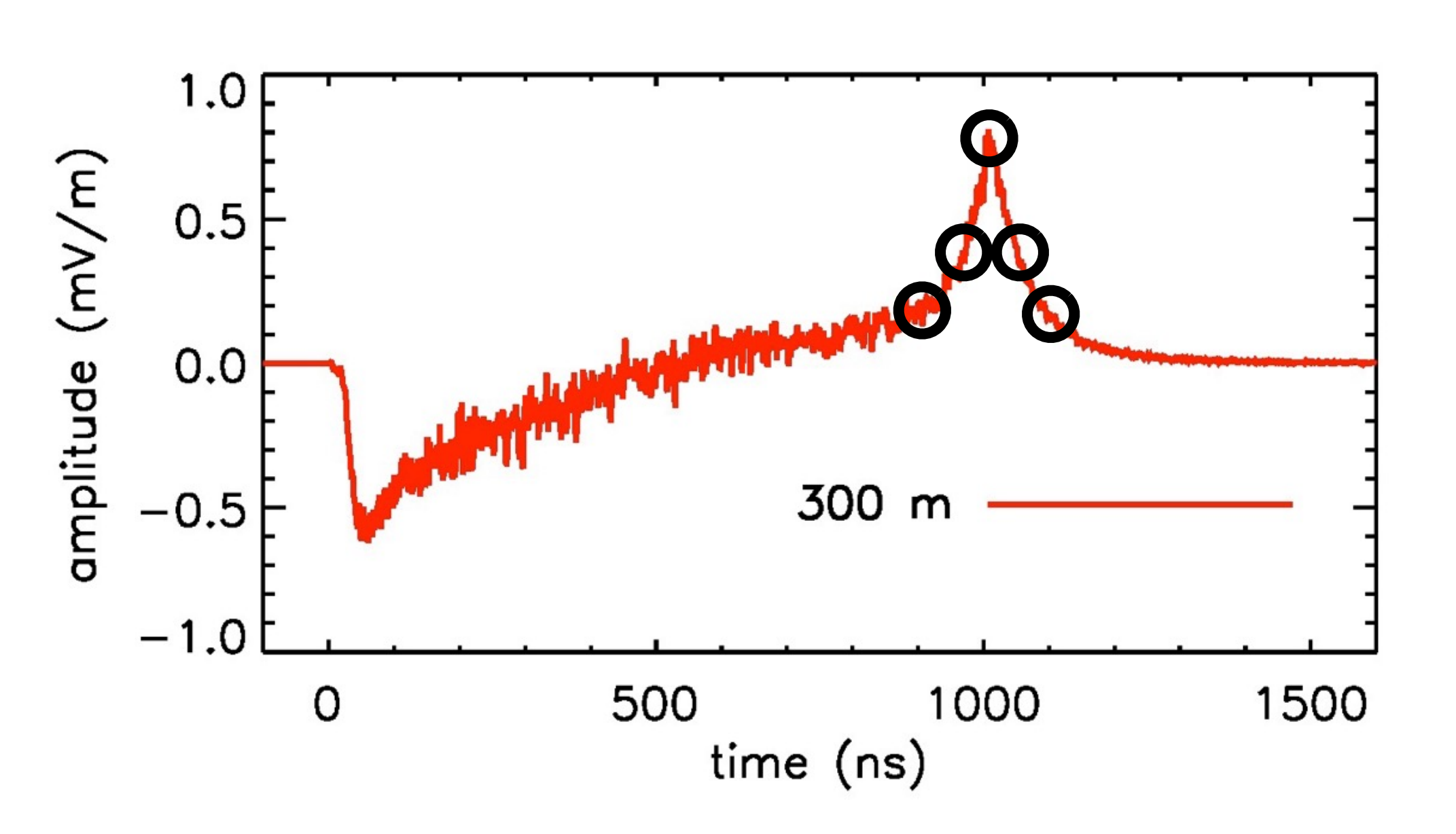




- modèle simple basé sur les particules au sol
- fonctionne pour des gerbes verticales et inclinées

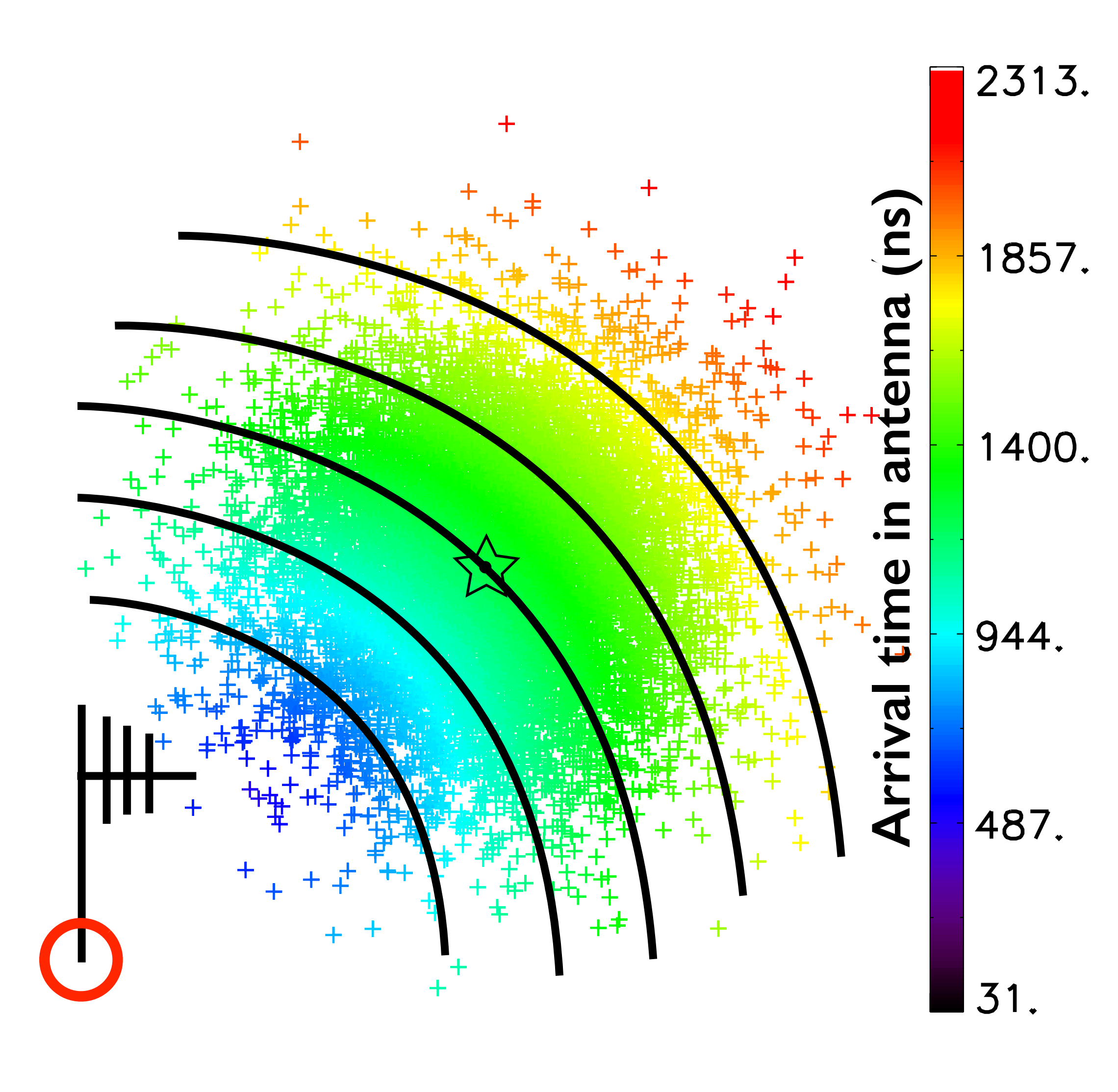
$$s(t = r/c) \propto \int_0^{2\pi} \mathcal{L}(\rho) d\phi$$





- modèle simple basé sur les particules au sol
- fonctionne pour des gerbes verticales et inclinées

$$s(t = r/c) \propto \int_0^{2\pi} \mathcal{L}(\rho) d\phi$$



Signal de mort subite : quelques propriétés

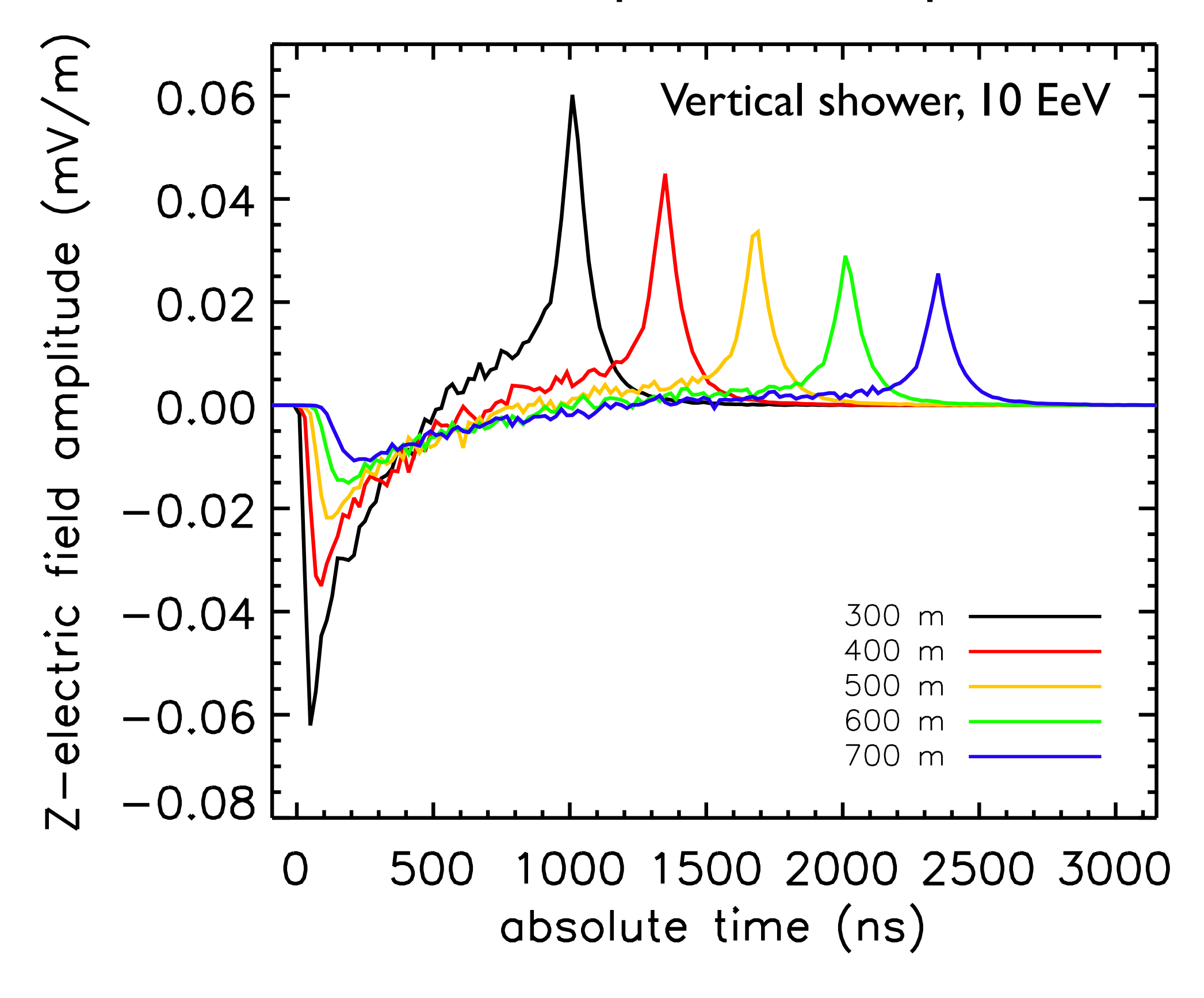
Amplitude : varie linéairement avec E

Polarisation: le champ est dans le plan \perp à la direction observateur/cœur, composante verticale

Signal de mort subite : quelques propriétés

Amplitude : varie linéairement avec E

Polarisation: le champ est dans le plan \perp à la direction observateur/cœur, composante verticale

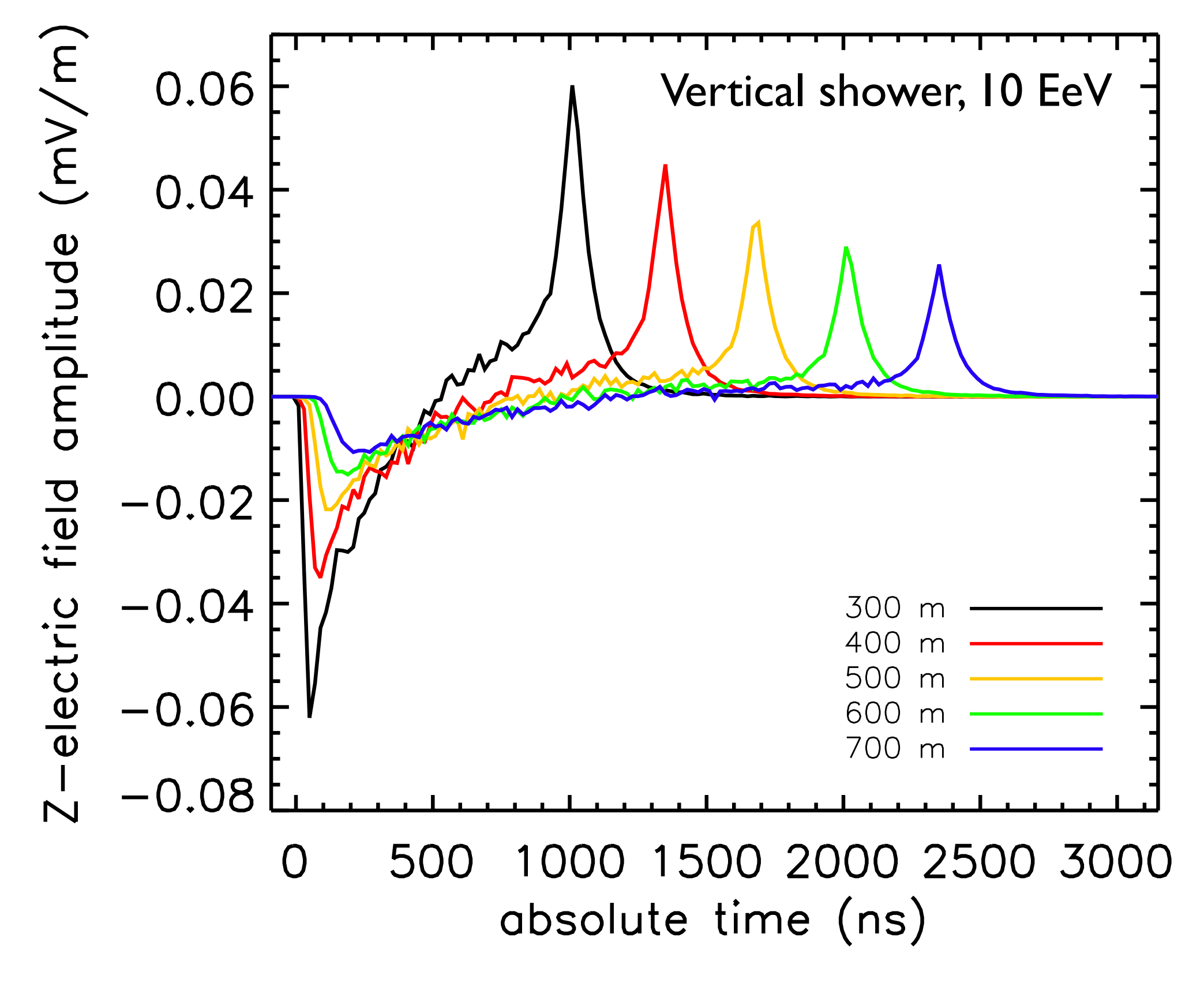


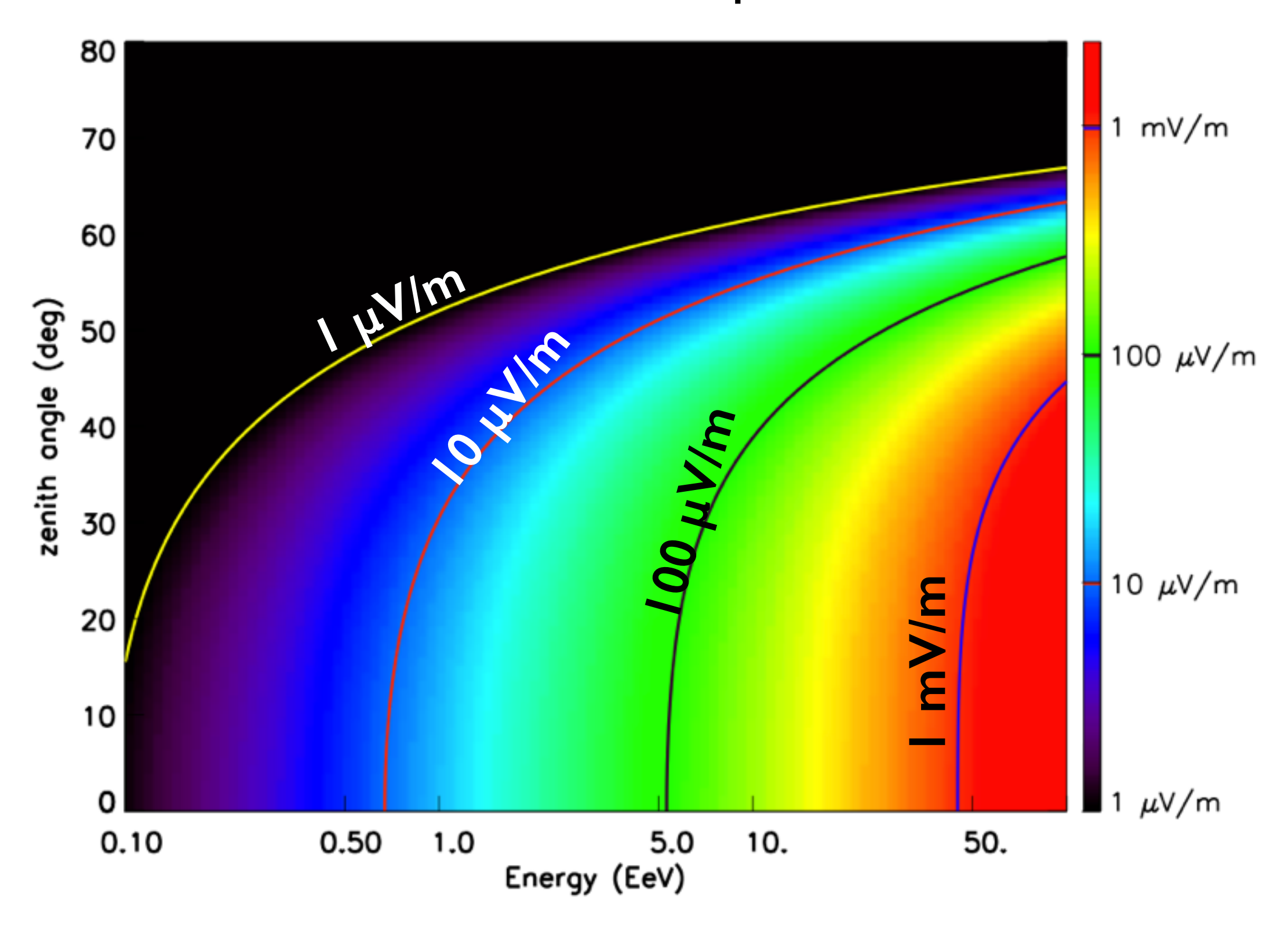
Le pulse "habituel" décroît ~ exponentiellement, l'amplitude du signal de mort subite décroît en 1/d_{core}

Signal de mort subite : quelques propriétés

Amplitude : varie linéairement avec E

Polarisation: le champ est dans le plan \perp à la direction observateur/cœur, composante verticale





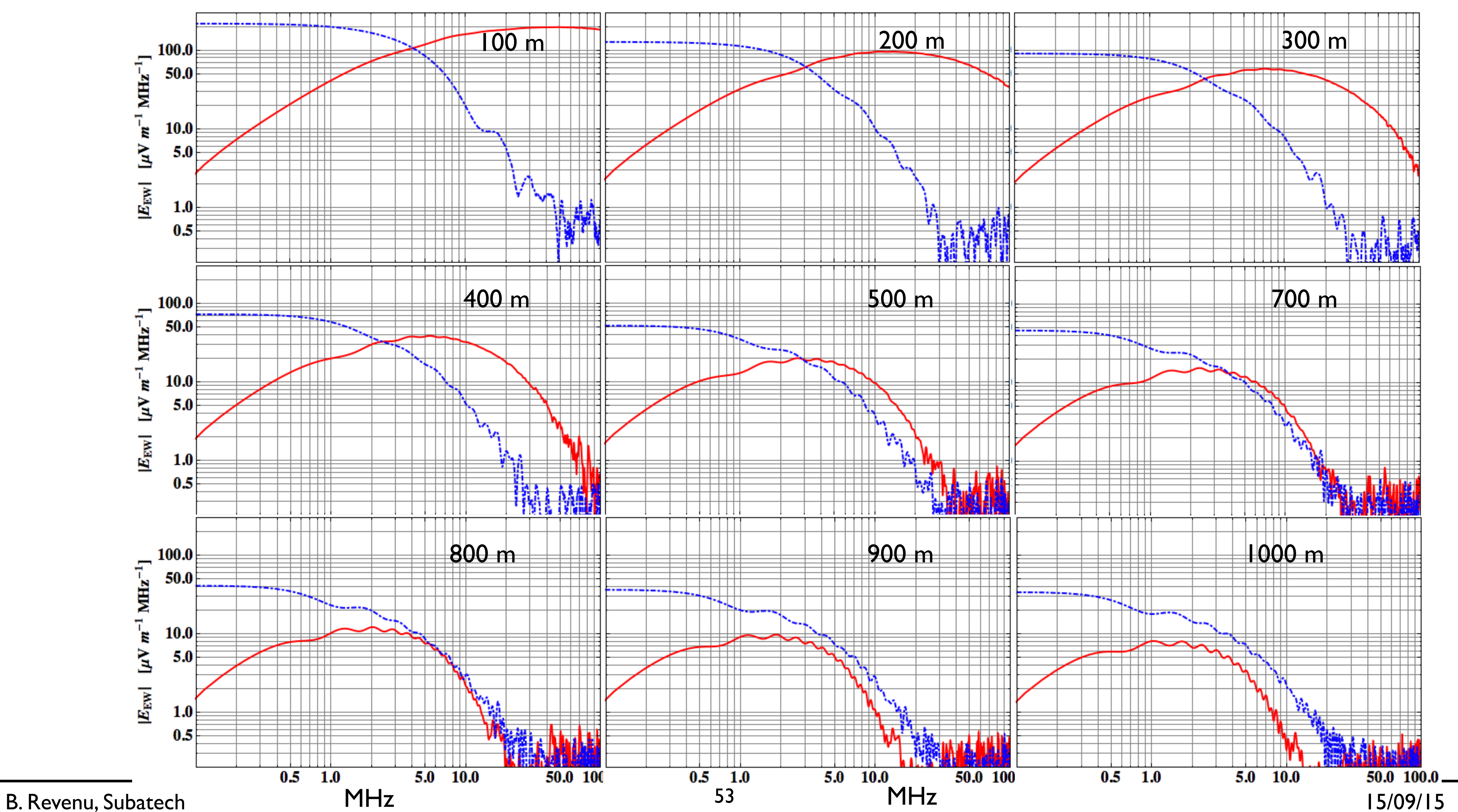
Le pulse "habituel" décroît ~ exponentiellement, l'amplitude du signal de mort subite décroît en 1/d_{core}

Amplitude attendue en fonction des caractéristiques du primaire (angle zénithal, énergie).

contribution au sol développement dans l'air

Signal de mort subite : spectre

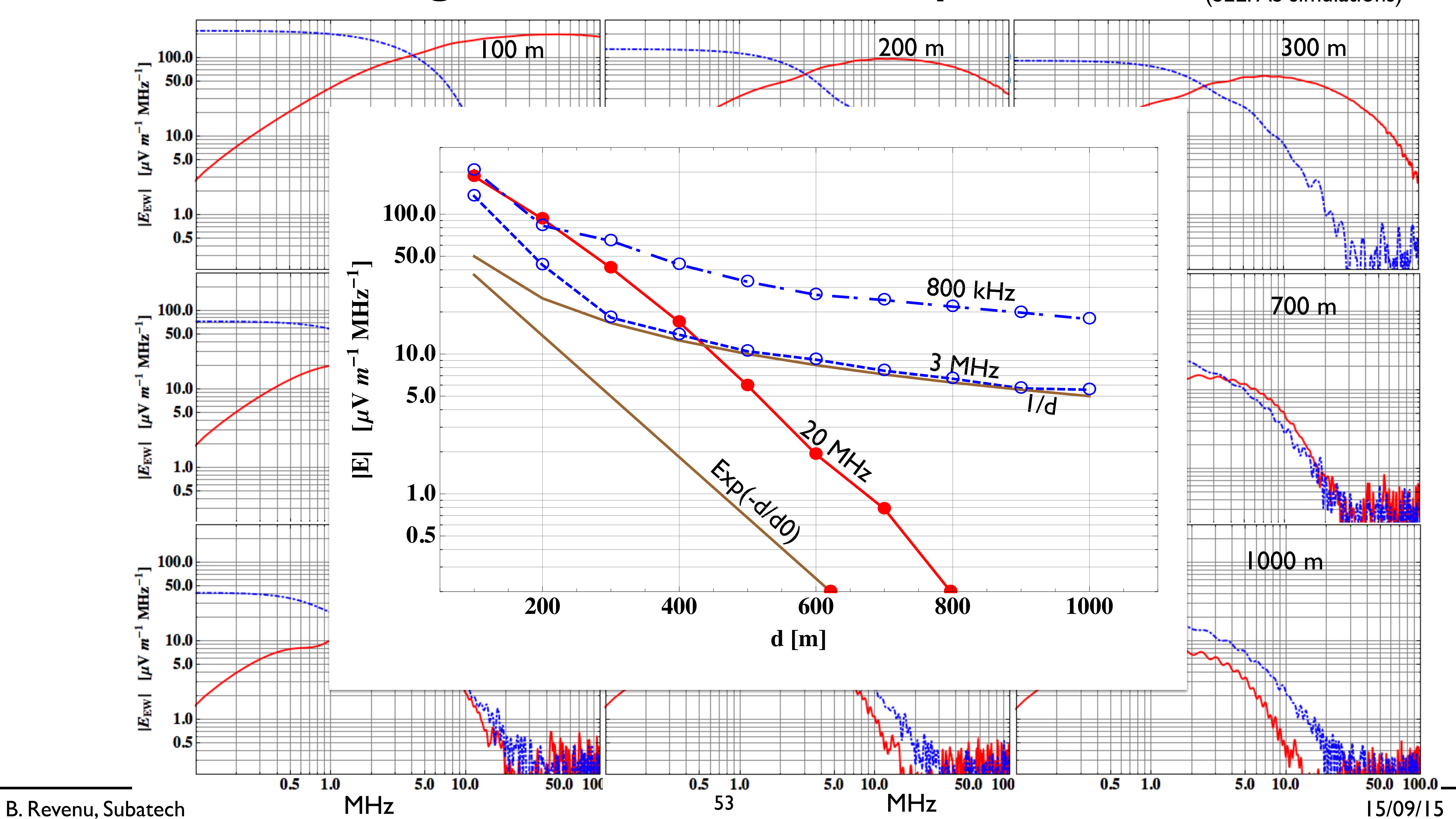
(SELFAS simulations)

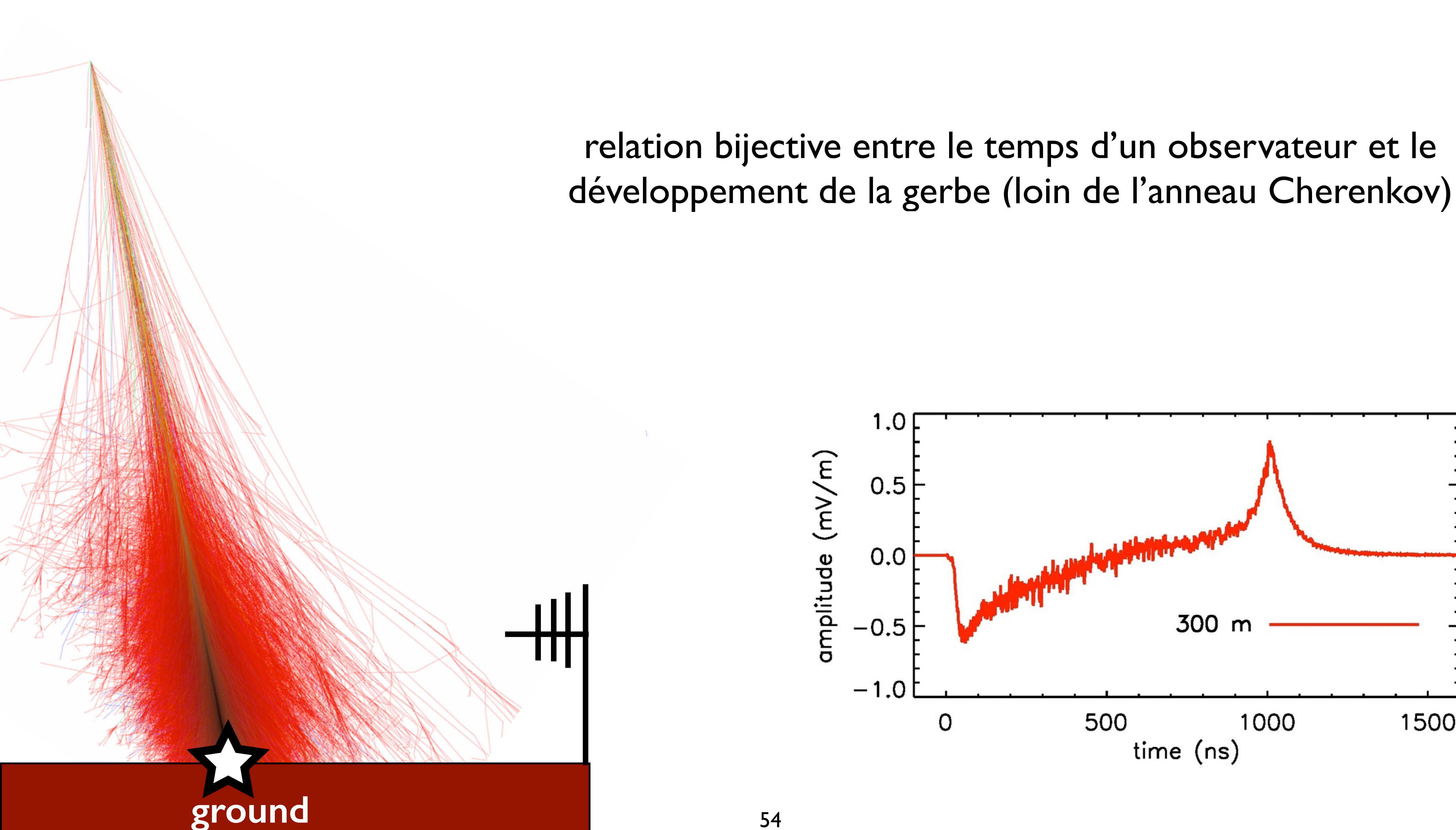


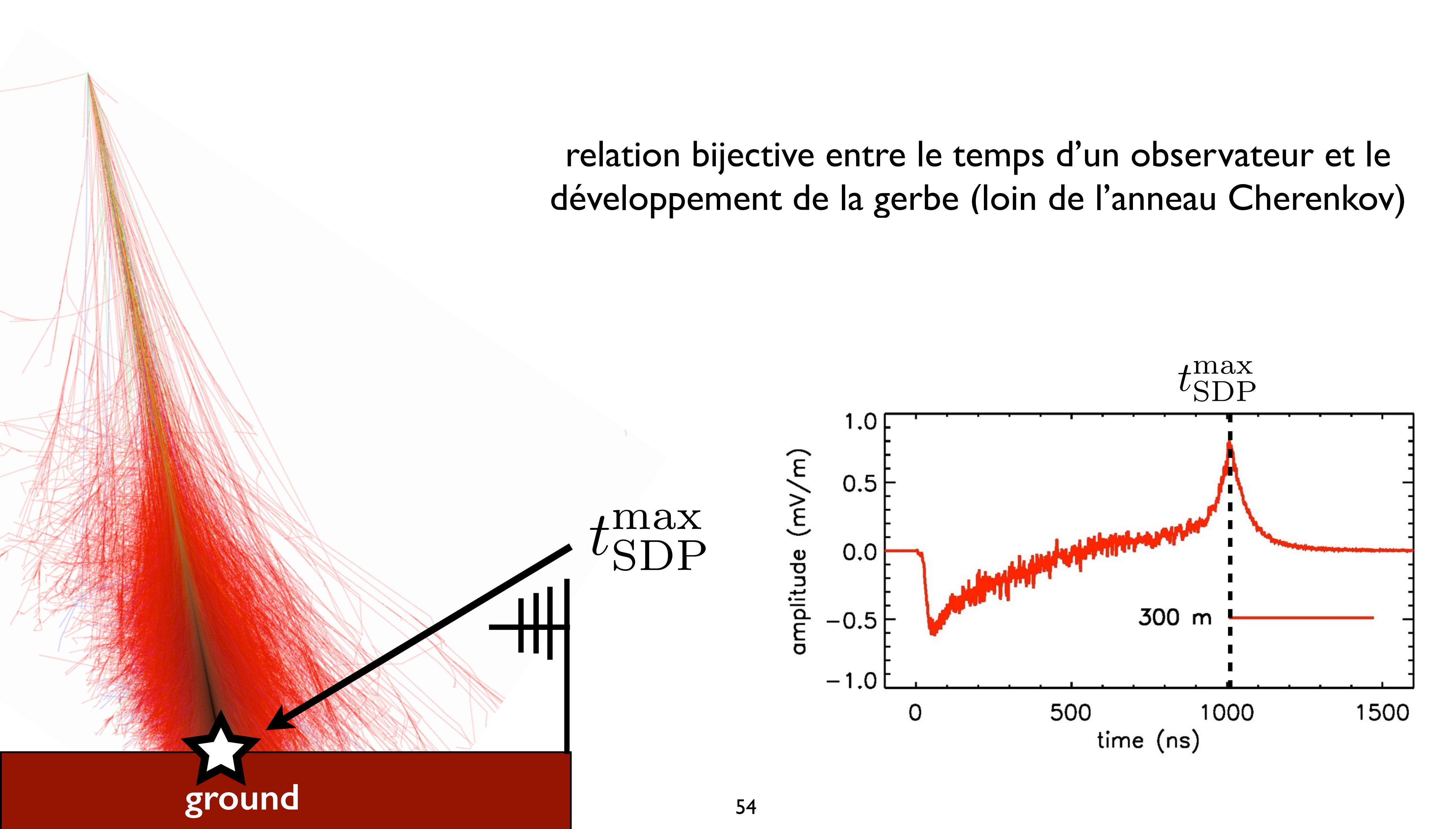
contribution au sol développement dans l'air

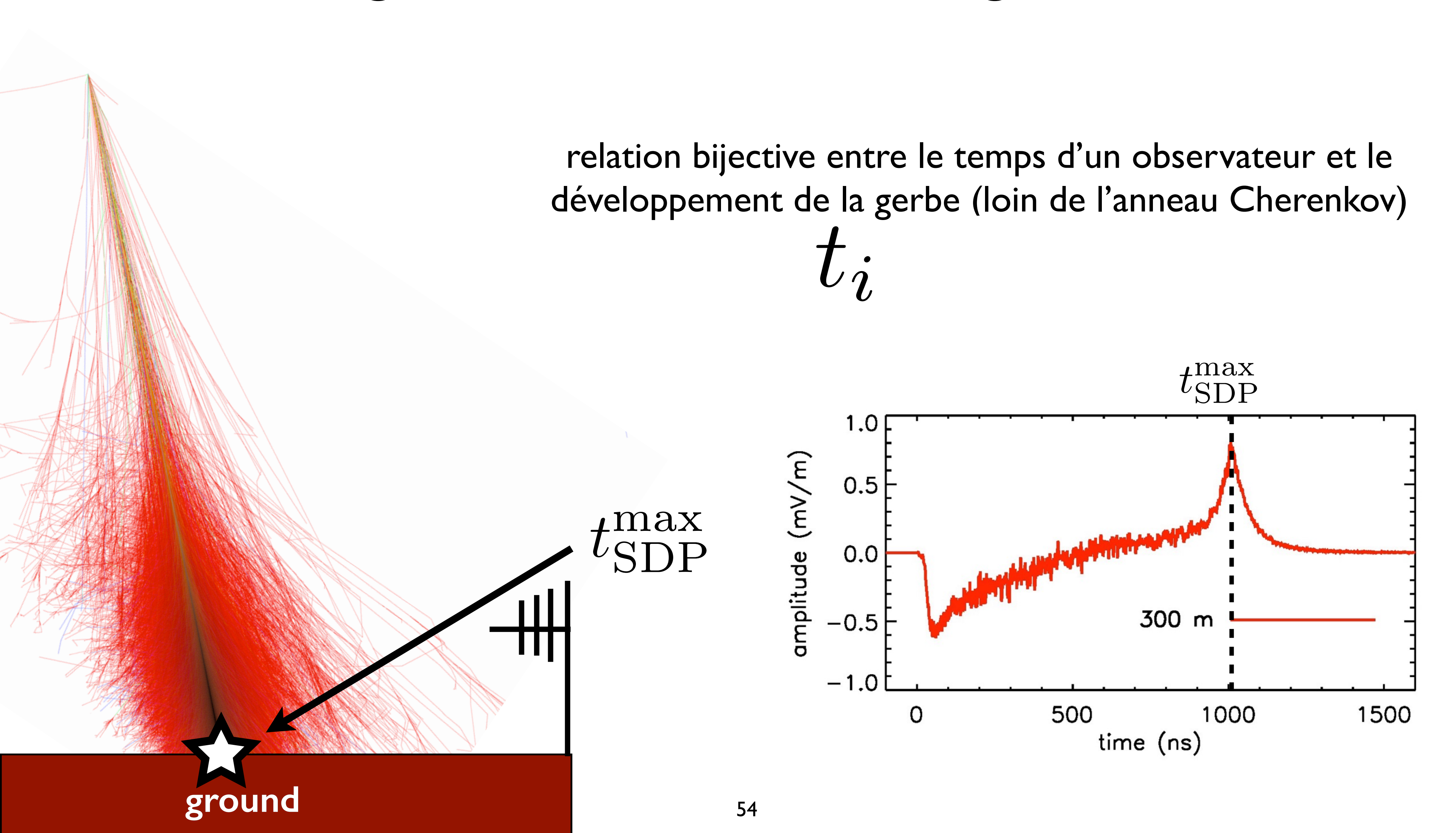
Signal de mort subite : spectre

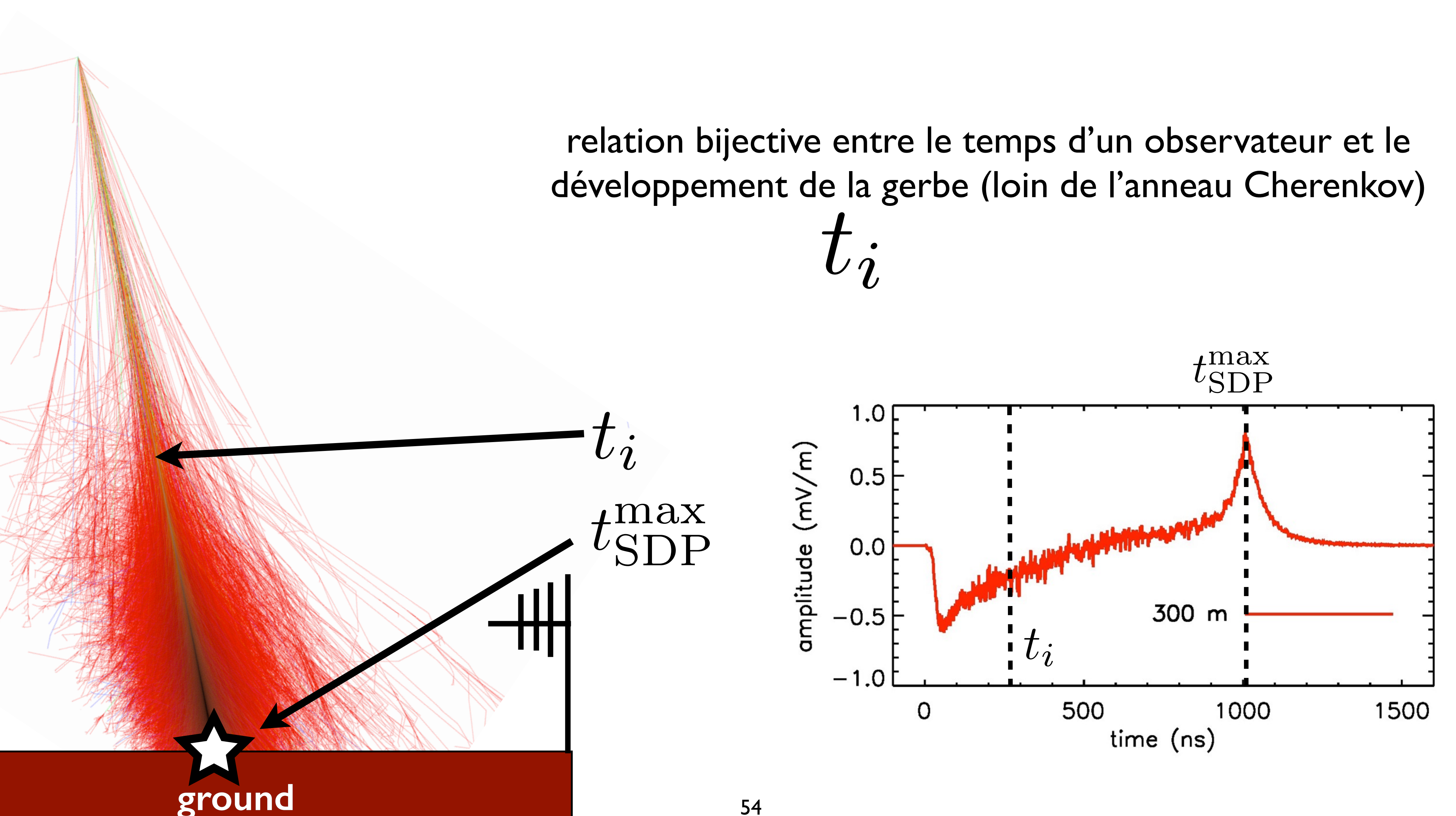
(SELFAS simulations)

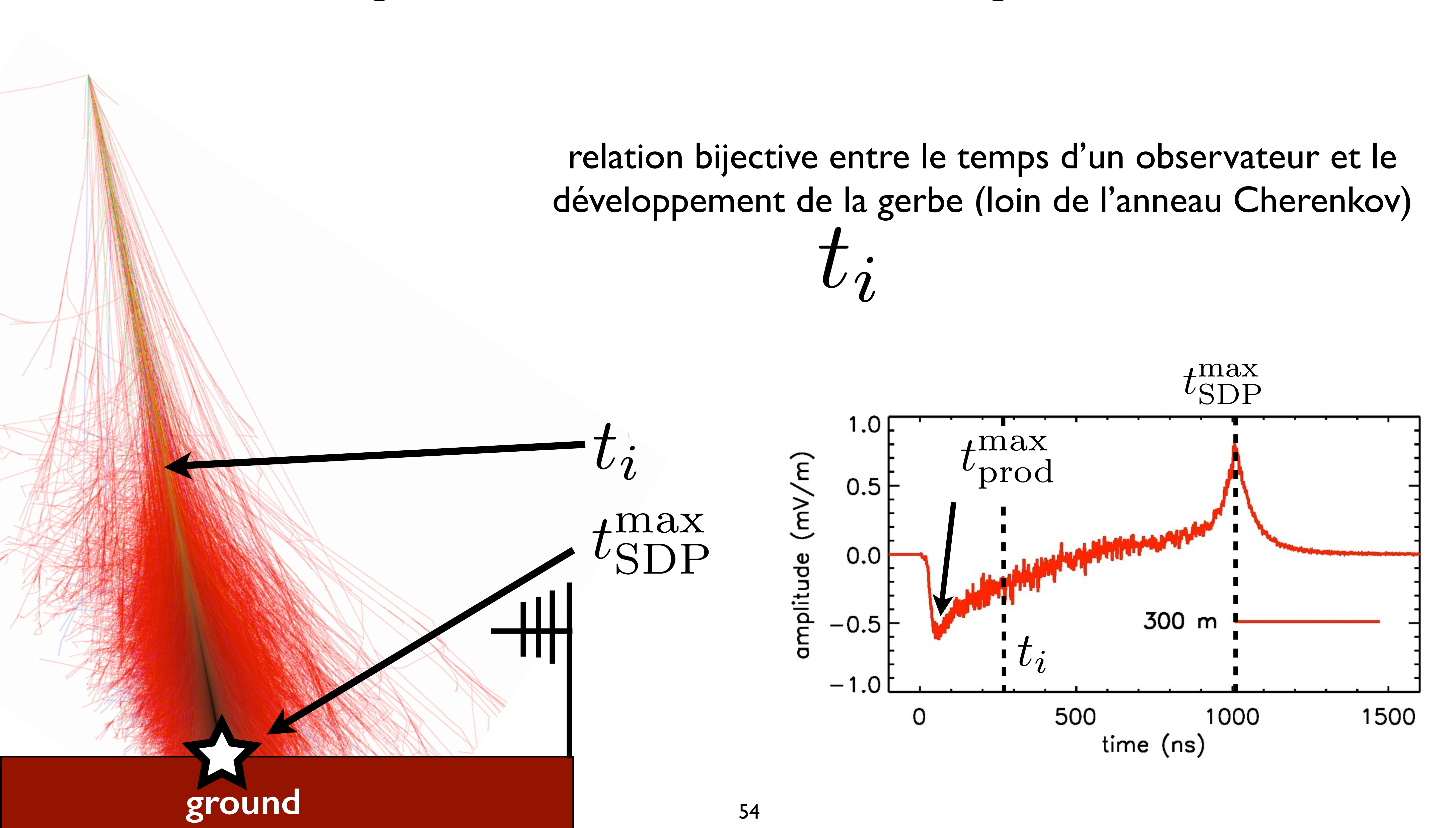


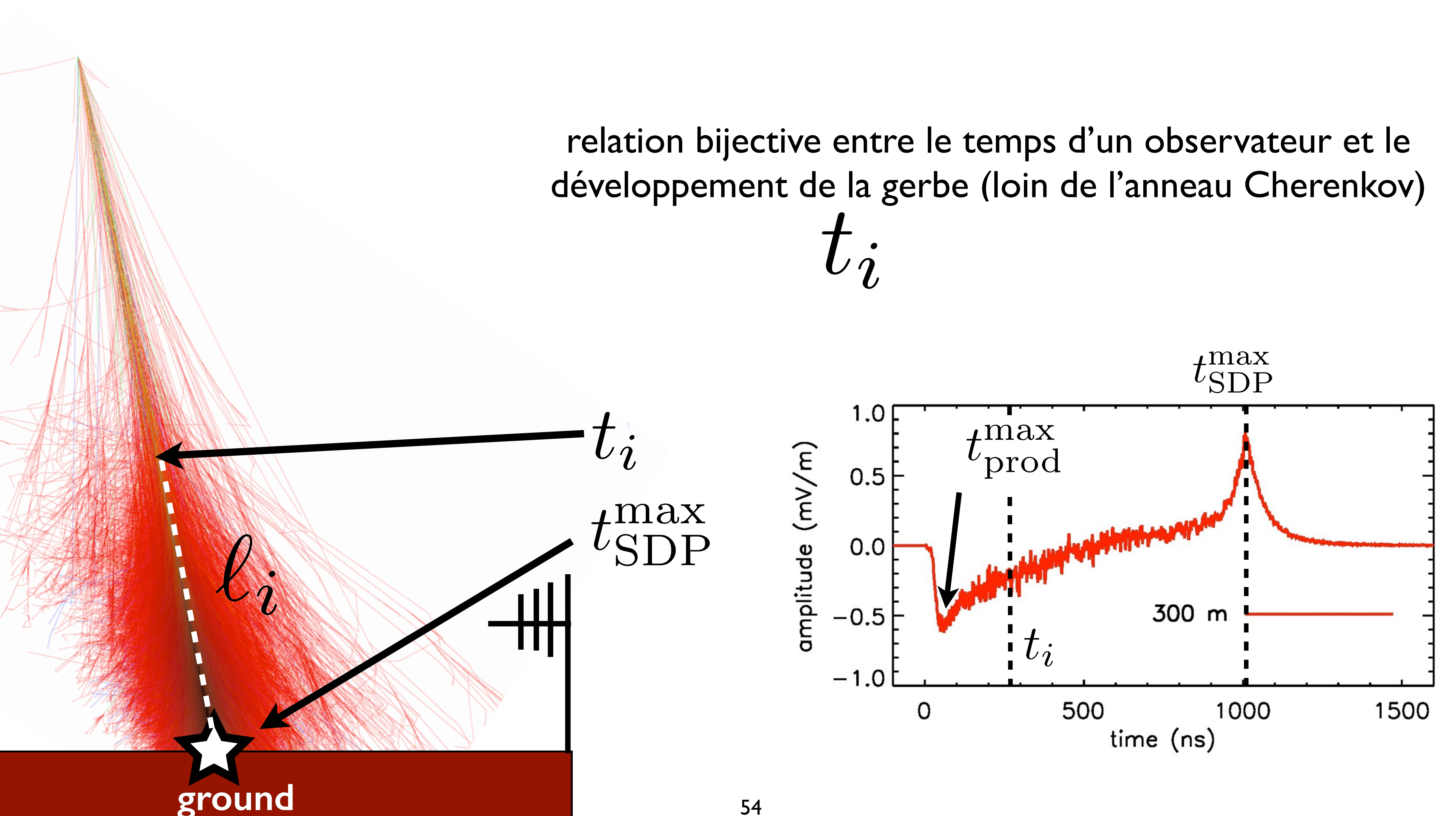


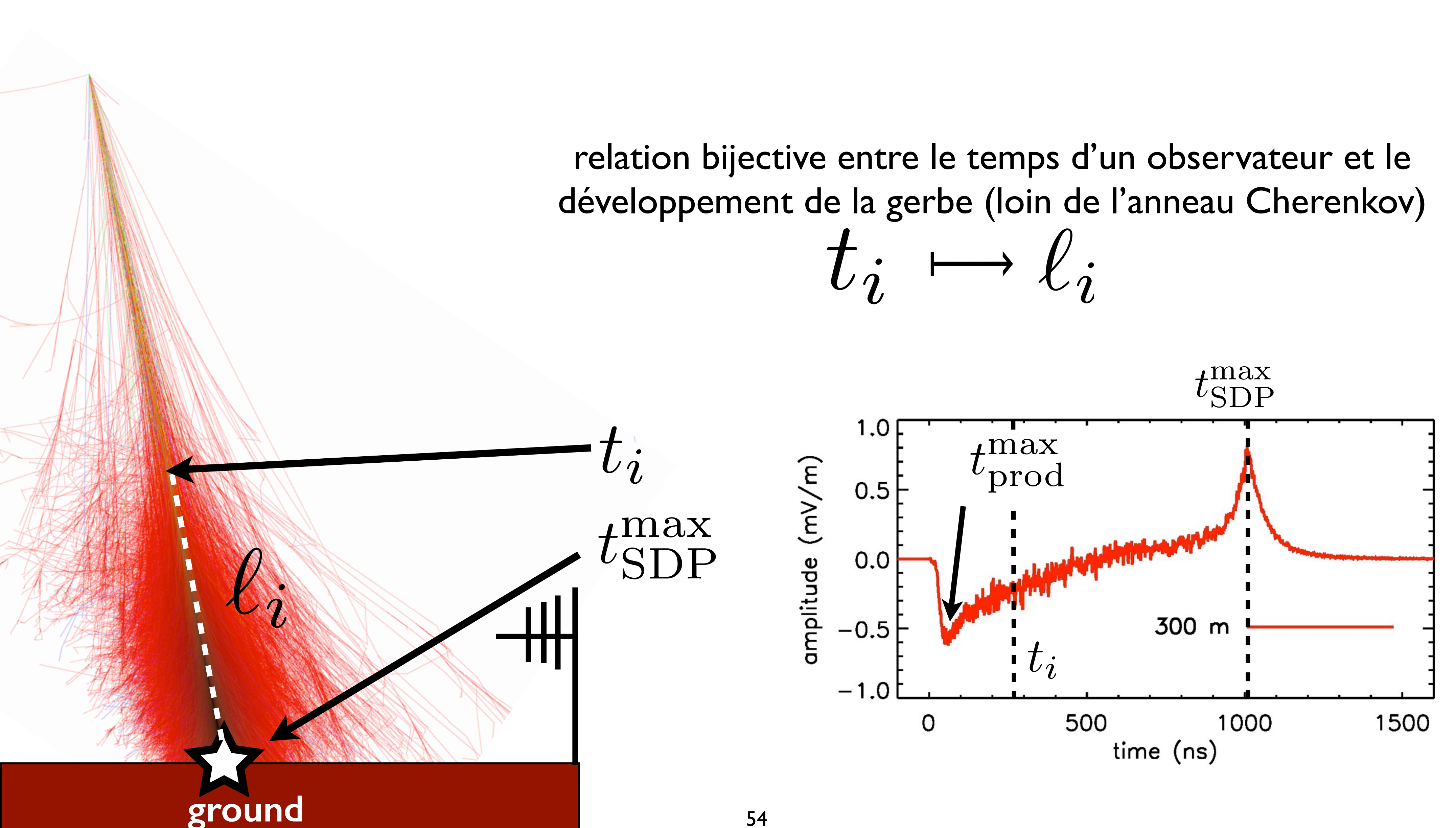


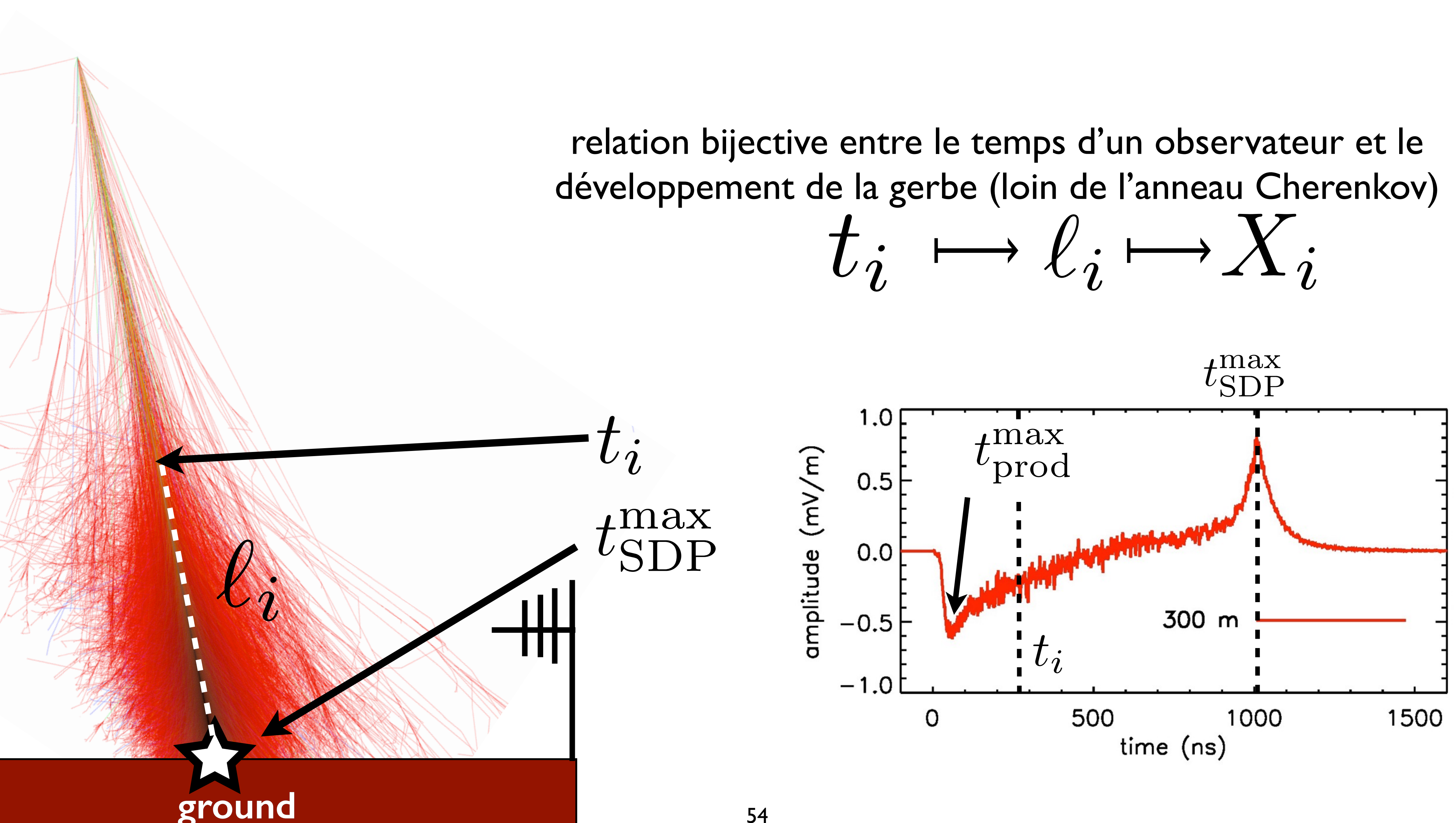


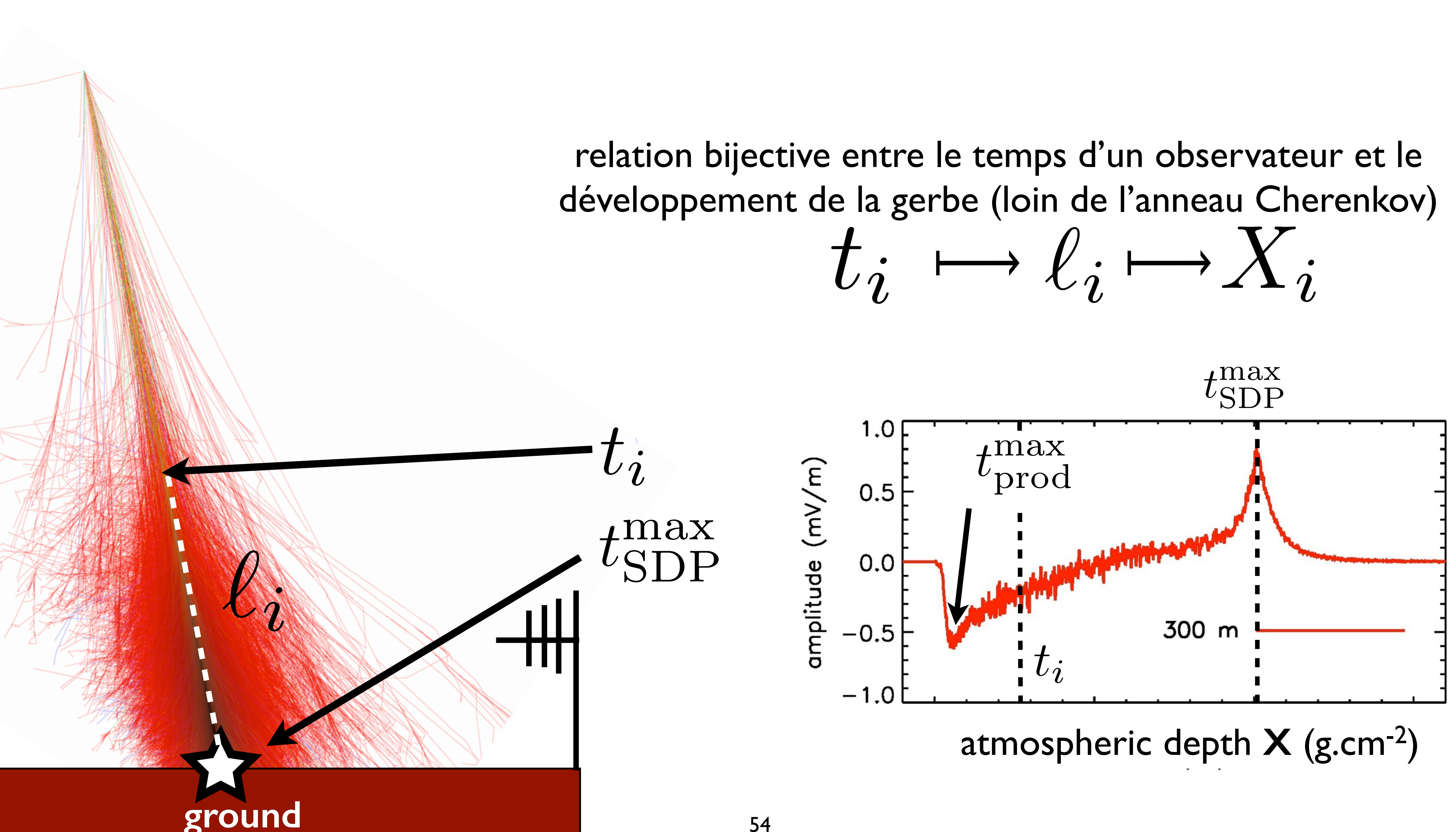


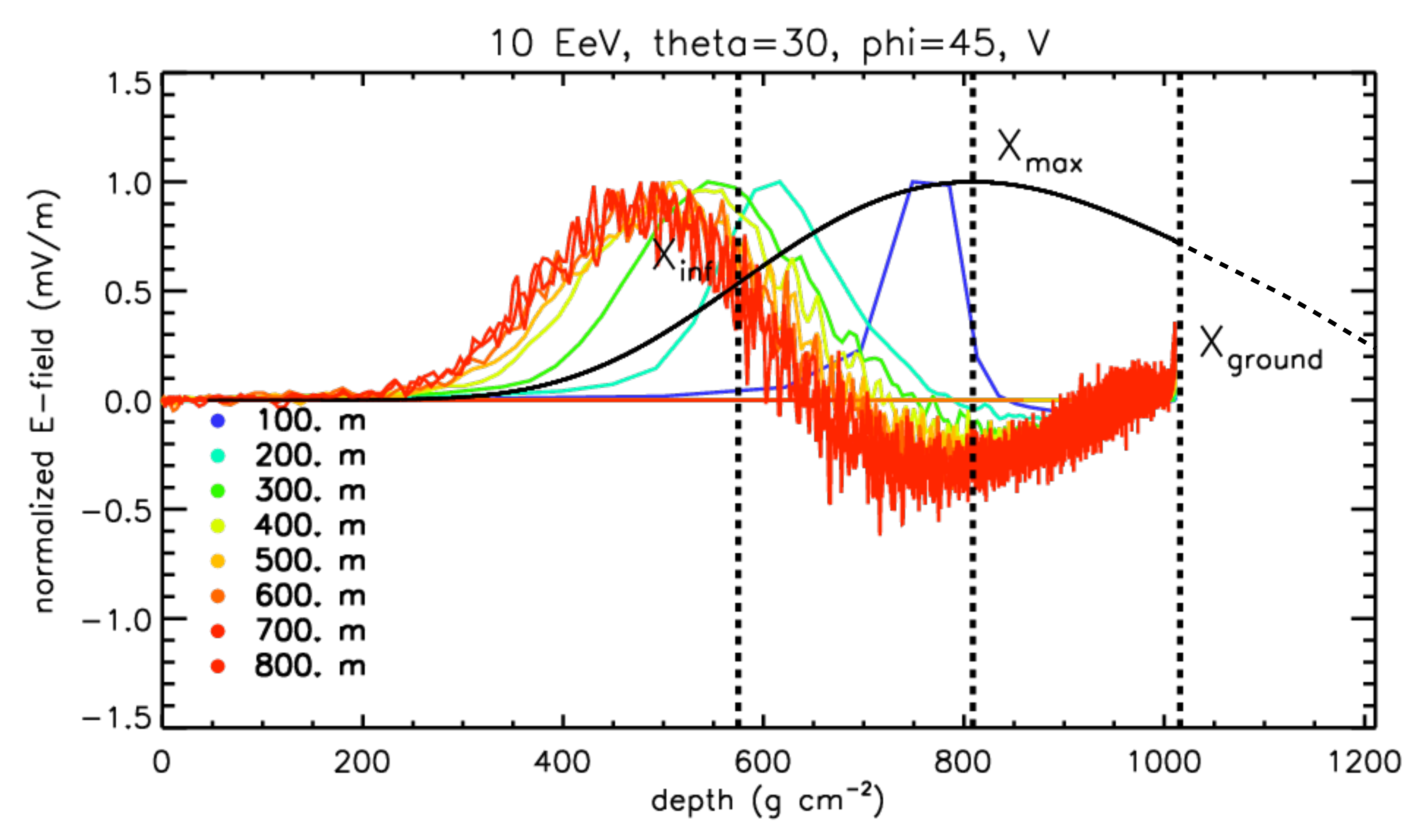




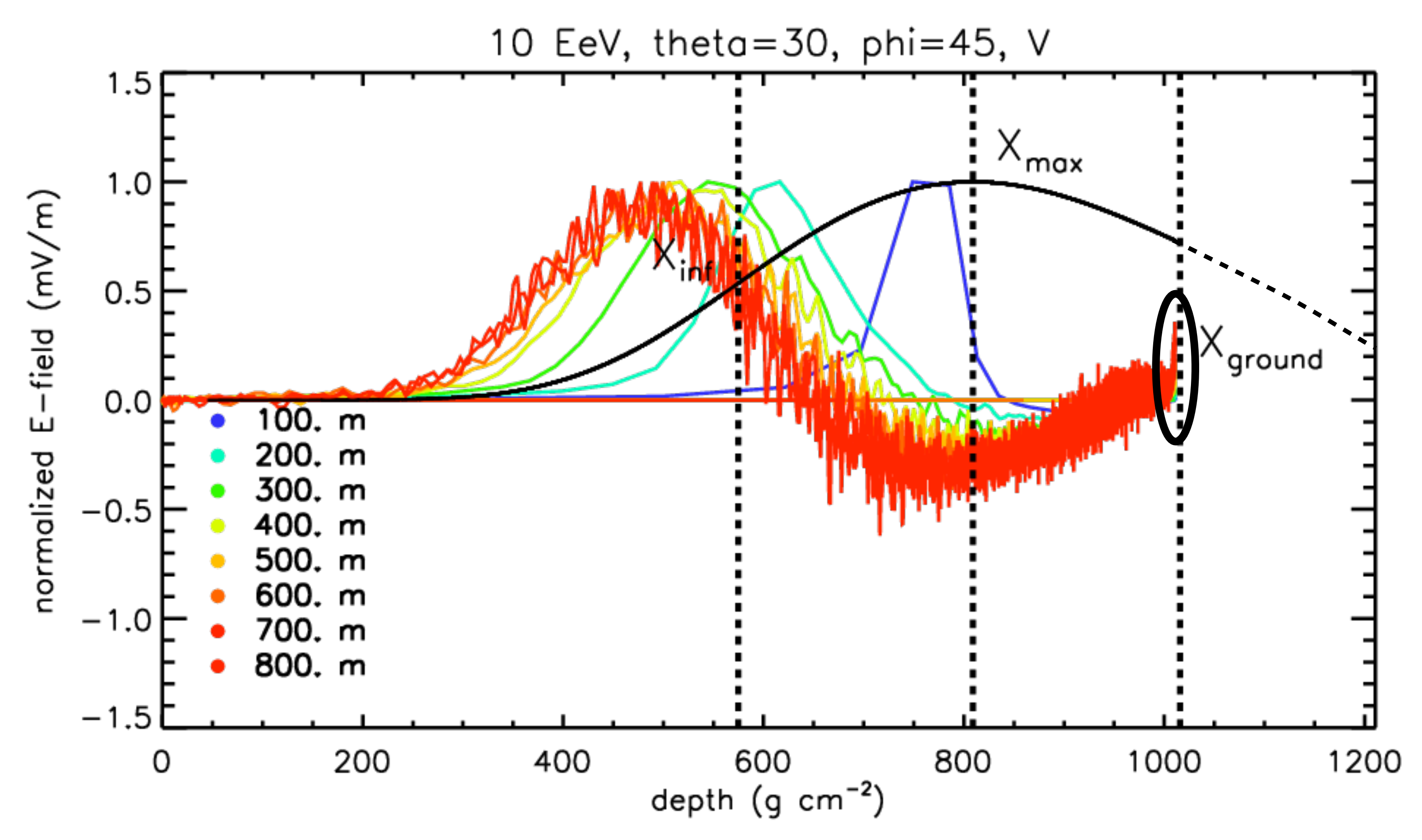






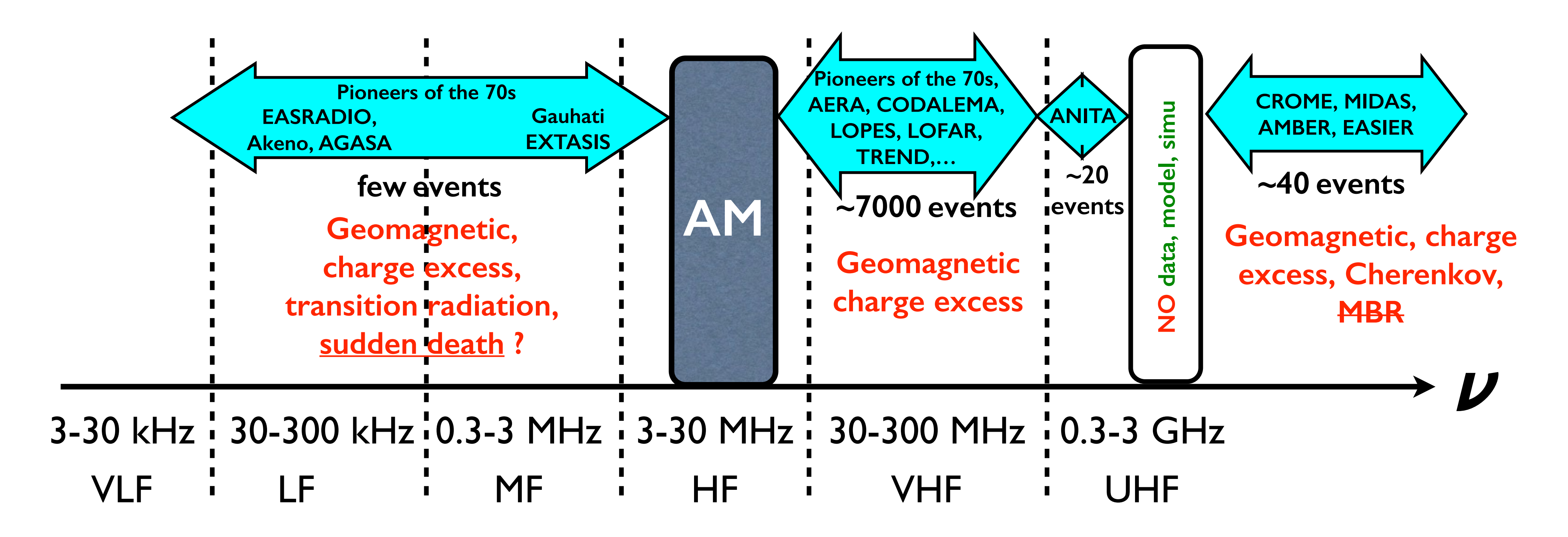


D'après la simulation, le maximum de champ électrique est produit bien avant X_{max} (proche de X_{inf})



D'après la simulation, le maximum de champ électrique est produit bien avant X_{max} (proche de X_{inf})

Bilan final



CODALEMA + Réseau d'antennes Nançay CODALEMA Radio-téléscope

Recherche du signal de mort subite : **EXTASIS**

EXTinction of Air Shower Induced Signal financé par la Région Pays de Loire, CNRS/IN2P3

Statut à Nançay

CODALEMA3:

- réseau de 13 scintillateurs
- réseau de 57 stations radio autonomes
- réseau compact de 10 stations LWA 150 m x 150 m

nançay (tour parasite, octobre 2014)



2eme antenne BF en juillet dernier

premier prototype antenne 3D à **Nançay** (octobre 2014)

